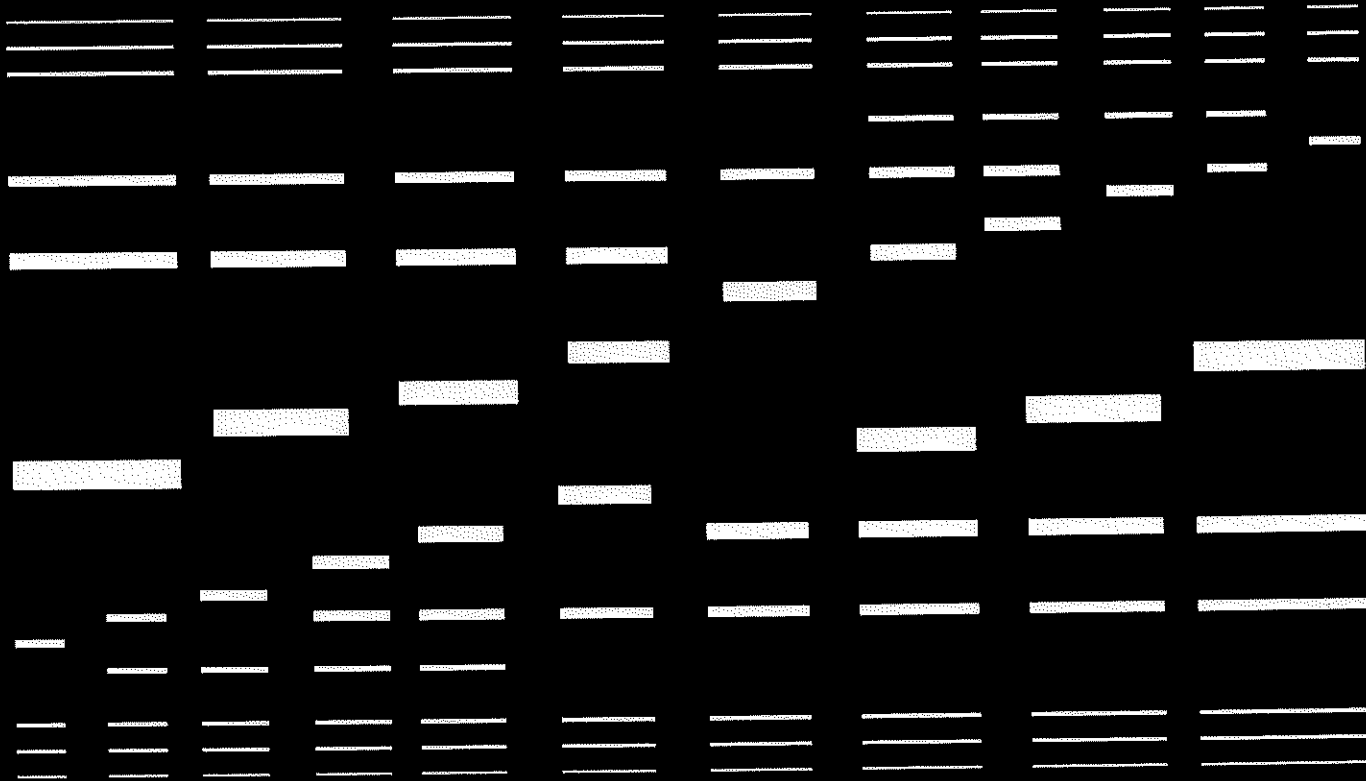


藍 光郎 監修
培風館

次世代 センサハンドブック

室英夫・大和田邦樹・佐取朗・石垣武夫・石森義雄 共編



NEXT GENERATION
SENSOR HANDBOOK

Mechanical Systems、微小電気機械システム)技術で進展しているアクチュエータも包含しており、各章・節の最後には「次世代センサ」の項目を必ず入れることによって、今後のセンサ・アクチュエータ技術の進展を予測したものとなっている。

センサ・アクチュエータ開発者および利用者に本書を積極的に利用して頂ければ、監修者にとって望外の幸せである。

最後に、本書の編集に労を取られた、室英夫編集委員長はじめ、大和田邦樹、佐藤明、石森義雄、石垣義雄、佐取朗、石垣武夫、(株)東芝など編集委員、さらに公務多端な中をご執筆いただいた執筆者の方々に厚くお礼申し上げる。また、本書の出版についてご協力いただいた培風館および編集に多大なお骨折りをいただいた松本和宣氏に心よりお礼申し上げる。

2008年6月

監修者 藍 光郎

監修者	藍 光郎	編集委員長	室 英夫	次世代センサ協議会会長
		編集委員	大和田邦樹	千葉工業大学
			佐取 朗	帝京大学
			石垣 義雄	立教大学
			石垣 武夫	エスティック
			石森 義雄	(株)東芝

主 査

I編 基礎	II編 応用
1章 室 英夫	1章 山崎 弘郎
2章 木股 雅章	2章 木下源一郎
3章 前中 一介	3章 橋本 周司
4章 川井 健司	4章 布野 俊彦
5章 柴崎 一郎	5章 河村 尚登
6章 一ノ瀬 升	6章 萩原 良一
7章 森泉 豊栄	7章 木岡 誠一
8章 本岡 中村健太郎	8章 中村健太郎
9章 田中 秀治	9章 田中 秀治
10章 江刺 正喜	10章 江刺 正喜
11章 腕山 努	11章 腕山 努
12章 脚注	12章 脚注

主 査

I編 基礎	II編 応用
1章 室 英夫	1章 山崎 弘郎
2章 木股 雅章	2章 木下源一郎
3章 前中 一介	3章 橋本 周司
4章 川井 健司	4章 布野 俊彦
5章 柴崎 一郎	5章 河村 尚登
6章 一ノ瀬 升	6章 萩原 良一
7章 森泉 豊栄	7章 木岡 誠一
8章 本岡 中村健太郎	8章 中村健太郎
9章 田中 秀治	9章 田中 秀治
10章 江刺 正喜	10章 江刺 正喜
11章 腕山 努	11章 腕山 努
12章 脚注	12章 脚注

主 査

I編 基礎	II編 応用
1章 室 英夫	1章 山崎 弘郎
2章 木股 雅章	2章 木下源一郎
3章 前中 一介	3章 橋本 周司
4章 川井 健司	4章 布野 俊彦
5章 柴崎 一郎	5章 河村 尚登
6章 一ノ瀬 升	6章 萩原 良一
7章 森泉 豊栄	7章 木岡 誠一
8章 本岡 中村健太郎	8章 中村健太郎
9章 田中 秀治	9章 田中 秀治
10章 江刺 正喜	10章 江刺 正喜
11章 腕山 努	11章 腕山 努
12章 脚注	12章 脚注

主 査

I編 基礎	II編 応用
1章 室 英夫	1章 山崎 弘郎
2章 木股 雅章	2章 木下源一郎
3章 前中 一介	3章 橋本 周司
4章 川井 健司	4章 布野 俊彦
5章 柴崎 一郎	5章 河村 尚登
6章 一ノ瀬 升	6章 萩原 良一
7章 森泉 豊栄	7章 木岡 誠一
8章 本岡 中村健太郎	8章 中村健太郎
9章 田中 秀治	9章 田中 秀治
10章 江刺 正喜	10章 江刺 正喜
11章 腕山 努	11章 腕山 努
12章 脚注	12章 脚注

主 査

I編 基礎	II編 応用
1章 室 英夫	1章 山崎 弘郎
2章 木股 雅章	2章 木下源一郎
3章 前中 一介	3章 橋本 周司
4章 川井 健司	4章 布野 俊彦
5章 柴崎 一郎	5章 河村 尚登
6章 一ノ瀬 升	6章 萩原 良一
7章 森泉 豊栄	7章 木岡 誠一
8章 本岡 中村健太郎	8章 中村健太郎
9章 田中 秀治	9章 田中 秀治
10章 江刺 正喜	10章 江刺 正喜
11章 腕山 努	11章 腕山 努
12章 脚注	12章 脚注

主 査

I編 基礎	II編 応用
1章 室 英夫	1章 山崎 弘郎
2章 木股 雅章	2章 木下源一郎
3章 前中 一介	3章 橋本 周司
4章 川井 健司	4章 布野 俊彦
5章 柴崎 一郎	5章 河村 尚登
6章 一ノ瀬 升	6章 萩原 良一
7章 森泉 豊栄	7章 木岡 誠一
8章 本岡 中村健太郎	8章 中村健太郎
9章 田中 秀治	9章 田中 秀治
10章 江刺 正喜	10章 江刺 正喜
11章 腕山 努	11章 腕山 努
12章 脚注	12章 脚注

主 査

I編 基礎	II編 応用
1章 室 英夫	1章 山崎 弘郎
2章 木股 雅章	2章 木下源一郎
3章 前中 一介	3章 橋本 周司
4章 川井 健司	4章 布野 俊彦
5章 柴崎 一郎	5章 河村 尚登
6章 一ノ瀬 升	6章 萩原 良一
7章 森泉 豊栄	7章 木岡 誠一
8章 本岡 中村健太郎	8章 中村健太郎
9章 田中 秀治	9章 田中 秀治
10章 江刺 正喜	10章 江刺 正喜
11章 腕山 努	11章 腕山 努
12章 脚注	12章 脚注

主 査

I編 基礎	II編 応用
1章 室 英夫	1章 山崎 弘郎
2章 木股 雅章	2章 木下源一郎
3章 前中 一介	3章 橋本 周司
4章 川井 健司	4章 布野 俊彦
5章 柴崎 一郎	5章 河村 尚登
6章 一ノ瀬 升	6章 萩原 良一
7章 森泉 豊栄	7章 木岡 誠一
8章 本岡 中村健太郎	8章 中村健太郎
9章 田中 秀治	9章 田中 秀治
10章 江刺 正喜	10章 江刺 正喜
11章 腕山 努	11章 腕山 努
12章 脚注	12章 脚注

主 査

I編 基礎	II編 応用
1章 室 英夫	1章 山崎 弘郎
2章 木股 雅章	2章 木下源一郎
3章 前中 一介	3章 橋本 周司
4章 川井 健司	4章 布野 俊彦
5章 柴崎 一郎	5章 河村 尚登
6章 一ノ瀬 升	6章 萩原 良一
7章 森泉 豊栄	7章 木岡 誠一
8章 本岡 中村健太郎	8章 中村健太郎
9章 田中 秀治	9章 田中 秀治
10章 江刺 正喜	10章 江刺 正喜
11章 腕山 努	11章 腕山 努
12章 脚注	12章 脚注

主 査

I編 基礎	II編 応用
1章 室 英夫	1章 山崎 弘郎
2章 木股 雅章	2章 木下源一郎
3章 前中 一介	3章 橋本 周司
4章 川井 健司	4章 布野 俊彦
5章 柴崎 一郎	5章 河村 尚登
6章 一ノ瀬 升	6章 萩原 良一
7章 森泉 豊栄	7章 木岡 誠一
8章 本岡 中村健太郎	8章 中村健太郎
9章 田中 秀治	9章 田中 秀治
10章 江刺 正喜	10章 江刺 正喜
11章 腕山 努	11章 腕山 努
12章 脚注	12章 脚注

主 査

I編 基礎	II編 応用
1章 室 英夫	1章 山崎 弘郎
2章 木股 雅章	2章 木下源一郎
3章 前中 一介	3章 橋本 周司
4章 川井 健司	4章 布野 俊彦
5章 柴崎 一郎	5章 河村 尚登
6章 一ノ瀬 升	6章 萩原 良一
7章 森泉 豊栄	7章 木岡 誠一
8章 本岡 中村健太郎	8章 中村健太郎
9章 田中 秀治	9章 田中 秀治
10章 江刺 正喜	10章 江刺 正喜
11章 腕山 努	11章 腕山 努
12章 脚注	12章 脚注

主 査

I編 基礎	II編 応用
1章 室 英夫	1章 山崎 弘郎
2章 木股 雅章	2章 木下源一郎
3章 前中 一介	3章 橋本 周司
4章 川井 健司	4章 布野 俊彦
5章 柴崎 一郎	5章 河村 尚登
6章 一ノ瀬 升	6章 萩原 良一
7章 森泉 豊栄	7章 木岡 誠一
8章 本岡 中村健太郎	8章 中村健太郎
9章 田中 秀治	9章 田中 秀治
10章 江刺 正喜	10章 江刺 正喜
11章 腕山 努	11章 腕山 努
12章 脚注	12章 脚注

主 査

I編 基礎	II編 応用
1章 室 英夫	1章 山崎 弘郎
2章 木股 雅章	2章 木下源一郎
3章 前中 一介	3章 橋本 周司
4章 川井 健司	4章 布野 俊彦
5章 柴崎 一郎	5章 河村 尚登
6章 一ノ瀬 升	6章 萩原 良一
7章 森泉 豊栄	7章 木岡 誠一
8章 本岡 中村健太郎	8章 中村健太郎
9章 田中 秀治	9章 田中 秀治
10章 江刺 正喜	10章 江刺 正喜
11章 腕山 努	11章 腕山 努
12章 脚注	12章 脚注

主 査

I編 基礎	II編 応用
1章 室 英夫	1章 山崎 弘郎
2章 木股 雅章	2章 木下源一郎
3章 前中 一介	3章 橋本 周司
4章 川井 健司	4章 布野 俊彦
5章 柴崎 一郎	5章 河村 尚登
6章 一ノ瀬 升	6章 萩原 良一
7章 森泉 豊栄	7章 木岡 誠一
8章 本岡 中村健太郎	8章 中村健太郎
9章 田中 秀治	9章 田中 秀治
10章 江刺 正喜	10章 江刺 正喜
11章 腕山 努	11章 腕山 努
12章 脚注	12章 脚注

主 査

I編 基礎	II編 応用
1章 室 英夫	1章 山崎 弘郎
2章 木股 雅章	2章 木下源一郎
3章 前中 一介	3章 橋本 周司
4章 川井 健司	4章 布野 俊彦
5章 柴崎 一郎	5章 河村 尚登
6章 一ノ瀬 升	6章 萩原 良一
7	

5

磁気センサ

のアプローチも行なわれている。流速あるいは体積流量に加え、温度、静圧を合わせて計測することで、質量流量とする方式である。

MEMS技術の利用は一般的かつ不可欠となってきた。本節でも触れている圧力センサにおけるダイヤフラム構造、振動型、サファイアの使用など、材料、構造の両面で開発が進んでいる。電子自身が大量に、安価に製作できるが、バックエンドで使用される場合に非常に厳しい環境で使用される場合には特に重要である。非常に厳しい環境で使用される場合には特に重要な要求があり、開発が盛んである。コリオリ流量計では口径 0.7 mm のものも、実用化されている。電磁流量計はコイルに電流を流すため、非常に消費電力が大きかったが、1990 年代に二線式が現れ、4 mA 以下の動作を可能としたが、最近では 2006 年の水道メータの規格の改定に伴い電池動作で 8~10 年を可能とするものもあるとされている。さらには消費電力が進むと考えられる。

MBMS 技術によるデータ伝送を行なうセンサが増えてきた。またユーザースペースもなかなかできている。無線による、設置自由度、メンテナンス性の向上が図られると同時に多くのセンサをネットワークで接続し、それらのデータから、点ではなく、面の情報を読み取ることによって新たな応用が広がるものと考えられる。

一方で、一つ一つのセンサの状態を把握することにより、故障診断などをを行い、資産管理をすることが、可能となる。今後とも、いわゆるアセットマネージメントは進むと考えられ、ここでのセンサには状態を診断する技術、ネットワーキング技術がさらに浸透していくと考えられる。

5.1 はじめに

磁気センサは今では、身の回りで使われる電子、電気機器などを含め、各方面できわめて多數使われている非接触センサである。本節では、そのなかで代表的なもの、最近開発されたものについて述べる。

5.2 ホール素子

5.2.1 ホール素子と応用の発展

ここでは、ホール効果に基づまるホール素子の原理や歴史的発展、応用の現状、現在使われるホール素子などについて述べる。

(1) ホール素子の応用

化合物半導体の薄膜技術をベースに開発されたホール素子は小型で、磁束密度を直接感度検出できる最も代表的な磁気センサである。最も重要かつ、大量に使われる用途は、磁界を利用してした物体の運動や速度、加速度、位置等を検出する非接触センサである。最近の電子機器は、きわめて小型の動力を利用するものが多いため、ビデオデータレコーダー(Video-tape recorder: VTR)では磁気テープの駆動に、パソコン(Personal computer: PC)では、メモリデバイス(フロッピーディスクや CD-ROM など)の駆動に小型の制御性のよい動力が必須である。ホール素子は磁気センサとしてこのような超小型の動力の実現のため多數使われている。代表的な応用は、小型の直流駆動(DC 駆動)アシレンモータの磁気センサ(磁界の検出素子)用途である。永久磁石回転子を備え、ホール素子で回転を検出する DC 駆動アシレンモータ

本章は、比較的最近開発され、使われており、電子機器に必須の磁気センサとして重要なもののや、あるいは、実用化的段階にきた磁束密度検出型の磁気センサを中心取り上げた。ハードディスク用途の GMR は、特化された用途で、それ自身で一分野をしてお

表 5.1 実用化されている主なホール素子

ホーリー素子と材料	ホール電圧 V_{H1}	駆動条件	特徴	主な機能デバイス応用
InSb ホール素子	200~300 mV/V \times 0.05 T	1 V	高感度、高出力	小型ホールモータ、HICの電気センサ、高精度電流センサー、非接触スイッチ
GaAs ホール素子	80 mV/V \times 0.05 T	6 V	温度依存性小	小型ホールモータ、電流センサ、非接触スイッチ
InAs ホール素子	100 mV/V \times 0.05 T	6 V	温度依存性小	電流センサー、HICの電気センサ、バイス
InAsDQW ホール素子	250 mV/V \times 0.05 T	6 V	温度依存性小、高感度	電荷挿入出、携帯電話用各種デバイス

は、ホールモータとも呼ばれ、精密な回転制御が可能で、電磁ノイズが少なく、音も静かで、さらに、小型化が可能であり、電子機器に良質の動力と供給する動力源として多く用いられている。特に、VTR のキャプstanモータやパソコンのフロッピーディスクやコンパクトディスク(CD-ROM)等の駆動用のスピンドルモータとして多数使われている。現在、ホールモータはモータ産業の新規の一分野を形成しており、多くの種類が開発され、電子機器の発展を支えている。いまやホール素子を磁気センサに使ったホールモータなくしては、VTR もパソコンも動作しないのが現状である。このような、ホール素子であるが、歴史を鑑みると若干述べると、電子部品的な感覚で大量生産され、多数使われている InSbなどの高移動度の化合物半導体膜を利用するホール素子は比較的最近開発されたものである。

セシサ部を構成する半導体の導電化が研究された。

一方、ホール素子の定電圧駆動では、ホール電圧 V_H は磁気センサ部の半導体の電子移動度に比例する。このため、磁気センサ部には電子移動度の大きい材料が重要である。

定電圧駆動では、大きな駆動電圧は消費電力の増加や電子の過電流破壊など問題を生じるが、磁気センサ部を薄膜化することにより、素子の入力抵抗値を大きくし、適切な電圧で駆動できる消費電力の少ない高感度、高出力の実用的なホール素子の製作が可能である。また、定電流駆動では、センサ部の薄膜化で大きなホール電圧が得られる。このような薄膜化による大きなメリットのため、ホール素子には、電子移動度が大きい InSb, InAs, GaAs 等の化合物半導体薄膜や専層が使われる。このため、ホール素子の技術では、薄膜化が重要な技術的ポイントである。

(3) ホール素子の開発の歴史と応用の拡大

向の長さ, W は葉子の幅, d は半導体の膜厚である。ホール効果の駆動法で代表的な定電圧駆動 (constant voltage driving) と定電流駆動 (constant current driving) に対応したホール電圧 V_H の表現を次に示す。駆動電圧 V_{DD} 一定の定電圧駆動では、ホール出力電圧 V_H は、ホール効果を生じる材料の電子移動度 μ_n に比例し、次式で表される。¹⁷⁾

小一郎桑子は、小型で、磁界に比例したセンサ出力が得られ、汎用性が高い。スイッチ、電流検出など非接触の磁束密度検出型センサとして汎用性もあり、今なおその用途は広がっている。

$$V_L = R_m \cdot \frac{I_c \cdot B}{(2)}$$

し、ホール素子実用化による、ホールモータ開発と応用の進展、拡張が理解される。

5.2.2 核子材料とその特性[御]

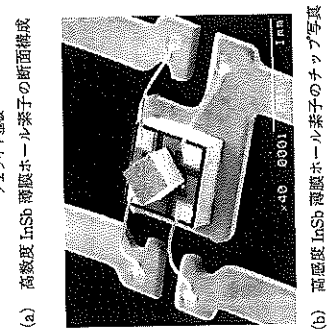
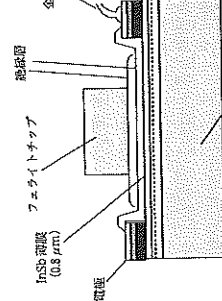
ここでは、現在実用化されているホール素子材料の現状をまとめた。また、ホール素子材料の温度依存性の低減技術に関して基本的な事柄を述べる。

(1) ホール素子材料とその特性
ホール素子の製作には、電子移動度の高い導體材料が必要である。初めてに、代表的なホール素子に使われ

表 5.2 薄膜ホール素子の実用化の歴史

西脇	化合物半導体液体磁気センサ(ホール素子)の歴史
1879	1879年E.H.Hallは磁場が電流に力を及ぼすことを発見
1947	1947年G.A.Personはゲルマニウムの Hall 效果で磁界を測定する装置を作った
1952	1952年W.W.GiinterはInSb の大きな電子移動度を発見して InSb の研究を始める
1953	1958年 G. Güntherは三族とV族の大気中の電気量的組成の検査を制作する。3温度測定を参考。
1958?	日本では当時実験室の片岡照氏がホール素子を研究
1960	1960年英工大の酒井達義、大下正秀による InSb 海底ホール素子の蒸着法による論文。 ^[10]
1960	電気試験所、片岡照氏による磁気炉熱型高感度 InSb マルチポート真空蒸着法による磁気炉熱型高感度 InSb 海底ホール素子の製作(未発表)
1965	1965年酒井達義と片岡照氏による論文。 ^[11]
1975	1975年酒井達義と片岡照氏による磁気センサに使う VTR 高感度 InSb 蒸着ホール素子を磁気センサに使う VTR 用小型誘導懸衡のホールモータ実用化
1980	InAs ドーナー不純物のドーピングにより温度依存性の制御機能 ^[14]
1980	1980年 InSb 海底への金線の低溫接続と磁脂封止による InSb 蒸着ホール素子の実用化、家庭用 VTR の本格的普及とホール素子が商品化
1983	Si のイオン注入型 GaAs ホール素子が商品化
1983	1983年生長型 MBE による磁気増幅器
1984	2インチ基板7枚セットの実用化(未発表)
1984	型膜成長法による素子の実用化(未発表)
1986	高感度 InSb 蒸着ホール素子の1年間の生産が100個を超える。需要が更に拡大
1987	InAs 单結晶膜成長法を2インチ基板12枚に同時に成長、量産用新規 MBE 装置の開発(未発表)
1991	MBE 法により Si をドーピした InAs 単結晶薄膜がホール素子の実用化 ^[15]
1991	InAsDQW ホール素子の発明 ^[16]
1993	InAsDQW ホール素子の論文 ^{[17][18]}
—	VTR に加え、パソコンの普及によりホールモータ用ホルホール素子が大きな伸びをする
2000?	InSb の温度依存性を一括低減する Si 及び InSb ドープ技術の発明と論文 ^{[19][20]}
2002	InAsDQW(新規料、新技術)ホール素子の実用化
2002	高感度 InSb 蒸着ホール素子の年間生産量が15億個超となる
2003	2003年までの年間生産量130 億個を達成(高感度 InSb 海底ホール素子:未発表)
2006	格子ミスマッチ0.5%の InSb/AlInSb 量子構造の電子輸送特性の論文 ^[21]
2007	格子ミスマッチ AlInSb/InSb 僅子構造の電子輸送特性の論文 ^[22]

し、ホール素子実用化による、ホールモータ開発と応用の進展、拡がりが理解される。



(a) 高感度 InSb 薄膜ホール素子の特徴
（b）磁気増幅構造

ある。
(b) 磁気増幅構造
ソフトエフェライトの基板とソフトアエライトの微小チップの間にホール素子の磁気センサ部のInSb薄膜をサンドイッチする物理的な構造(磁気增幅構造)である。図5.3(a)にこの構造の断面構成を示した。この構造により、検出しようとする磁界の大きさに比例してエフェライトが磁化することを利用し、InSb薄膜に加わる磁束密度を3~6倍程度大きくすることにより、ホール素子の材料であるInSbの薄膜の特性から得られるオリジナルの磁界検出感度の3~6倍の高感度の達成という、それまで開発されたホール素子とはまったく違った実用的な高感度を実現した。

(c) 製作工程
高感度 InSb 薄膜ホール素子の製作工程は、マルチポート蒸着法による加熱したマイカ基板上にInSb薄膜を製作する工程、マイカ基板上に接着のInSb薄膜を剥離しフェライト基板に接着する工程、こうして製作したInSb 薄膜をエッジソフトラグフライテクノロジー技術を応用し、InSb 薄膜を高解像度エッジチップ化する工程、低温度で三層の素子電極を形成する鍍金工程、フェライトチップをホール素子パッケージに接着する工程、ホール電圧と電流を測定する工程、ホール素子部に接続するダイシング工程、ウエーハを個別のホール素子チップに切り替える工程、ウエーハを個別に高感度ホール素子チップ(図5.3参照)を製作する。個別のホール素子に切り離された後は、ダイボンディング、ワイヤーボンディングの工程を経て、最後はトランスマーモルドプロセスによりエポキシ樹脂のパッケージが行われ1個のホール素子として完成する。

(d) 磁気センサとしての特徴
① この高感度InSb 薄膜ホール素子は、電子移動度が大きいマイカ上に蒸着法で製作した。シート抵抗も大きいが、InSb 薄膜を感磁部に採用し、かつ、磁気増幅構造を採用することで、これまでの常識を破る高感度、低消費電力を実現した。

② この高感度InSb 薄膜ホール素子の入力抵抗値(100Ω)は、定電圧駆動では、室温周辺から外れた100°C以上や-20°C以下で素子を使う場合は大きな駆動電流増加の対策等の必要性を示している。

- 以上述べたような高感度InSb薄膜ホール素子の特徴をまとめると、
① 強固な封脂パッケージのホール素子で超小型磁気センサ
② 磁気增幅構造採用により、磁界検出感度がInSb薄膜の採用によりホール素子の入力抵抗値で抵抗値は減少する。室温周辺から外れた100°C以上や-20°C以下で素子を使う場合は大きな駆動電流増加の対策等の必要性を示している。

表 5.4 高感度 InSb ホール素子の代表的な特性
(HW-300A, Asahi-kasei Electronics)

項目	記号	特性	条件
ホール電圧	V_H	168~320 mV	$B=50 \text{ mT}$, $V_{in}=0 \text{ V}$
入力抵抗	R_{in}	240~550 Ω	$B=0 \text{ mT}$, $I_s=0.1 \text{ mA}$
出力抵抗	R_{out}	240~550 Ω	$B=0 \text{ mT}$, $I_s=0.1 \text{ mA}$
不平均電圧	V_u	$\leq \pm 7 \text{ mV}$	$B=0 \text{ mT}$, $V_{in}=1 \text{ V}$
ホール電圧	V_H	$\pm 0.1 \sim 0.2 \text{ %}/\text{C}$	$B=50 \text{ mT}$, $V_{in}=1 \text{ V}$
抵抗温度係数		-1.8%/°C	$B=0 \text{ mT}$, $I_s=0.1 \text{ mA}$

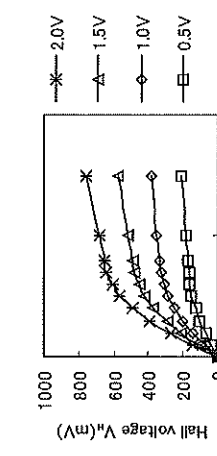
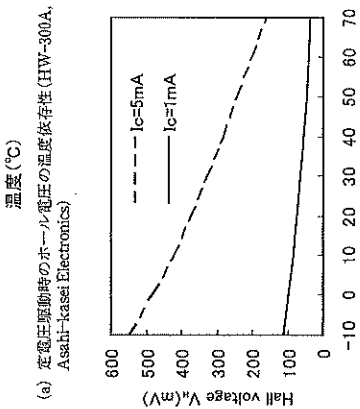
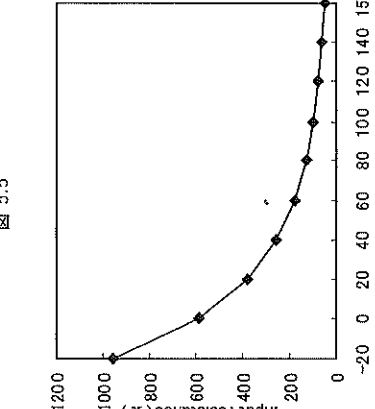


図 5.4 定電圧駆動時のホール電圧と磁界密度の関係
(HW-300 A, Asahi-kasei Electronics)



(a) 定電圧駆動時のホール電圧の温度依存性(HW-300A, Asahi-kasei Electronics)

図 5.5



(b) 定電圧駆動時のホール電圧の温度依存性(HW-300A, Asahi-kasei Electronics)

図 5.5

V_H の関係を示した。フェライトの飽和により高磁界では磁界密度(magneticflux density)に比例しなくなる本素子特有の特性を有する。図5.5(a)には、定電圧駆動時のホール電圧の室温周辺での温度依存性を示した。InSb薄膜の電子移動度の温度依存性を反映し室温周辺で温度変化がきわめて少ない。また、図5.5(b)には、従来のホール素子駆動法である定電流駆動時のホール電圧の温度依存性を示した。-2%/"Cで温度の上昇とともにホール電圧は減少する。このようにホール電圧は、定電圧駆動では温度依存性が大きいが定電圧駆動ではきわめて小さい。

また、図5.6は高感度InSbホール素子の入力抵抗値(input resistance)の温度依存性である。-2%/"Cで抵抗値は減少する。室温周辺から外れた100°C以上や-20°C以下で素子を使う場合は大きな駆動電流増加の対策等の必要性を示している。

以上述べたような高感度InSb薄膜ホール素子の特徴をまとめる、
① 強固な封脂パッケージのホール素子で超小型磁気センサ
② 磁気增幅構造採用により、磁界検出感度がInSb薄膜の採用によりホール素子の入力抵抗値で抵抗値は減少する。室温周辺から外れた100°C以上や-20°C以下で素子を使う場合は大きな駆動電流増加の対策等の必要性を示している。

④ 定電圧駆動が可能で、ホール電圧の室温周辺での温度依存性が従来の定電流駆動と比較して1/10~1/20に低減されたホール素子(Asahi-kasei Electronics)

より実現)

表5.5には、高感度InSbホール素子の特徴と対応する応用上のメリットをあげた。

このホール素子は、高感度の磁界検出性能、温度依

が示されている。²⁸⁾ 高感度 InSb 薄膜ホール素子の特徴は、次のようにで

ある。
① ホール素子部(磁気センサ部)には、薄いマイカ基板上に、真空蒸着法で製作した、厚さ0.8 μm、電子移動度20,000~30,000 cm²/V·sec のInSb多結晶薄膜を用いたホール素子。

② 高感度化のため磁気センサ部に加わる磁界を3~6倍増幅するためにフェライト基盤とチップでInSb 薄膜を上下からはさみ込む。また、図5.3(a)には、新規な磁気增幅構造を有する高感度InSb 薄膜ホール素子の断面構造、図5.3(b)には、パッケージされる前の高感度InSb 薄膜ホール素子の写真を示した。

この高感度 InSb 薄膜ホール素子の特徴的な点をあげる。
(a) マルチポート蒸着法
InSb 多結晶薄膜を製作する技術は、マルチポート真空蒸着法と呼ばれ、InSb 薄膜用に独自に開発された方法である。

専用に開発した装置用真空蒸着装置により、真空中で複数の蒸着橋から順次 InSb を蒸着させ、加熱したマイカ基板上に InSb 薄膜を堆積形成し、化学量論的な組成をきわめて単純に制御し、厚さ 0.8 μm で、電子移動度が20,000~30,000 cm²/V·s、シート抵抗値が 170 Ω 程度の InSb 薄膜を工業的に量産する技術で

あれば、室温周辺ではホール電圧の温度依存性がホール電圧と磁界密度を有する感度が高くなる。すなわち、電子移動度の温度依存性がホール電圧の温度依存性を決める定電圧駆動ができる InSb ホール素子である。

表5.4には、このような高感度 InSb ホール素子の代表的な特性を示した。次に、図5.4には、磁気増幅構造を有する感度がホール素子に特有の高感度で急峻な勾配(高感度 InSb ホール素子部 InSb の感度化により入力抵抗ホール素子度)を有する磁束密度 B とホール電圧(Hall voltage)



表 5.5 高感度 InSb 単結晶ホール素子の特徴と応用上のメリット	
特徴	応用上のメリットなど
高感度 ホール電圧の温度依存性が小さい 低消費電力駆動が可能	弱磁場の高感度検出、リード線界など どの検出が可能 室温附近では温度の影響が少なく、使いやすい
小型のプラスチック パッケージ	高感度性、小型モーター等や小型ハイブリッド電子機器への応用などが可能
存性が小さく、低消費電力など実用上のメリットがきわめて大きい。	この高感度 InSb 単結晶ホール素子は、薄膜ゆえに素子抵抗値が室温で 300 Ω 以上あり、高感度の磁界検出性能、温度依存性が小さい、さらには、低消費電力、室温附近でのホール電圧の温度依存性がきわめて小さい等に加えて、小型で強度な封締パッケージ、面実装パッケージ、ハンダリフロープロセス対応の耐熱性、信頼性など大量に使用する上での高い信頼性、電子機器の一般的な要請である、軽い、薄い、小型電子機器に対する上位用上大きなメリットがある。特に、VTR やパソコン等で必須の永久磁石回転子を使う小型、精密パソコン等で必要となるホールモータ、すなわち、ホールモータの DC フラッシュモード、すなわち、ホールモータの磁気センサとして多数使われてきた。最近では、家庭電気製品に使われる小型のホールモータのセンサとしても用途を伸ばしている。

が拡大している。今後大きな折りが我が期待されるホール素子の応用分野である。また、非接触で迅速から高速まで、回転速度や角速度を検出し、速度によらないセンサ信号が得られる高精度度の回転センサもホール素子を使える可能性である。鉄道や自動車用金も磁束密度の直接検出型の磁気センサであるホール素子の有効応用分野である。

ところで、InSb ホール素子の最大の課題は、0.17 eV という InSb の狭いバンドギャップによって決まる素子抵抗の -2% / °C という大きな温度依存性により駆動できる温度範囲が室温附近に限られることである。VTR やパソコン等で使われるホールモータではこれらの機器が室温附近での駆動を前提としており、すなわち、低温や 100°C 以上の高温度でホール素子を使う応用、例えば、自動車用非接触センサ等のように広い温度域や医療等で使われる場合は、このよう大きな素子抵抗の温度変化は問題となる。

ホール素子の将来の用途として期待される自動車用ホール素子では -40 ~ +150°C の範囲で安定して動作することが期待されるが、VTR やパソコン等の温度範囲と比べて実質 2 倍の約 200°C に動作温度範囲は拡大する。将来、省電力などの応用が期待されている大電力を非接触計測する電流センサや大型産業機械等への応用は、屋外や工場の高温環境などの可能性があり、広い温度環境で優れた安定性がホール素子に期待されている。

(2) InAs 薄膜ホール素子、InAsDQW ホール素子ははじめに、なぜ InAs ホール素子が必要とされるかについて述べる。先に述べた InSb ホール素子は多結晶の真空蒸着膜を磁気センサとして実用化された。その後、その他の応用範囲の広い高感度 InSb ホール素子である。素晴らしい特性があるが、将来の応用を考えると改善すべき課題もあった。

InAs は InSb に比べて電子移動度が小さいが、InSb よりバンドギャップが大きいので抵抗の温度依存性が少なく、また、InAs 単結晶薄膜を製作し、磁気センサ部に使うことができればホール素子の感度向上が可能であり、温度依存性が少ないホール素子の製作が可能であり、駆動できる温度範囲も広がる等のメリットも出てくる。InAs は、InSb に次ぐ高い電子移動度を有し、バンドギャップは 0.36 eV (300 K) で InSb のおよそ 2 倍である。格子定数は 6.0 Å、室温でのバルクアンドープの単結晶の電子移動度は 33,000 cm²/V·s、 $d(\Delta E_g)/dT = 0.35 \times 10^{-4} \text{ eV/K}$ である。室温附近ではエネルギーギャップの温度依存性はきわめて少ない。高感度でしかも低温から高温まで安定して働くホール素子製作が期待できる素子材料である。

このようないうな電流センサはホール素子よりも特徴的な応用一つである。ホール素子が必要とされる理由である。しかし、このような InAs ホール素子の実現には、新たな高い電子移動度を得る InAs の薄膜技術エネルギー制御は、エアコンなどの家電製品等に応用

が必要である。

真空蒸着法に次いで開発された分子線エピタキシ法 (MBE 法ともいいう) は、原子を一層ずつ積層することで単結晶の薄膜や超薄膜、量子井戸等を成長できる技術である。この方法を使うと厚さが薄くても電子移動度が大きい InAs 単結晶薄膜が成長できる。さらに、特性の優れた単結晶薄膜が大面積で製作できる。

また、この技術では、InAs の結晶成長中に再現性よく、安定してドナーパンチホール素子チップ (InAs の厚さ 0.5 μm、チップサイズは 0.36 mm² 角)

表 5.6 Si ドープ InAs 単結晶薄膜のホール素子特性					
項目	耐圧	漏電	特性	条件	
ホール電圧	V _A = 100 mV	R _{in} = 320 Ω	B = 50 mT, V _A = 6 V	B = 0 mT, I _s = 0.1 mA	
入力抵抗	R _{in} = 320 Ω	R _{out} = 320 Ω	B = 0 mT, I _s = 0.1 mA	B = 0 mT, V _A = ±8 mV	
出力抵抗	R _{out} = 320 Ω	V _A = ±8 mV	B = 50 mT, V _A = 6 V	B = 0 mT, V _A = -0.08~0.2 % / °C	
不平滑電圧	V _A	-	B = 50 mT, I _s = 0.1 mA	抵抗温度係数	
ホール電圧のホール電圧	-	-	B = 0 mT, V _A = 6 V	抵抗温度係数	
抵抗温度係数	+0.2 % / °C	-	B = 0 mT, I _s = 0.1 mA	.	

度でのホール出力電圧) が量産素子で得られている。

③ ホール出力電圧の温度依存性は -0.18% / °C, わけで小さい。適当な駆動条件を選ぶこと -40 ~ 150°C の広い温度範囲で駆動できる。

④ ノイズやオフセット電圧のドリフトが少ない (電流検出などの応用では特に重要な特性)。

このように Si ドープ InAs 単結晶薄膜のホール素子は、図 5.8 に示したように、ホール電圧と磁束密度の比例関係にも優れている。さらに、図 5.9(a) および、図 5.9(b) に示したように、ホール電圧の温度依存性も少なく、低温から高温度まで安定して動作する。

(a) Si ドープ InAs 単結晶薄膜ホール素子

実用的なホール素子を製作するには量産規模での InAs 薄膜を製作する必要がある。そのため、大面積の InAs 薄膜が成長できる MBE システムが開発されている。この MBE 装置は 1 枚の基板ホルダーに 2 伊シチ GaAs 基板 12 枚が同時にセットでき、InAs の薄膜が 12 枚同時に成長できる量産用の MBE 装置である。^{12,13,14,15)}

ホール素子の動作層を製作するため半絶縁性の GaAs 基板の (100) 面より 200 nm した表面に、Si をドーピングした、膜厚 0.5 μm の InAs 単結晶薄膜 (GaAs 基板とは 7% というかなり大きな格子のミスマッチがあるが敢えて無視している) を MBE 法により成長する。この単結晶 InAs 薄膜は Si や Sn 等のドナー不純物をドーピングすると、電子濃度の温度係数と電子移動度の温度係数が同時に小さくなる。また、シート抵抗値 (抵抗率) の温度依存性も少なくなる。Si を適当量ドープした InAs 単結晶薄膜は、室温での電子移動度はアンドープに比較して大きく、10,000 cm²/V·s を超える。

この大面積 MBE 装置により、GaAs 基板上に成長した厚さ 0.5 μm、Si ドープ InAs 薄膜の標準的な特性は電子濃度 $8 \times 10^{15} \text{ cm}^{-3}$ 、電子移動度は 10,000 ~ 11,000 cm²/V·s である。この薄膜を用い、感磁部が十字の対称ペーンで、入力抵抗、出力抵抗を 320 Ω、チップサイズは 0.36 mm² 角で設計し、本素子特有のウエーブロセスにより素子化し、量産ラインでバッケージし InAs ホール素子を製作した。図 5.7 の写真は Si ドープ InAs ホール素子チップである。

Si ドープ InAs ホール素子の境界での特性は、表 5.6 に示した。この素子は、下記のような特徴がある。

① 磁界での出力の直線性に優れる。

② 磁界での感度も市販の GaAs ホール素子よりも 50% 程度高く、ホール素子の感度は 100 mV / 6 V ~ 0.05 T (6 V 駆動、0.05 T の磁束密

度) のホール出力電圧) が量産素子で得られている。

(2) InAs 薄膜ホール素子、InAsDQW ホール素子ははじめに、なぜ InAs ホール素子が必要とされるかについて述べる。先に述べた InSb ホール素子は多結晶の真空蒸着膜を磁気センサとして実用化された。その後、その他の応用範囲の広い高感度 InSb ホール素子である。素晴らしい特性があるが、将来の応用を考えると改善すべき課題もあった。

これまではあまり注目を絞らなかったが、厳しい環境で精密な動作を要請されるペーパーモータの回転制御用センサや、各種の非接触位置センサ等が、ホール素子の重要な応用分野となりつつある。さらに、ホール素子を使えば、非接触で直角、交流、過渡電流等の計算が可能な高感度度検出型の電流センサが製作できる。このような電流センサはホール素子の最も特徴的な応用一つである。ホール素子が必要とされる理由である。しかし、このような InAs ホール素子の実現には、新たな高い電子移動度を得る InAs の薄膜技術エネルギー制御は、エアコンなどの家電製品等に応用

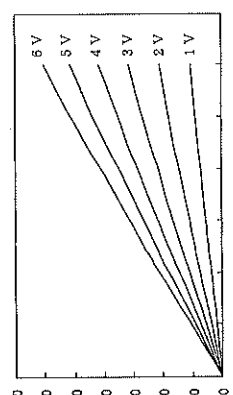


図 5.7 定电压驱动における Si ドープ InAs 单结晶薄膜のホール素子チップ (InAs の厚さ 0.5 μm, チップサイズは 0.36 mm² 角)

表示駆動電圧)

度でのホール出力電圧) が量産素子で得られている。

③ ホール出力電圧の温度依存性は -0.18% / °C, わけで小さい。適当な駆動条件を選ぶこと -40 ~ 150°C の広い温度範囲で駆動できる。

④ ノイズやオフセット電圧のドリフトが少ない (電流検出などの応用では特に重要な特性)。

このように Si ドープ InAs 単結晶薄膜のホール素子は、図 5.8 に示したように、ホール電圧と磁束密度の比

例関係にも優れている。さらに、図 5.9(a) および、図 5.9(b) に示したように、ホール電圧の温度依存性も少なく、低温から高温度まで安定して動作する。

この大面積 MBE 装置により、GaAs 基板上に成長した厚さ 0.5 μm、Si ドープ InAs 薄膜の標準的な特性は電子濃度 $8 \times 10^{15} \text{ cm}^{-3}$ 、電子移動度は 10,000 ~ 11,000 cm²/V·s である。この薄膜を用い、感磁部が十字の対称ペーンで、入力抵抗、出力抵抗を 320 Ω、チップサイズは 0.36 mm² 角で設計し、本素子特有のウエーブロセスにより素子化し、量産ラインでバッケージし InAs ホール素子を製作した。図 5.7 の写真は Si ドープ InAs ホール素子チップである。

Si ドープ InAs ホール素子の境界での特性は、表 5.6 に示した。この素子は、下記のような特徴がある。

① 磁界での出力の直線性に優れる。

② 磁界での感度も市販の GaAs ホール素子よりも 50% 程度高く、ホール素子の感度は 100 mV / 6 V ~ 0.05 T (6 V 駆動、0.05 T の磁束密

度) のホール出力電圧) が量産素子で得られている。

③ ホール出力電圧の温度依存性は -0.18% / °C, わけで小さい。適当な駆動条件を選ぶこと -40 ~ 150°C の広い温度範囲で駆動できる。

④ ノイズやオフセット電圧のドリフトが少ない (電流検出などの応用では特に重要な特性)。

このように Si ドープ InAs 単結晶薄膜のホール素子は、図 5.8 に示したように、ホール電圧と磁束密度の比

例関係にも優れている。さらに、図 5.9(a) および、図 5.9(b) に示したように、ホール電圧の温度依存性も少なく、低温から高温度まで安定して動作する。

この大面積 MBE 装置により、GaAs 基板上に成長した厚さ 0.5 μm、Si ドープ InAs 薄膜の標準的な特性は電子濃度 $8 \times 10^{15} \text{ cm}^{-3}$ 、電子移動度は 10,000 ~ 11,000 cm²/V·s である。この薄膜を用い、感磁部が十字の対称ペーンで、入力抵抗、出力抵抗を 320 Ω、チップサイズは 0.36 mm² 角で設計し、本素子特有のウエーブロセスにより素子化し、量産ラインでバッケージし InAs ホール素子を製作した。図 5.7 の写真は Si ドープ InAs ホール素子チップである。

Si ドープ InAs ホール素子の境界での特性は、表 5.6 に示した。この素子は、下記のような特徴がある。

① 磁界での出力の直線性に優れる。

② 磁界での感度も市販の GaAs ホール素子よりも 50% 程度高く、ホール素子の感度は 100 mV / 6 V ~ 0.05 T (6 V 駆動、0.05 T の磁束密

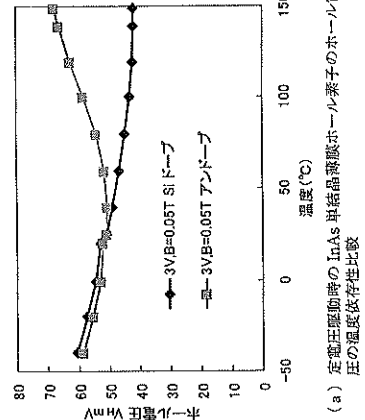


図 5.10 InAs 単結晶薄膜ホール素子の入力抵抗値の温度依存性

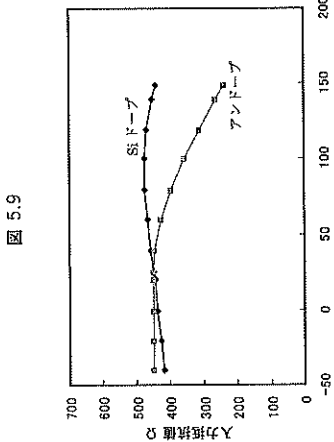


図 5.11 InAs DQW ホール素子の断面構造

一ル電圧の比例性がよく、安定、高精度で、直流も含む過渡的な電流を精度よく測定できる。このため、非接触の電流センサとしても実際には使われている。また、低温から高温まで動作する素子の特徴は、将来の自動車用の磁気センサとしても有力である。

(b) InAs DQW ホール素子

InAs ホール素子の磁気検出感度の向上を狙った InAs の量子井戸構造のホール素子である InAs DQW (deep quantum well) ホール素子が開発されている⁶⁷⁾。温度依存性を少なく、かつ、磁界で高感度もしくは大きな出力が得られる InAs ホール素子の製作には、高い電子移動度と高い電子濃度、さらに、高いシート抵抗値の InAs 薄膜をきわめて薄くする必要がある。このような InAs 薄膜では InAs 薄膜必らずして InAs と格子定数の一一致した(格子整合のよい)絶縁層が有効である。このため、InAs と格子整合する 4 元系の絶縁層である Ga_xAl_{1-x}As_ySi_{1-y} 層で InAs の動作層を上下からサンドイッチした構造、すなわち、InAs を動作層とする深い量子井戸構造(Deep quantum well; DQW)を GaAs(100) 基板上に MBE 法により製作した。ホール効果を生ずる InAs 動作層の厚さは 150 Å で、室温の電子移動度は 20,000~32,000 cm²/V sec の値が得られた。この値は、これまで InAs 薄膜で得られた電子移動度としては最も高い値である。

図 5.11には、試作したこの量子井戸構造の InAs を動作層とした高感度 InAs ホール素子(InAsDQW ホール素子)の断面構造の例を示した。この InAsDQW ホール素子は、ホール出力電圧が Si ドープ InAs ホール素子の 2.6 倍の 260 mV/6 V · 0.05 T の高感度、高出力が得られた。このホール電圧は磁気増幅構造の InSb ホール素子の感度に匹敵する。ホール電圧と検出磁界との比例性にも優れ、ホール電圧の温度依存性もきわめて少ない。

この InAs DQW ホール素子の高い磁気センサとしての可能性を示すために、図 5.12 には、ホール電圧とその温度依存性を他のホール素子と比較して示した。図から InAs DQW ホール素子は、

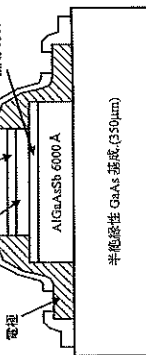


図 5.11 InAs DQW ホール素子の断面構造

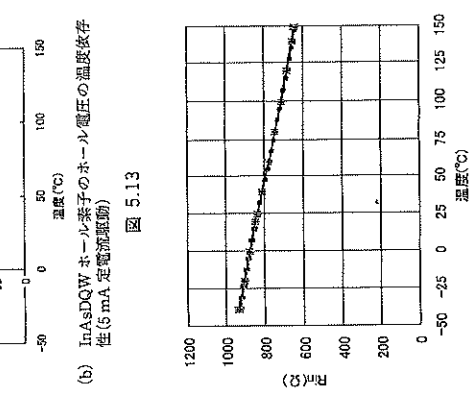
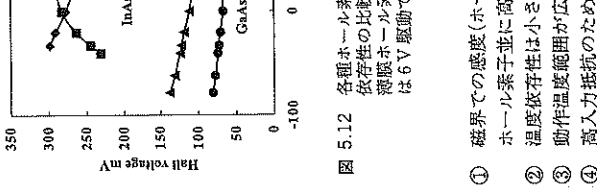


図 5.12 各種ホール素子のホール電圧とその温度依存性
 (a) InAsDQW ホール素子のホール電圧の温度依存性(3V 定電圧駆動)
 (b) InAsQW ホール素子のホール電圧の温度依存性(5mA 定電流駆動)

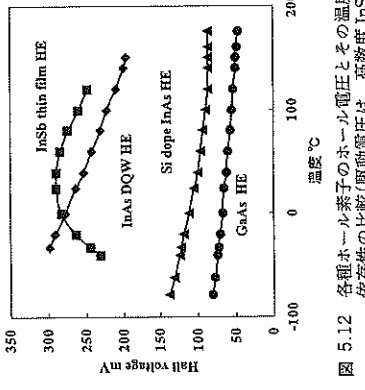


図 5.14 InAsDQW ホール素子の入力抵抗値の温度依存性

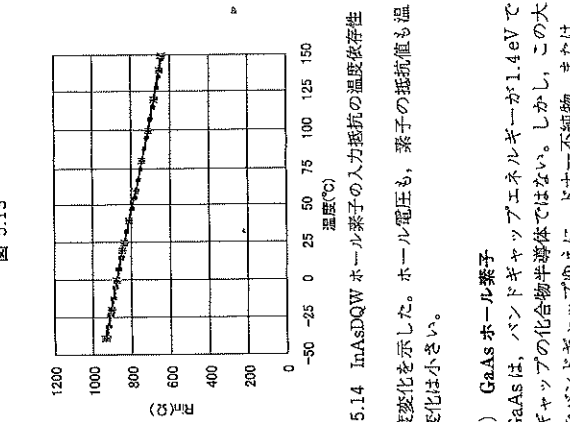


図 5.15 InAsDQW ホール素子の入力抵抗値の温度依存性
 (a) InAsDQW ホール素子の入力抵抗値の温度依存性
 (b) InAsDQW ホール素子の入力抵抗値の温度依存性

① 磁界での感度(ホール電圧)が高感度 InSb 薄膜ホール素子並に高い。
 ② 温度依存性は小さい。
 ③ 動作温度範囲が広い。
 ④ 高入力抵抗のため素子の消費電力がきわめて少ない。

という特徴を有する。このホール素子は、今後の課題ともあるが、新たなより広範な応用の非接触、無接点センサのニーズに対応できる次世代磁気センサとして期待できる^{17), 33), 34), 35)}。この InAs DQW ホール素子は、ルームエアコンなどに使われる小型の電流検出器の磁気センサや消費電力が少なく感度が要求される携帯電話で、小型の磁石と 4 個のホール素子を組み合わせ画面の矢印を動かすインチングデバイスの磁気センサとして実用化されている。これは、市販されている InAsDQW ホール素子の特性表である。この素子は、動作層の InAs の厚さが 50 nm である²⁹⁾。

図 5.13(a)は定電圧駆動、および図 5.13(b)は定電流駆動の場合のホール電圧の温度依存性を示した。

本素子は、図 5.13 からわかるように、ホール電圧の温度に対する変化が直線的である。これは、ホール電圧の回路的な温度補正が容易となる特徴である。さらに、図 5.14 には、ホール素子の入力抵抗値 R_{in} の

図 5.15 InAsDQW ホール素子の入力抵抗値の温度依存性

温度変化を示した。ホール電圧も、素子の抵抗値も温度変化は小さい。

(3) GaAs ホール素子

GaAs は、バンドギャップエネルギーが 1.4 eV で、狭ギャップの化合物半導体ではない。しかし、この大きなバンドギャップゆえに、ドナー不純物、または、アクセプタ不純物をドーピングしない限り絶縁性である。このため、容易に絶縁性の单結晶基板の製作が可能で

図 5.13 InAsDQW ホール素子の入力抵抗値の温度依存性
 (a) InAsDQW ホール素子の入力抵抗値の温度依存性
 (b) InAsDQW ホール素子の入力抵抗値の温度依存性

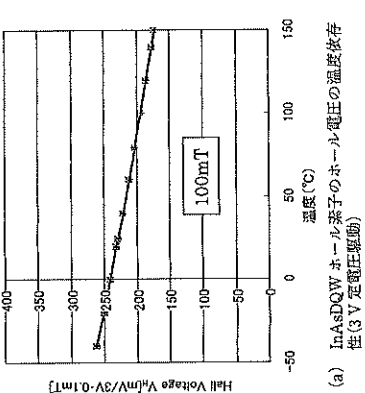


図 5.16 InAsDQW ホール素子の入力抵抗値の温度依存性

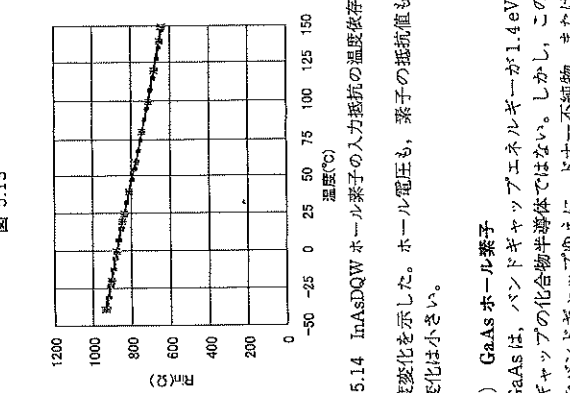


図 5.17 InAsDQW ホール素子特性
 (a) 定電圧駆動時の出力電流(AE)と温度(℃)の比較
 (b) 定電圧駆動時のInAsDQW ホール素子のホール電圧(VH)と温度(℃)の比較

の温度依存性を示すために、図 5.12 には、ホール電圧とその温度依存性を他のホール素子と比較して示した。図から InAs DQW ホール素子は、

この InAs DQW ホール素子の高い磁気センサとしての可能性を示すために、図 5.12 には、ホール電圧とその温度依存性を他のホール素子と比較して示した。図から InAs DQW ホール素子は、

この InAs DQW ホール素子が高感度 InSb 半導体の温度依存性が示されている。Si ドープ InAs 半導体の温度依存性が高くなるが、図 5.10 からわかるが、結晶薄膜のホール素子は、図 5.10 からわかるが、100°C 以上でも室温レベルの抵抗値が維持されており、高温で過電流による素子破壊の可能性がきわめて少なく信頼性もよい。

この Si ドープ InAs ホール素子は、磁束密度とホ

ある。室温附近では、温度変化によって電子の励起度はほとんどなく、例えばn型のドナー-不純物がドープされた場合に、電気伝導を担う半導体である。MOCVD法による半導体の単結晶のアンドープの電子移動度は、 $8,000 \text{ cm}^2/\text{Vs}$ 程度である。ドナー-不純物のドープにより導電性を付与すると不純物散乱が生じ、電子移動度はこの値よりも小さくなる。GaaSの素子を製作する場合は、エピタキシャル技術により、あらかじめ製作した基板上に所望の導電性の薄膜層を形成する方法もとられるが、電界効果トランジスタやホール素子など製作では、絶縁性のGaaS基板をあらかじめ作成する。そこで、この表面に不純物原子の加速したイオン注入を打ち込み、これをドープして、n型導電性、または、p型導電性の薄膜層を形成して所望の素子を製作する。GaaSホール素子もイオン注入法で製作することが可能である。

GaaSホール素子の製作では、当初はMOCVD法によりn型の動作層をエピタキシャル成長して形成する方法もとられたが、現在は、製作の容易さ、コストメリットなどから、Siのイオン注入によりn型の動作層を製作する方法が主流である。以下GaaSホール素子の製作法の概要を述べる。

イオン注入法によるホール素子の動作層の製作は、あらかじめ製作しておいた半絶縁性のGaaS基板表面にイオン注入法により、加速したSiイオンを打ち込み、800~900°C付近の温度で、加熱アニールすることで、Siイオンの打ち込みで破壊されたGaaSの結晶格子を再配列するとともに、折込んだSiイオンを活性化してn型導電層をGaaS基板の表面に形成する。Siイオン注入後のアニールの方法は、Asの蒸気圧が高く、加熱するとGaaS基板からのAs抜けが生じるので、詳細は略するが、不活性ガスで希釈したアーリンガス中のアニールの他、As抜け防止のために瞬間に加熱アニール法がつかわれる。

ホール効果を生じる動作層の電子密度の調整は、イオン注入時の注入電流(イオン電流)を変えるか、注入時間を見直すことで可能である。イオン注入時の加速電圧にもよるが、動作層の厚さは、通常 $0.3 \mu\text{m}$ 程度である。一般には、イオン注入したSi原子は、加速電圧に対応した深さを中心にはGaaSの表面附近で、GaaS表面に正規分布する。したがって、GaaS表面に形成されるn型動作層の深さ方向のSi原子の分布密度は、加速したSiイオンの速度分布もあり、さらに、密度に言えば、アニールによる再分布も與わり一緒にはならない。最終的には、注入時の正規分布に近い分布である。アニール後のGaaS動作層の電子移動度は、Siイオンとの衝突確率が破壊されることもある

り、アニールで完全にものに戻るわけではない。また、Siによる不純物散乱の影響も大きく、バルクの値には及ばない、おおむね $4,000 \text{ cm}^2/\text{Vs}$ 程度である。こうして形成されたn型の導電層のホール効果を利用するのが最も簡単である。

ホール素子の製作は、代表的に2つの方法がある。その一つは、2インチ、または4インチ径の半絶縁性のGaaS基板の表面にホトリソグラフィアによりホール素子のマスクを利用して加工したSiオーブンを打ち込みホール素子の動作層のパターンを形成する方法と第二の方法は、半絶縁性のGaaS基板の全面にSiイオンを打ち込んで、その後、フォトリソグラフプロセスによりメサエッチングしてホール素子の形状をつくる方法がある。

基板上に、製作されたGaaSホール素子は、ダイシング工程を経て個別の素子に切り離されて、ボンディング、脂脂バッケージされて製品として完成する。イオン注入法によるGaaSホール素子は、上述のように、動作層の電子移動度が低く、磁界検出感度はInSbやInAsのホール素子には及ばないが、定電流駆動すれば、ホール電圧の温度依存性が少なくていい、量産がしやすくコストメリットがあるなど、様々な利点があり利用されている。

GaaSホール素子の特徴は、バンドギャップの大きさに起因し、ホール係数が温度で室温周辺ではほとんど変化しないことから、定電流駆動時のホール電圧の温度依存性が $-0.06\%/\text{C}$ で、きわめて小さいことである。しかし、定電圧駆動では、ホール電圧の温度依存性は、抵抗値、または、電子移動度の温度係数は、抵抗値、または、電子移動度の温度係数とは同じ値の $-0.3\%/\text{C}$ である。また、動作層の電子移動度が小さいので磁気抵抗効果の影響が小さく、かなり大きな磁束密度までホール電圧の磁束密度比例性がある。表5.8には、イオン注入法により製作されたGaaSホール素子の標準的な特性例を示した。また、GaaSホール素子は、InSbホール素子について早くから開発されホールモータの磁気センサとして多数使われてきた。当初は、GaaS基板が高価なもの、コスト的な問題があった。その後、GaaS基板の量産による価格低下もあり、イオン注入という量産性

にも優れるプロセスで動作層を製作するので、コストも安くつくれる特徴がある。現在は、InSbのホール素子に次ぐ生産量の多い重要なホール素子である。小型のホールモータを中心として、電流検出や車両センサ分野などで応用が拡大している。定電流駆動をするセンサ信号の温度依存性が $-0.06\%/\text{C}$ というきわめて少ない特徴があるが、イオン注入層の電子移動度がInSbやInAs単結晶薄膜と比較して小さく、磁界検出感度が低いのが難点である。

(4) InSb 単結晶薄膜ホール素子

先に述べた高感度InSb薄膜ホール素子はアンドープのInSb薄膜を動作層にしていた。しかし、このホール素子は、素子の入力抵抗値の温度依存性が、 $-2\%/\text{C}$ あり、温度依存性の低減が望まれていた。MBE法を応用すると単結晶InSbが容易に製作できる。アンドープの厚さ、 $0.7 \mu\text{m}$ のInSb単結晶薄膜のホール素子は、地磁気検出用の磁気センサとして既に実用化されている。^{23,24)} InSb単結晶薄膜の抵抗値の温度依存性はドナー-不純物としてSnをドープする事で、アンドープに比較しておよそ一桁小さなリットは、InSb薄膜の電子移動度やシート抵抗の温度依存性を低減できることである。InSbが抱えていた年來の課題である $-2\%/\text{C}$ のいう大きな抵抗の温度依存性の低減を実現した。

InSb単結晶の成長中にSiやSn等のドナー-不純物をドープすることにより、InSb薄膜の抵抗値(抵抗率)や電子移動度、ホール係数等の温度依存性を大幅に低減できる。このことを明らかにするために、図5.16には、アンドープとSiまたはSnをドーピングした厚さ $1.0 \mu\text{m}$ のInSb薄膜の 50°C と 100°C のシート抵抗値の比と電子密度との関係を示した。SiやSnの濃度ではなく電子密度のみに依存し、電子密度の増

加でシート抵抗値が減少することを示している。同図よりInSb薄膜の抵抗値の温度依存性は、SiやSn等、ドナー-不純物の種類によらず、ドーピングで生じた電子密度のみに依存し、電子密度の増加に近づき、抵抗の温度依存性が少くなることを示している。また、ドナー-不純物としてSnをドーピングした場合、InSbの結晶成長中にSiやSnのドーピング量を変えることでInSb中の電子密度の制御を行なうことができる。電子密度を変えるためn型のドナー-不純物としてはSnがドープされている。InSb法では、InSbの結晶成長中にSiやSnのドーピング量を変えることでInSb中の電子密度の制御を行なうことができる。電子密度 $n = 1 \mu\text{m}^{-3}$ におけるInSb薄膜の室温での電子密度(electron density)と電子移動度(electron mobility)の関係を示した。n型ドナー-不純物としては、SiやSnをドーピングしている。図5.15からわかるように、ドーピングによる不純物散乱の増加でInSbの電子移動度は若干低下している。しかし、電子密度が一桁大きくなつても電子移動度が半分以下である。

MBE法で製作したInSb単結晶薄膜の特性

表 5.8 GaAsホール素子特性
(旭化成エレクトロニクス、 HG-302C)²⁵⁾

項目	記号	特性	条件
ホール電圧	V_H	$35\sim75 \text{ mV}$	$B=50 \text{ mT}, V_{dd}=6 \text{ V}$
入力抵抗	R_{in}	$650\sim850 \Omega$	$B=0 \text{ mT}, I_d=0.1 \text{ mA}$
出力抵抗	R_{out}	$650\sim850 \Omega$	$B=0 \text{ mT}, I_d=0.1 \text{ mA}$
不平偏電圧	V_u	$\leq \pm 11 \text{ mV}$	$B=0 \text{ mT}, V_{dd}=6 \text{ V}$
ホール電圧の温度係数		$-0.06\%/\text{C}$	$B=50 \text{ mT}, I_d=5 \text{ mA}$
抵抗温度係数		$-0.3\%/\text{C}$	$I_d=0.1 \text{ mA}$

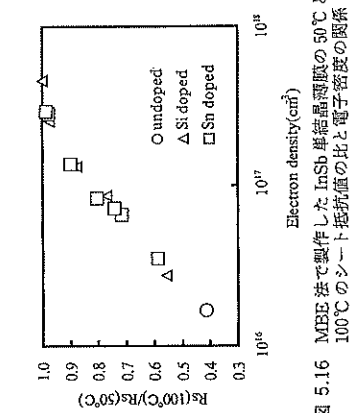


図 5.15 MBE法で製作したInSb単結晶薄膜の電子移動度と電子密度の関係 (InSbの厚さは1.0 μm)

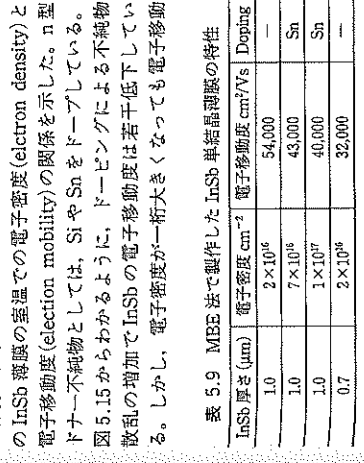


図 5.16 MBE法で製作したInSb単結晶薄膜の温度依存性の関係 (100°Cのシート抵抗値との比)

は、Siイオンの衝突確率が破壊されることもある。

大とともに減少することを示している。

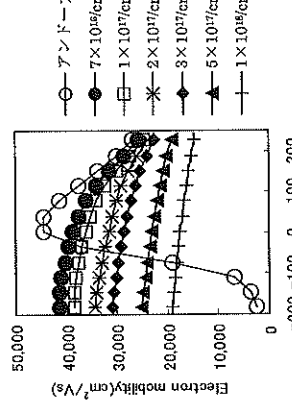
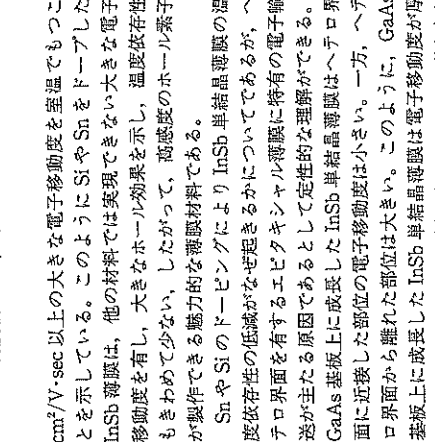
図 5.16 の結果は、すなわち室温で InSb のような真正性半導体の抵抗値(抵抗率)の温度依存性が、ドーピングで変わることを示して不純物のドーピングでは、InSb 中の電子密度を増加し、温度依存性を低減するための手段である。Si や Sn 等の不純物ドーピングでは、InSb 中の電子密度は、 $2 \times 10^{16} \text{ cm}^{-3}$ およびドープした薄膜では大きな温度依存性の違いが見られる。この大きな違いは、InSb 単結晶薄膜では、ドーパー(室温の電子密度は $2 \times 10^{16} \text{ cm}^{-3}$)およびドープした薄膜では大きく磁気抵抗率が大きいので磁界に対するホール電圧の出力特性が磁気抵抗効果により直線からずれる可能性があるが低磁界ではこのずれはきわめて小さく、InSb 単結晶薄膜のホール素子のホール電圧 V_H との磁束密度の比倒数がきわめてよい。また、図(b)では、Sn のドープにより電子移動度が少し低下するので、アンドープに比較して磁界検出の感度は少し低下している。

次に、ドナー不純物のドーピングで電子移動度を室温でもつけることを示している。このように Si や Sn をドープした InSb 薄膜は、他の材料では実現できない大きな電子移動度を有し、大きなホール効果を示し、温度依存性もきわめて少ない、したがって、高感度のホール素子が製作できる特徴的な薄膜材料である。

Sn や Si のドーピングにより InSb 単結晶薄膜の温度依存性の低減がなぜ起きるかについてであるが、ヘテロ界面を有するエピタキシャル薄膜に特有の電子輸送が主たる原因であるとして定性的な理解ができる。GaAs 基板上に成長した InSb 単結晶薄膜はヘテロ界面に近接した部位の電子移動度は小さい。一方、ヘテロ界面から離れた部位は大きい。このように、GaAs 基板上に成長した InSb 単結晶薄膜は電子移動度が厚さ方向で変化していると考えられる。

ドープしない InSb 単結晶薄膜は室温以上では電流がヘテロ界面から離れた部位を流れ、しかし、低温度では、ヘテロ界面から離れた結晶性のよい部位の電子の伝導帶への励起が減少し、転移や欠陥の多いしたがって電子移動度の低いヘテロ界面付近の部位の電子が相対的に多くなり、結果としてヘテロ界面付近を流路として電流が流れ、この結果、室温より温度の高いところでは大きな移動度を示し、低温度では小さな移動度を示し、室温付近にピークをもつ温度依存性となる。一方、不純物をドープするとヘテロ界面から離れた結晶性のよい部位を電流は常時流れることになり、電流通路の温度による変動はなくなり、格子散乱と不純物散乱に起因する電子移動度の温度依存性のみとなる。ここでは詳しく述べないので参考文献をあげておく⁽³⁵⁾。

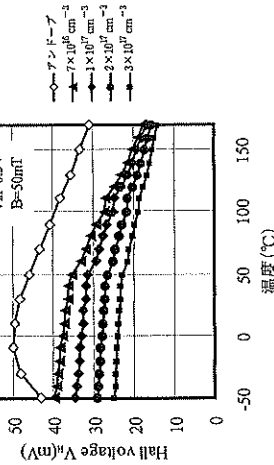
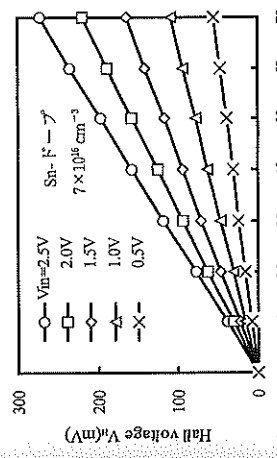
(b) InSb 単結晶薄膜ホール素子の特性
MBE 法で製作した InSb 単結晶薄膜を用い、製作したホール素子の特性を示す。ここでは、フォトリソグラフィを応用したホール素子のパターン製作工程や電極形成工程などを経て、ホール素子を作製した。

図 5.18 MBE 法で GaAs 基板上に製作した InSb 単結晶薄膜(厚さ $1.0 \mu\text{m}$)の電子移動度の温度依存性図 5.19 1.0 μm の InSb 中の電子密度は $2 \times 10^{16} \text{ cm}^{-3}$ の MBE 法で GaAs 基板上に製作した InSb 単結晶薄膜(厚さ $1.0 \mu\text{m}$)の電子移動度の温度依存性

作した InSb 単結晶薄膜ホール素子の特性を次に示そう。

実際によく使われる定電圧駆動の場合の磁界でのホール電圧の特性を図 5.19 に示す。図(a)は、厚さ $1.0 \mu\text{m}$ のアンドープ単結晶 InSb 単結晶薄膜のホール素子の場合を示した。図(b)には、Sn をドープした厚さ $1.0 \mu\text{m}$ で電子密度 $7 \times 10^{16} \text{ cm}^{-3}$ の InSb 単結晶薄膜は電子移動度が大きく磁気抵抗効果が大きいので磁界に対するホール電圧の出力特性が磁気抵抗効果により直線からずれる可能性があるが低磁界ではこのずれはきわめて小さく、InSb 単結晶薄膜のホール素子のホール電圧 V_H との磁束密度の比倒数がきわめてよい。また、図(b)では、Sn のドープにより電子移動度が少し低下するので、アンドープに比較して磁界検出の感度は少し低下している。

次に、InSb 単結晶薄膜のホール素子の温度特性を示す。図 5.20(a)は、厚さ $1.0 \mu\text{m}$ の Sn ドープの

図 5.20(a) MBE 法で GaAs 基板上に製作した Sn のドーピングレベルをえた、厚さ $1.0 \mu\text{m}$ の InSb 単結晶薄膜で製作したホール素子のホール電圧の温度依存性(0.5 mA 定電流駆動、磁束密度 50 mT)図 5.20(b) MBE 法で GaAs 基板上に製作した Sn のドーピングレベルをえた、厚さ $1.0 \mu\text{m}$ の InSb 単結晶薄膜で製作したホール素子のホール電圧の温度依存性(0.5 mA 定電流駆動、磁束密度 50 mT)

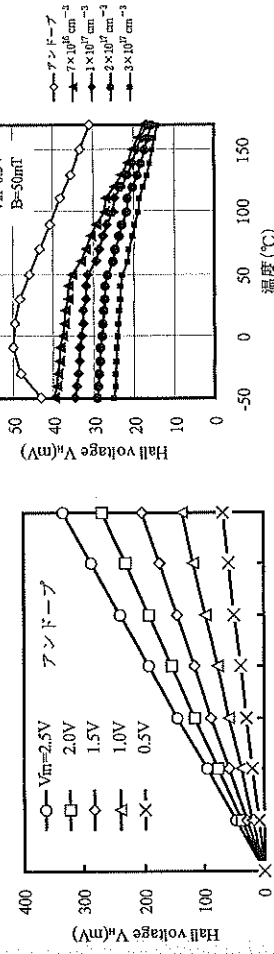
実用上よく使われる定電圧駆動の場合のホール電圧と磁束密度の関係(図 5.20(b))を示した。アンドープに比較して大幅に減少している。

図 5.20(b)は、MBE 法により GaAs 基板上に成長した厚さ $1.0 \mu\text{m}$ の Sn ドープの InSb 単結晶薄膜のホール素子の定電流駆動時のホール電圧(Hall voltage)の温度依存性が Sn のドーピングによる電子密度変化に対応して大きく異なる様子を示した。定電流駆動でのホール電圧は Sn のドーピングによる電子密度の増大に伴い温度依存性がアンドープに比較して大幅に減少している。

図 5.21 には、 -50°C で規格化(-50°C の抵抗値を 1.0 と)した InSb 単結晶薄膜ホール素子の入力抵抗値の温度依存性を測定したデータを示した。Sn のドーピングによる電子密度の増大に対応して抵抗の温度依存性は劇的に低減する。今まで、InSb ホール素子の温度依存性は劇的に低減する。

図 5.21 には、 -50°C で規格化(-50°C の抵抗値を 1.0 と)した InSb 単結晶薄膜ホール素子の入力抵抗値の温度依存性を測定したデータを示した。Sn のドーピングによる電子密度の増大に対応して抵抗の温度依存性は劇的に低減する。

図 5.21 には、 -50°C で規格化(-50°C の抵抗値を 1.0 と)した InSb 単結晶薄膜ホール素子の入力抵抗値の温度依存性を測定したデータを示した。Sn のドーピングによる電子密度の増大に対応して抵抗の温度依存性は劇的に低減する。

図 5.21 MBE 法で GaAs 基板上に製作した Sn のドーピングレベルをえた、厚さ $1.0 \mu\text{m}$ の InSb 単結晶薄膜で製作したホール素子のホール電圧の温度依存性(0.5 mA 定電流駆動、磁束密度 50 mT)図 5.20 図 5.20(a) MBE 法で GaAs 基板上に製作した Sn のドーピングレベルをえた、厚さ $1.0 \mu\text{m}$ の InSb 単結晶薄膜で製作したホール素子のホール電圧の温度依存性(0.5 mA 定電流駆動、磁束密度 50 mT)

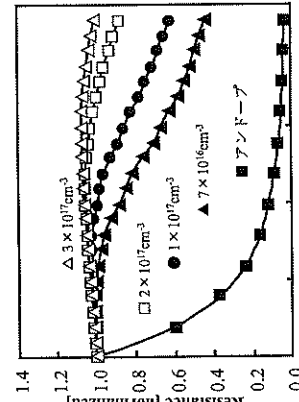


図 5.21 -50°C で規格化した InSb 単結晶薄膜のホール素子に対する入力抵抗値の温度依存性を各電子密度に対してプロット。

が、ドナー不純物のドーピングにより、年來の問題点を解決し、温度依存性の少ない新たな薄膜ホール素子の材料として生まれ変わったことを意味している。抵抗値の温度依存性が小さいことから、このホール素子はオフセット電圧の温度ドリフトがきわめて少ないと特徴がある。この特性は高精度の磁界計測が必要となる各種の新規用途で有用である。

最後に、ドナー不純物として Sn をドープした InSb 単結晶薄膜で製作したホール素子の特徴をまとめてみた。

- ① 高感度で磁界、特に超微弱磁界を検出できる。
- ② 低温度から高溫まで、広い範囲で入力抵抗値の変化が少なく、電子回路とのマッチングにも優れ、駆動できる温度範囲も広い。例えば、 -50°C ～ 150°C にわたって駆動が可能である。
- ③ 入力抵抗の温度変化が少なく、從来の技術では小さくすることができなかつたオフセット電圧（不平衡電圧）の温度依存性（温度ドリフト）がきわめて小さい。

この InSb 単結晶薄膜ホール素子のボテンシャルを示す応用例として、超微弱磁界の計測特性を調べた例を図 5.22 に示した。

図 5.22 は Sn をドープし、電子密度 $n = 3 \times 10^{17} \text{ cm}^{-3}$ 厚さが $1.0 \mu\text{m}$ の InSb 単結晶薄膜で製作したホール素子の磁束密度とホール電圧の関係で、超微弱磁界計測の例である。図 5.22 より、ホール電圧は地磁気のおよそ $1/30$ の $1 \mu\text{T}$ 以上で磁束密度に比例しており、検出できる最小値は概ね $11 \mu\text{T}$ であることを示している。当該 InSb ホール素子が地磁気計測等の微弱磁界の磁気センサとして実用になることを示しているデータでもある。この Sn をドープした InSb 単結晶薄膜ホール素子は、磁束密度の高精度検出、抵抗値やホール電圧の温度依存性が小さいという特性から、以下の低温や 100°C を超える高温度での使用上の信頼性が大きく上がる。

表 5.10 には、Sn ドープの InSb 単結晶薄膜（電子密度 $7 \times 10^{16} \text{ cm}^{-3}$ ）で製作したホール素子の特性を、アンドード電圧と比較して示した。Sn ドーピングにより素子の室温の入力抵抗値は低下しているが、アンドードと比較して温度係数が大幅に減少している。

以上述べたように、InSb 単結晶薄膜ホール素子の温度依存性は、よりかなり自由に制御できる。応用にあわせた素子の設計の最適化という課題もあるが、この技術により、初めて広い温度範囲で駆動できる、温度依存性の少ない InSb 薄膜ホール素子の製作が可能になった。これらの結果は、InSb というべきわめて大きな電子移動度を有する材料

は $-2\%/\text{ }^{\circ}\text{C}$ で抵抗値が（温度の上昇とともに）低下して高温度での駆動を難しくしているが、上述のように Sn をドープした InSb 単結晶薄膜をセンサ部に使うことで 100°C を超える高温度まで安定して使うことが可能となつた。また、このような InSb ホール素子の入力抵抗値の温度依存性の低減は、実際にホール素子を駆動するときの信頼性を大きく上げ、かつ、 -20°C 以下の低温や 100°C を超える高温度での使用上の信頼性が大きく上がる。

表 5.10 には、Sn ドープの InSb 単結晶薄膜（電子密度 $7 \times 10^{16} \text{ cm}^{-3}$ ）で製作したホール素子の特性を、アンドード電圧と比較して示した。Sn ドーピングにより素子の室温の入力抵抗値は低下しているが、アンドードと比較して温度係数が大幅に減少している。この素子を電源に供給すると、從来のホール素子ではできなかつた $1 \mu\text{T}$ に対応する微小電流の検出が可能である。^{33,34)} 通常、ソフトエレクトロニクス用の強誘電材料の円形リング状のコアを使うと、コアを貫く 1 mA の電流は、コアにつくられた狭い空隙間に

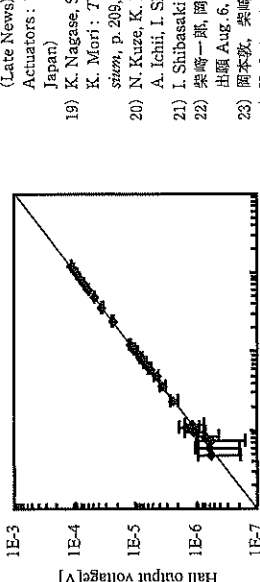


図 5.22 GaAs 薄板上に成膜した Sn ドープ InSb 単結晶薄膜厚さ $1.0 \mu\text{m}$ 、電子密度 $n = 3 \times 10^{17} \text{ cm}^{-3}$ で製作したホール素子のホール電圧と磁束密度の関係（駆動電圧 $V_{\text{d}} = 10 \text{ V}$ の定電圧駆動）

およそ $11 \mu\text{T}$ の磁束密度を生じる。したがって、この空隙にホール素子を挿入し、これまでホール素子では難しかつた 1 mA レベルの DC 電流検出がこのホール素子を使うことで可能である。ホール素子を駆動するとき、入力、出力を入れ替えてホール素子を駆動するスピニングカレント法を用いると、計測できる磁束密度は、さらに一桁小さい $0.1 \mu\text{T}$ まで計測できる。また、将来は、INT の磁束密度計測も期待される。

参考文献

- 1) E. H. Hall : Am. J. Math. 2, p. 287, 1879.
- 2) 片岡照美：磁電流センサ、日刊工業新聞社、1972.
- 3) H. Weiss : 磁電流センサの構造と応用、片岡照美訳、コロナ社、1974.
- 4) 美崎一郎：日経月報、Vol. 41, No. 5, p. 12, 1988.
- 5) I. Shibasaki : Technical Digest of the 8th Sensor Symposium, p. 211, (IEE Japan) 1989.
- 6) 美崎一郎：電子材料、Vol. 37, No. 11, p. 108, 1998.
- 7) 美崎一郎：電気学会論文誌 E, Vol. 119-E, No. 8/9, p. 405, 1999.
- 8) G. L. Pearson : Review of Scientific Instruments, Vol. 19, p. 263, 1948.
- 9) K. G. Guenter : Z. Naturforschung, 13 a, p. 1081, 1958.
- 10) 酒井雄哉、大下正秀：電気学会雑誌、80, p. 166, 1960.
- 11) 最先端のインテリジェントモーション、技術奨学会, p. 101, 1989.
- 12) 美崎一郎：応用物理 Vol. 67, p. 289, 1998.
- 13) I. Shibasaki : J. Crystal Growth 175/176, p. 13-21, 1997.
- 14) 美崎一郎、桂野隆、田辺克彦：日本特許 P 159838, 出願 July 13, 1982.
- 15) I. Shibasaki, Y. Kanayama, T. Ito, F. Ichimori, K. Nagase, T. Yoshida, K. Harada : Digest of Technical Papers, Transducers 1991, p. 1069, IEEE
- 16) Ichiro Shibasaki, Y. Kanayama, K. Nagase, T. Ito, F. Ichimori, T. Yoshida, and K. Harada : Technical Digest of the 10th Sensor Symposium, 1991, p. 113, (IEE Japan)
- 17) I. Shibasaki, N. Kure, K. Nagase, T. Iwabuchi : 日本特許 P 2793440, 出願: July 16, 1992.
- 18) K. Nagase, S. Muramatsu, N. Kure, T. Iwabuchi, A. Ichii, M. Toyama, I. Shibasaki : Digest of Technical Papers

5.3 ホール IC

(Late News). The 7th International Conf. on Sensors and Actuators : Transducers '93, p. 32, 1993, (IEE, Tokyo, Japan)

19) K. Nagase, S. Muramatsu, N. Kure, A. Ichii, I. Shibasaki, K. Mori : Technical digest of the 12th Sensors Symposium, p. 209, 1994, (IEE, Tokyo, Japan)

20) N. Kure, K. Nagase, S. Muramatsu, S. Miya, T. Iwabuchi, A. Ichii, I. Shibasaki : J. Crystal Growth, 150, 1995 p. 1357

21) I. Shibasaki : J. Crystal Growth, 175/176, p. 13-21, 1997

22) 美崎一郎、岡本誠、吉田季、岡田一朗：日本特許 P 3916870, 出願 Aug. 6, 1999.

23) 岡本誠、美崎一郎：応用物理 Vol. 67, p. 133, 2000.

24) H. Gaka, A. Okamoto, Satoshi Yamada, Hiromasa Goto, Kazuo Yoshioka, and Ichiro Shibasaki : J. of Crystal Growth, 301-302, 2007.

25) Ichiro Shibasaki, Hirota Geka and Aisusi Okamoto : Proceedings of the 13th International Conference on Narrow Gap Semiconductors, Springer Proceedings in Physics 119, p. 89-92, 2007.

26) T. Iwabuchi, T. Ito, M. Yamamoto, K. Sako, Y. Kanayama, K. Nagase, T. Yoshida, F. Ichimori, I. Shibasaki : J. of Crystal Growth 150, p. 1302, 1995.

27) Pavel Ripka : Editor, Magnetic sensors and Magnetometers, Artech House, p. 184, 2003.

28) Aisusi Okamoto, Arata Ashihara, Takayuki Akaoji and Ichiro Shibasaki : Journal of Crystal Growth, Vol. 227/228, p. 619, 2001.

29) 化成電子株式会社、ホール素子カタログ

30) I. Shibasaki, A. Okamoto, A. Ashihara and K. Suzuki : Technical Digest of Sensor Symposium, p. 233, 2001.

31) I. Shibasaki : Proceedings of the 10th International Conference on Narrow Gap Semiconductors, IPAP Conference Series, Vol. 2, p. 137, 2001.

32) 美崎一郎：InSb 単結晶薄膜の物理と磁気センサ応用、電元技術文書誌 E, Vol. 123, No. 3, p. 691, 2003.

33) I. Shibasaki, A. Okamoto, M. Takada, H. Goto and R. Uchiyama : 3 E 115-P, Proceedings of 12th International Conference on Solid-State Sensors and Actuators, Transducers 03, Boston, p. 1626, 2003.

34) 美崎一郎：Journal of Advanced Science, Vol. 17, No. 3 & 4, p. 225, 2005.

35) A. Okamoto, H. Geka and I. Shibasaki : Journal of Crystal Growth vol. 278, p. 604, 2005.

5.3 ホール IC

5.3.1 ホール IC とは

ホール IC は集積回路技術を利用して磁気センサである。古くから使われ、よく知られているものは、ホール素子の検出する磁束の検出に応じてホール電圧を波形試型しデジタル信号に変換する增幅回路がホール素子に附加され、磁界の検出に対応した 2 値の電圧を一定の閾値以上での磁束密

度の磁束検出に応じて 2 値の電圧を出力する機能の素子である。

ホール IC は利用した磁気センサで

表 5.10 厚さ $10 \mu\text{m}$ の InSb 単結晶薄膜で製作したホール素子の特性と比較

項目	アンドード ホール電圧 V_{h}	49 mV	39 mV	$V_{\text{h}}=0.5 \text{ V}, B=50 \text{ mT}$
ホール電圧 V_{h}	59 mV	21 mV	$I_{\text{h}}=1 \text{ mA}, B=50 \text{ mT}$	$V_{\text{h}}=0.5 \text{ V}, B=50 \text{ mT}$
入力、出力抵抗値 ΔV_{h}	$<\pm 0.6 \text{ V}$	55Ω		
ホール電圧の温度係数 $-0.19\%/^{\circ}\text{C}$	$-0.11\%/^{\circ}\text{C}$		室温、定電圧駆動	
ホール電圧の温度係数 $-1.9\%/^{\circ}\text{C}$	$-0.33\%/^{\circ}\text{C}$		室温、定電流駆動	
入力、出力抵抗値の温度係数 $-1.7\%/^{\circ}\text{C}$	$0.22\%/^{\circ}\text{C}$		室温	

チップ上に製作した磁気センサで、磁界の検出-非検出に対応したON, OFFの2値出力が得られるデジタル磁気センサである。また動作磁束密度は、ON-OFFに対応して異なる閾値が設定されるので動作磁束密度に応じて常にヒステリシスを有することも基本的な特徴である。ホールIC(HIC)はホール素子と增幅回路をSiのチップ上に製作したモノリック型が一般的に用いられている。古くから、ハイポーラICのアロセスで製作されてきたが、近年は、CMOSアロセスも用いられるようになつた。

ホールICは、その構成上から分類すると磁界検出用のホール素子の違いにより2種類ある。従来から知られているホールICとして、集積回路の製作プロセスを用いて、Siのホール素子と増幅器をSiの基板上に集積したモノリック(Monolithic)ホールIC(MHIC)がある。もう一つは、例えば、InSb薄膜ホール素子など化合物半導体の薄膜チップを組み合ったSICの增幅回路によるホール素子とその検出、非検出に対するヒステリシスを有し、磁界の検出、非検出に対応した2信号が検出されるセンサである。ホールICの動作は、磁束密度の正-負(磁界の向き)の変化を検出し信号を発生するタイプもある。

ホールICの種類は磁界を検出するホール素子の種類によって2種類ある。

① SIC集積回路技術によるSiのホール素子とその信号を増幅するアンプを1チップ上に集積化し

て増幅し、検出した磁界に比例する増幅出力の得られるものがあり、リニアホールICと呼ばれる比較的最近開発された複数のものである。モノリックアヒニアホールICとハイブリッドリニアホールICの二種ある。ホールICはホール素子を応用した磁気センサであるが、その機能はきわめて単純かつ基本的なものであり、ホール素子とは異なる機能の独立な磁気センサとして考えるのが自然である。リニアホール素子と同じような構成で、ホール素子の信号を様々な形でSiのIC回路で增幅し、より機能的な、特定用途向けのセンサとして製作する素子も開発されている。一例は、DCアラシレスモータ駆動のホール素子内蔵のカスタム製作のICでホールドライバICがある。このような素子も広い意味でホールICと呼ばれる場合もあるが、本書では、混乱を避けるため除外した。ホールICまたはハイブリッドホールICとの呼称は、上述のきわめて一般的な汎用的なデジタル、またはリニア出力の機能を有するものに限った。

特定用途向けのものは、通常、用途名や対応する機能名を付けた呼称で呼ばれるからである。

5.3.2 デジタル出力型ホール IC (デジタル磁気センサ)

ホールIC(HIC)はホール素子と增幅回路をSiの1

センサ部に使い、SiIC増幅器を組み合わせたハイブリッドホールICの写真を示した。同図(a)にはSiIC磁気センサ部を化合物半導体の薄膜ホール素子とSiICから、たとえばInSb薄膜ホール素子とSiICからなるデジタル増幅器チップを1つの封箱パッケージに収容したハイブリッドホールIC(HHIC)がある。

図 5.25 には、高感度 InSb 薄膜ホール素子を磁気センサとしたハイブリッドホールICとCMOSプロセスによるSiモノリックホールICの特性例を示した。

表 5.11 には高感度 InSb 薄膜ホール素子を磁気センサとしたハイブリッドホールICとCMOSプロセスによるSiモノリックホールICの場合は図 5.23 で出力形式が若干変わり、CMOS 形式となる。

ホールICは、駆動電圧に大きな自由度がある。磁界の磁束密度が小さく閾値以下($B < B_{op}$)のOFFレベルでは、出力端子電圧、センサ出力は駆動電源の電圧に対応し $V_{ce} = V_{cc}$ である。閾値以上($B > B_{op}$)の磁束密度を検出したときのセンサ出力電圧、すなわち、ON レベル電圧は、通常は V_{ce} に比べて一杯小さい電圧が設定されている。

ハイブリッドホールICでは、最初はハイポーラプロセスで製作されたアンプが使われたが、消費電力の少ないCMOSアンプも可能である。また、CMOSモノリックホールICでは、ホール素子は、駆動電力を少なくするために、周期50~100 ms程度のパルス駆動方式が採られている。従来はCMOSプロセスによるホール素子は、オフセットが大きく実用化上大きな問題であった。しかし、比較的最近、ホール素子の人力、出力を入れ替えて出力電圧を平均にして出力することでオフセット電圧をキャンセルするスピニングゲート法と呼ぶ技術が発明され、CMOSホール素子の大きなオフセットの問題が解消した。現在市販されているCMOSホールICは、大きな性能上の進歩が実現した。CMOSホールICは、スビニングゲート法によるホールICとハイブリッドホールICは、どちらもモノリックホールICは、大きな性能上の進歩が実現した。現在市販されているCMOSホールICは、スビニングゲート法による駆動、すなわち、ホール素子の人力、出力を入れ替えて出力電圧を平均して出力するダイミックオフセットキャンセル法を採用している。CMOSホールICの利点は、複雑な回路処理が可能などである。CMOSホールICの残る問題点は、パルス駆動の周期やオフセット

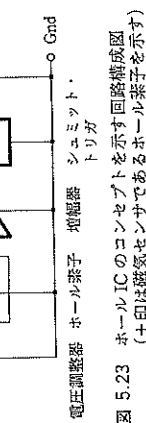
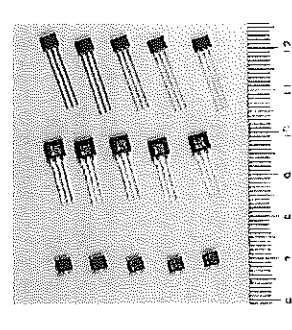
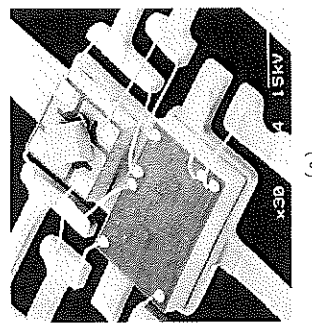


図 5.23 ホール IC のコンセプトを示す回路構成図 (+印は磁気センサであるホール素子を示す)

表 5.11 高感度 InSb 薄膜ホール素子を磁気センサとしたホール IC の特性例

	ハイブリッドホール IC	InSb 薄膜ホール素子	Si モノリックホール IC
駆動電圧 V_{ce}	4.5~24 V	4.5~24 V	1.6~5.5 V
On 閾値密度 B_{op}	12.0 mT	3.2 mT	3.0 mT
Off 閾値密度 B_{op}	9.0 mT	2.4 mT	2.2 mT
$V_{ce} (B > B_{op})$	$V_{ce} < 0.2 V$	$V_{ce} < 0.2 V$	$V_{ce} < 0.4 V$
$V_{ce} (B < B_{op})$	$V_{ce} = V_{cc}$	$V_{ce} = V_{cc}$	$V_{ce} = V_{cc}$
出力形式	オーバンコレクタ	なし	なし
オフセットキャンセル	なし	なし	あり*
動作温度範囲	-20°C~+115°C	-20°C~+115°C	-20°C~+115°C

* ホール素子の人力、出力を入れ替えて出力電圧を平均して出力するスピニングゲート方式のデータ

図 5.24 ホール IC の動作特性例。
B < B_{op} では出力電圧は $V_{ce} = V_{cc}$ level, B > B_{op} では $V_{ce} = G_{nd}$ level, B_h はヒステリシス

チャンセルに要する時間以下の高遅延ができないことである。しかし、CMOS ホール IC で難しい、荷電伝導の応答を求める場合は、オフェンセットキャップセルをしないハイボーラープロセスによるホール IC やハイブリッドホール IC の出番である。

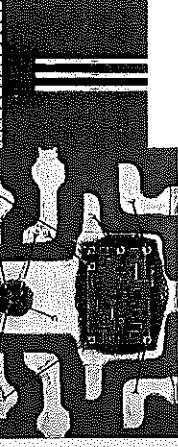
歴史的にはハイボーラープロセスの Si モノリシックホール IC が最初に開発された。次いで、比較的最近になって、ホール IC の高感度化や信頼性などの性能アップのために InSb 等化合物半導体のホール素子を使い、消費電力の少ない CMOS アロセスでも近年はオーフィード IC が製作されるようになり、今ではいずれもがそれぞれの特徴をいかして使われている。用途は当初は各種の位置検出や非接触スイッチ用のセンサ、ハードディスク(HDD)ドライブのモータ等に使われてきただ。DC プラシスモータ分野はホール素子と競合して優れることも多い。最近は、家庭製品に使うハーモモータの省エネルギー駆動のために使われている。

ここでは、先に述べた「スピニングカレント法(オフェンセットキャップセルホール電圧増幅回路)」について簡単に理論の概要を述べる。

モノリシックホール IC(MHIC)の磁気センサである Si のホール素子は、オフェンセット電圧が大きく、ホール電圧がきわめて小さいことが開発当初から問題であった。しかし、ホール素子の駆動電源端子(入力)と一緒にホール電圧端子(出力)を入れ替えてホール電圧を測るとホール電圧は同じ符号であるが、オフェンセット電圧が逆符号になり、この 2 つの電圧を平均化処理するとオフェンセット電圧をキャンセルしてホール電圧のみが得られる。この電圧を増幅するとオフェンセット電圧のきわめて少ない増幅後の磁束密度に比例した電圧が得られる。この操作は、スピニングカレント法と呼ばれる。この增幅方式のホール電圧の増幅回路が CMOS アロセスのホール IC で実用化している。この技術により、モノリシックホール IC ではオフェンセット電圧がホール電圧に対して大きいという問題点をほぼ解決した。最近のホール IC 技術の大大きな進歩である。この方法の限界は、IC 回路の設計や回路の動作速度にもなるが、ホール電圧の平均操作でのため、10 ms 程度以下の早い磁束密度変化的検出は難しいことである。しかし、磁束変化が緩やかな非接触スイッチなどの応用についてはきわめて有用で、CMOS アロセスで製作されるモノリシックホール IC の実用性を抜けた。またこの方法は、ハイブリッドホール IC の増幅回路にも適用できる。しかし、高感度の薄膜ホール素子を磁気センサに使うハイブリッドホール IC は、ホール電圧に対するオフセット比率为小さい高感度のホール素子が磁気センサとして使えるので、スピニングカレント法を使わないでも、高感度で、高速の動作が可能なホール IC 製作が可能である。この点は、ハイアリッジドホール IC のモーリシックホール IC に対する有利な点である。

5.3.3 リニアホール IC

ホール電圧を、リニア増幅し、磁束密度に比例した増幅信号の得られるリニア出力のホール IC も開発されている^⑥。磁気センサであるホール素子と SiC のリニアアンプを組み合わせたもので、Si ホール素子を磁気センサに使うモノリシック型と高感度の化合物半導体薄膜のホール素子を磁気センサに使い、リニア增幅回路に Si の IC を使うハイアリッジド型がある。図 5.26 にリニアホール IC のコンセプトを示す回路図を示した。



直線的に変化する位相の検出や回転検出、磁束密度の実測的な計測が必要とされる電流検出器への応用などが主な用途である。ホール素子を直接座よりは使いやすい磁束密度に比例した電圧が得られるのが特徴であり、ホール素子の応用を拡大する技術となつている。Si モノリシックのリニアホール IC は、オーフェンセットキャップセルをする必要があり、1 ms オーダーの高速で磁界が変化する用途には難しい。しかし、ハイブリッドリニアホール IC の場合は、高感度で低オフセットのホール素子を磁気センサに使えるメリットがあり、過渡的な電流変化を起事に検出できる電流センサ等に用いられる。

表 5.12 には、磁気センサに InAsDQW ホール素子を使つたリニアハイアリッジドホール IC の特性を示した^⑥。また、図 5.27 は、InAsDQW ホール素子を磁気センサとして使つたリニアホール IC の写真を示した。

図 5.28 には、InAsDQW ホール素子を磁気センサとして使つたリニアホール IC の動作特性例を示した。電源電圧 V_C 5.0 V で駆動すると、出力端子電圧は、ゼロ磁界では 2.5 V であるが、磁界を加えると 2.5 V を中心に、磁束密度の正、負に対応して增幅出力が磁界に比例して得られる。磁束密度との比例関係もきわめでよい。また、このリニアホール IC はオフセットキヤンセルをしていないので高周波磁界の検出にも優れ、過渡電流やバ尔斯電流の高精度検出に使われる。

図 5.29 は、このリニアホール IC を使つた小型の電流検出器の特性を示した。また、図 5.30 には、このリニアホール IC を使つた小型の電流検出器の写真を示した。このような電流検出器の実際の応用例であるが、エヤン・ヒラミツなどのモータの制御用インバータ等における電流検出に実際に使われている。

表 5.12 磁気センサに InAsDQW ホール IC の特性

項目	特性	条件
電源電圧 V _C	5V±0.5V	
出力電圧 V _O	2.5V±0.56V	B=±25 mT, V _C =5V
無電界出力 I _o	2.5V(12Vcc)	B=0 mT, V _C =5V
消費電流 I _c	8 mA	V _C =5V
出力電流 I _O	Max. ±1 mA	DC
動作温度	-30~100°C	V _C =5V
感度温度係数	-0.08%/°C	-20~80°C, B=25 mT
オフセット電圧	-0.2mV/°C	-20~80°C, B=0 mT
オフセット電流	0.0	
オフセット電圧	0.0	
オフセット電流	0.0	

図 5.29 リニアホール IC を使つた小型の電流検出器の電流検出特性(追化成エレクトロニクス)



図 5.30 リニアホール IC を使つた電流検出器(磁気センサは追化成エルクルトロニクス InAsDQW ホール素子)

参考文献

- Pavel Ripka, Editor; *Magnetic sensors and Magnetometers*, Artech House, p.201, 2001.
- RS Popovic; *Hall Effect Devices*, Second Edition, Series in Sensors, Institute of Physics Publishing, 2003.
- 泡成エレクトロニクス株式会社, ホール IC カタログ, 2007.
- 石橋和哉, 田近, 鶴尾, 杉山, 田中, 岸崎一郎; 電気学会東京支部, 沼津, 山梨支所同窓会予稿集, p.17, 1995.
- K. Ishibashi, I. Okada and I. Shibasaki: *Technical Digest of the 18th Sensors Symposium*, pp.245, 2001.
- K. Ishibashi, I. Okada and I. Shibasaki: *Sensors and Materials*, Vol.14, No.5, p.253, 2002.
- Beilekorn, A. A., and P. J. A. Munter: *Sensors and Materials*, Vol.5, o.5, pp.253-263, 1994.
- K. Suzuki, K. Kuriyama, T. Takatsuka, Y. Shibata, M. Nakao, and I. Shibasaki: *Technical Digest of Sensors Symposium*, p.167, 2003.
- 栗山慈治, 改野勝見, 清澤尚也, 鈴木健治, 柴崎一郎; 電気学会研究会資料, TER-06-6, PHS-08-6, 2008.

5.4 半導体薄膜磁気抵抗素子

分子線ビクターキャンセル(MBE)法により GaAs 基板上に製作した InSb 単結晶薄膜は、電子移動度が大き

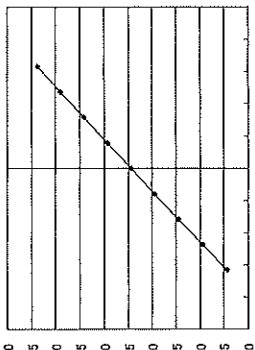


図 5.27 InAsDQW ホール素子を磁気センサとして使つたリニアホール IC のチップアレイ写真(追化成エルクルトロニクス)



図 5.28 InAsDQW ホール素子を磁気センサとして使つたリニアホール IC の動作特性例

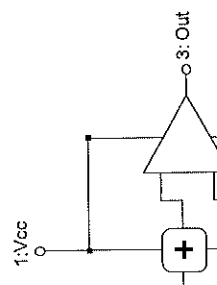


図 5.26 リニアホール IC の回路構成図

(2) 高磁界での磁気抵抗効果
(磁束密度に比例する抵抗変化)

ところで、図 5.33 は、図 5.32 のグラフで電場領域(0.4~0.5 T)の磁気抵抗効果を拡大して示したものである。この領域においては、磁束密度の変化に対して抵抗値が比較的大きく、通常の半導体素子と同じように磁気抵抗素子を作成できる等、今後実用的な磁気抵抗素子を作成する上できめて注目すべき重要な材料である。また、特徴すべきは、Sn や Siなどのドナー不純物のドープが容易にできるので、従来はできなかった素子抵抗値の温度依存性が從来比で、およそ一桁、きわめて小さい磁気抵抗素子が製作できることである。このような材料を用うことで磁気抵抗素子の実用応用の拡大が期待できる。

図 5.34 は、Sn をドープした InSb 単結晶薄膜の温度依存性を、アンドープの場合と比較したものである。温度依存性がきわめて少ないことが、理解されよう。図 5.35 は、磁気抵抗効果の温度依存性を示した。磁気抵抗効果は、電子移動度の 2 乗に比例することから、電子移動度の 2 乗と同じ温度依存性を示す。したがって、図 5.18* の電子移動度の温度依存性に対応した温度依存性である。図 5.35 は、InSb 単結晶薄膜の磁気抵抗効果の温度依存性を比較した実測データである。Sn をドープすることで温度依存性がアンドープよりも少ないとわかる。また、低温では、Sn ド

の関係が成立立つ。

高磁界におけるこのような磁気抵抗効果を利用するなど磁束密度の微小な変化をきわめて高感度検出できる。適当な大きさのハイアス磁界を、永久磁石等で磁気抵抗素子に、あらかじめ加えることで、高磁界における磁気抵抗効果を利用することができる。ハイアス磁界下では、磁気抵抗素子の抵抗変化は磁束密度の 2 乗 ($\mu_H \cdot B$)² に比例する。抵抗変化率を $\Delta R/R_0$ とすると、 $\Delta R/R_0 = (R_0 - R_B)/R_0$ であり、 R_B は磁界中での抵抗、 R_0 は磁界がないときの抵抗値である。そして、低磁界では、

$$\Delta R/R_0 \propto (\mu_H \cdot B)^2$$

(1) 低磁界での磁気抵抗効果 (磁束密度の 2 乗に比例する抵抗変化)

磁束密度による抵抗率や抵抗率の変化は半導体の電子移動度 μ_H と磁束密度 B との積 $\mu_H \cdot B$ の関数であり、磁界が小さい場合は、半導体の電子移動度と磁束密度の積の 2 乗 ($\mu_H \cdot B$)² に比例する。抵抗変化率を $\Delta R/R_0$ とすると、 $\Delta R/R_0 = (R_0 - R_B)/R_0$ であり、 R_B は磁界中での抵抗、 R_0 は磁界がないときの抵抗値である。そして、低磁界では、

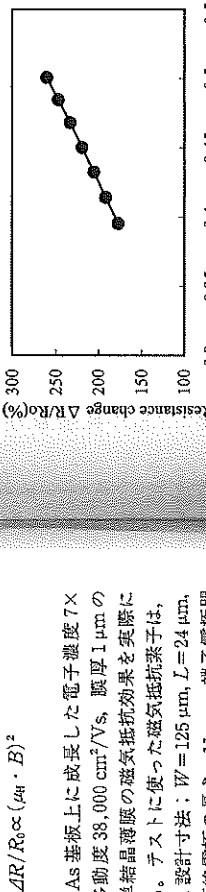
$$\Delta R/R_0 \propto (\mu_H \cdot B)^2$$


図 5.33 薄膜電極(0.4~0.5 T)の InSb 単結晶薄膜の磁気抵抗効果(テスト素子は図 5.32 同じ)。
Y 軸: 薄膜抵抗率(%)
X 軸: 磁束密度(T)

(3) 磁気抵抗素子材料と磁気抵抗効果の温度依存性

磁気抵抗効果は、一般に、磁束密度の大きさによつて変わるものである。しかし、材料によっても大きな違いがある。ホーリー効果と同様に磁気抵抗効果は電子移動度の大きさによって半導体で大きい。このため、電子移動度の大きい InSb 単結晶の薄板や真空蒸着薄膜、GaAs 基板上に成長した InSb の単結晶薄膜など、電子移動度の大きい材料が磁気抵抗素子として好適である。特に、電子移動度の大きい薄膜は、実用的な磁気抵抗素子を製作する上で好適である。薄膜は、素子化するときの高精細加工が容易なことや高抵抗素子が製作でき、磁界候出時のセンサ出力を大きくとれる、消費電力が少ない等のメリットがある。古くから磁気抵抗素子材料とし

く、大きな磁気抵抗効果を示す。Sn をドープした InSb 単結晶薄膜は、抵抗値の温度依存性が小さく、実用上のメモリチック構造である。磁気センサ部は短絡電極を形成した構造である。磁気抵抗素子が製作できる。磁束密度による抵抗値の変化は、磁束密度の変化に対して抵抗値が比例的(線形)に変化する。このように、磁気抵抗素子に加える磁界的磁束密度 B 、または、 $(\mu_H \cdot B)$ の値の大きいところでは磁気抵抗素子の抵抗 $R(B) = R_0 + \Delta R(B)$ に比例して増加する。すなわち、

$$\Delta R/R_0 \propto \mu_H \cdot B$$

磁気抵抗素子は抵抗値が磁界によって変化する現象を利用し、磁界を検出する素子である。本質的に 2 端子素子である。半導体に流れる電流に垂直に磁界を加えることと半導体の電気抵抗が増加する現象が見られ磁気抵抗効果と呼ばれている。

磁気抵抗効果は、ホール効果と同じく、電流を遮断する荷電粒子に及ぼすローレンツ力による効果であり、見かけ上電流の流れ方向の抵抗変化として観測される。

抵抗変化には、抵抗値の変化と抵抗率の変化がある。抵抗率の正、負によらず同じ大きさである。ホール効率 B^2 の関数で、それほど磁界の大きさが大きくなれば、磁束密度 B の 2 乗に比例する。ホール効果と同一起源のローレンツ力が原因で生じる効果である。そこで、電子移動度の大きい材料では、磁気抵抗効果も大きい。電子移動度 μ_H と磁束密度 B の積は、無次元量であり、これらの結果を考慮すると、磁気抵抗効果による抵抗変化量は、 $\mu_H \cdot B$ の 2 乗に比例する。¹⁸⁾

ところで、磁気抵抗効果は一體に、半導体から作られた柔子の抵抗値が増加する効果と柔子を形成する半導体の抵抗率が増加する磁気抵抗効果がある。柔子の抵抗値の磁界による変化は抵抗率の変化を含むが、柔子の形状にも依存して変化率は違ってくる。工学的応用で重要なものはこの抵抗値の形状による変化である。磁気抵抗素子、または、磁気抵抗素子は、ホール柔子と同じく磁界の検出ができるので非接触センサなどへの応用が可能である。図 5.31 には InSb 薄膜の磁気抵抗素子の基本的な構造を示した。¹⁸⁾

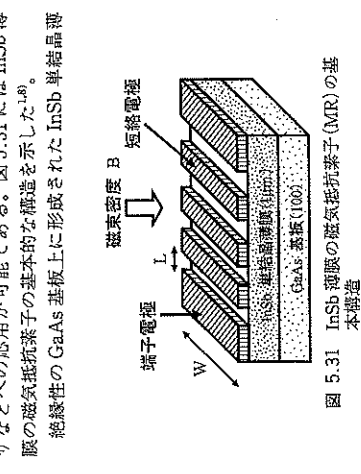


図 5.31 InSb 面の磁気抵抗素子(MR)の基板構造

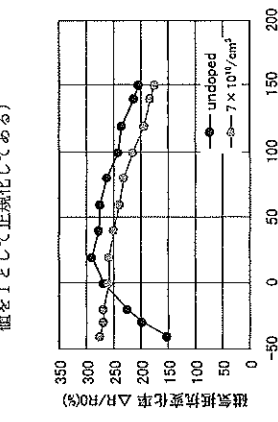


図 5.34 Sn ドープした InSb 単結晶薄膜の磁気抵抗効果(20°C)での抵抗値の変化化である。

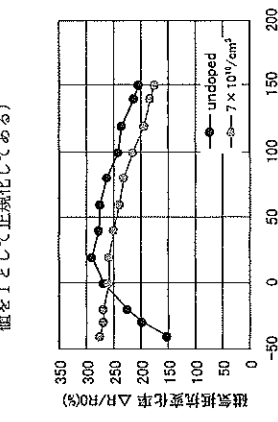


図 5.35 InSb 単結晶薄膜の磁気抵抗効果の温度依存性と Sn ドープ効果(実測)

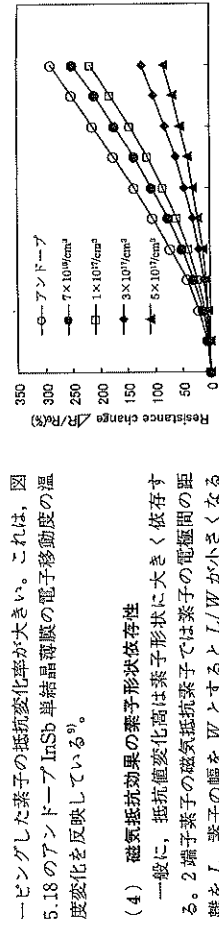


図 5.38 磁気抵抗効果の形状 (L/W) の変化による効果 (電子密度: 1.0 μm , L/W: 0.1~0.4)

実用的な磁気抵抗素子では大きな形状効果を得る目的で、磁界がないときに電子が走る方向に對して電子が斜めに走る角度の目安で、 L/B が大きくなるほど B は大きくなる。2 傘子素子の磁気抵抗素子では電子の電極間の距離を L 、電子の幅を W とするとき L/W が小さくなるにつれて磁気抵抗効果による抵抗変化が大きくなる。これは形状磁気抵抗効果と呼ばれ、磁界のローレンツ力により電流を運ぶ電子が半導体内を斜めに走行し、結果として電子の走行距離が長くなり抵抗の増加を生じる効果である ($\tan \theta = \mu_B \cdot B$ で決まる) がホール角で、磁界がないときに電子が走る方向に對して電子が斜めに走る角度の目安で、 L/B が大きいほど B は大きくなる。実用的な磁気抵抗素子には電子が走る方向に對して電子が斜めに走る角度の目安で、 L/B が大きいほどこの効果を有效地に生かせるので、図 5.36 には、厚さ 1.0 μm の InSb 単結晶薄膜で測定した磁気抵抗効果における形狀効果、すなわち、 L/W を小さく設計する。このショートバー電極を用いたときの磁気抵抗素子では、大きな形狀効果を利用して正弦波の電圧出力として取り出し、電車が取り付けられた車の回転角や角速度を検出する磁気抵抗センサの例である。通常は、図 5.32 からもわかるように、バイアス磁界は、応用する場合の条件によるが、0.2~0.5 T 程度の範囲で設定されることが多い。永久磁石を用いるのが簡便である。これも応用上の条件からの選択によればよい。次に述べる、磁気抵抗素子の回転検出応用では、バイアス磁界を MR に加える磁石 (バイスマグネット) は希土類系の永久磁石が使われている。

(4) 磁気抵抗効果の電子形狀依存性

一般に、抵抗変化率は素子形狀に大きく依存する。2 傘子素子の磁気抵抗素子では電子の電極間の距離を L 、電子の幅を W とするとき L/W が小さくなるにつれて磁気抵抗効果による抵抗変化が大きくなる。これは形状磁気抵抗効果と呼ばれ、磁界のローレンツ力により電流を運ぶ電子が半導体内を斜めに走行し、結果として電子の走行距離が長くなり抵抗の増加を生じる効果である ($\tan \theta = \mu_B \cdot B$ で決まる) がホール角で、磁界がないときに電子が走る方向に對して電子が斜めに走る角度の目安で、 L/B が大きいほど B は大きくなる。実用的な磁気抵抗素子では、電子が走る方向に對して電子が斜めに走る角度の目安で、 L/B が大きいほどこの効果を有效地に生かせるので、図 5.36 には、厚さ 1.0 μm の InSb 単結晶薄膜で測定した磁気抵抗効果における形狀効果、すなわち、 L/W を小さく設計する。このショートバー電極を用いたときの磁気抵抗素子では、大きな形狀効果を示した。この L/W の違いによる形狀効果は、工学的に用いきわめて重要な現象である。一方、形狀によらない磁気抵抗効果は物性的な原因で生じる。形状磁気抵抗効果に比較して InSb など化合物半導体薄膜では小さい。実際の素子では両者の寄与は磁気抵抗効果による。当然であるが、アンドープの InSb 単結晶薄膜の磁気抵抗効果が室温では最も大きい。

(5) 実用磁気抵抗素子の構造

磁気抵抗素子は、実際の応用では、後に述べる回転検出用のセンサが実用化されている。単体で使用されることがあるが、多くの場合、磁気抵抗素子はセンサ出力を電圧で取り出すため、複数の素子を抵抗アリッジを組んで用いられる。この場合は、1 チップ上に 2 個、または、4 個の磁気抵抗素子が製作され、チップ上でアリッジ接続される。図 5.39(a) は、4 個の磁気抵抗アリッジ接続された回路図である。

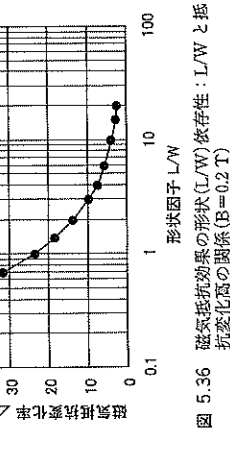
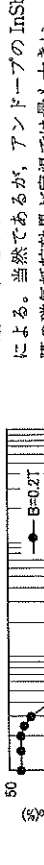


図 5.36 路径抵抗効果の形狀 (L/W) の依存性: L/W と抵抗変化率の関係 ($B=0.2 \text{ T}$)

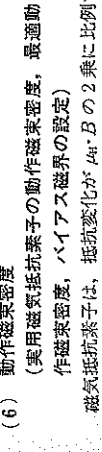
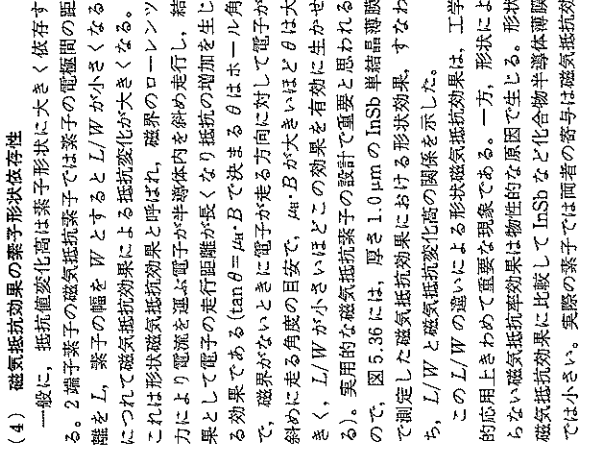


図 5.37 磁気抵抗効果の形狀 (L/W) の依存性: 磁気抵抗率の関係

5.4.2 InSb 単結晶薄膜磁気抵抗素子の応用
5.4.3 半導体薄膜磁気抵抗センサ構成で製作された、回転検出用に製作された例である。¹⁰⁾

（4）磁気抵抗効果の電子形狀依存性
一般的に、抵抗変化率は素子形狀に大きく依存する。2 傘子素子の磁気抵抗素子では電子の電極間の距離を L 、電子の幅を W とするとき L/W が小さくなるにつれて磁気抵抗効果による抵抗変化が大きくなる。これは形状磁気抵抗効果と呼ばれ、磁界のローレンツ力により電流を運ぶ電子が半導体内を斜めに走行し、結果として電子の走行距離が長くなり抵抗の増加を生じる効果である ($\tan \theta = \mu_B \cdot B$ で決まる) がホール角で、磁界がないときに電子が走る方向に對して電子が斜めに走る角度の目安で、 L/B が大きいほど B は大きくなる。実用的な磁気抵抗素子では大きな形狀効果を得る目的で、図 5.31 に示すように電子が走る方向に對して電子が斜めに走る角度の目安で、 L/B が大きいほどこの効果を有效地に生かせるので、図 5.32 には、厚さ 1.0 μm の InSb 単結晶薄膜で測定した磁気抵抗効果の例である。このショートバー電極を用いたときの磁気抵抗素子では、大きな形狀効果を示した。この L/W を小さく設計する。この場合は、磁気抵抗素子チップの大きさ、InSb 薄膜の厚さ、電極の形成精度、InSb 薄膜の厚さなどで若干の制約もある。通常は、 L/W の値は、0.2~0.5 T 程度で設計され、磁気抵抗効果の強度 (膜厚 1.0 μm , L/W : 2.6) を示す。この L/W の違いによる形狀効果は、工学的に用いきわめて重要な現象である。一方、形狀によらない磁気抵抗効果は物性的な原因で生じる。形状磁気抵抗効果に比較して InSb など化合物半導体薄膜では小さい。実際の素子では両者の寄与は磁気抵抗効果による。当然であるが、アンドープの InSb 単結晶薄膜の磁気抵抗効果が室温では最も大きい。

（5）実用磁気抵抗素子の構造
磁気抵抗素子は、実際の応用では、後に述べる回転検出用のセンサが実用化されている。単体で使用されることがあるが、多くの場合、磁気抵抗素子はセンサ出力を電圧で取り出すため、複数の素子を抵抗アリッジを組んで用いられる。この場合は、1 チップ上に 2 個、または、4 個の磁気抵抗素子が製作され、チップ上でアリッジ接続される。図 5.39(a) は、4 個の磁気抵抗アリッジ接続された回路図である。



（6）動作磁束密度
(実用磁気抵抗素子の動作磁束密度、最適動作磁束密度は、抵抗変化が $\mu_B \cdot B$ の 2 倍に比例する。)
（7）MR プリッジ
（8）MR プリッジ接続された回路図 (回転検出用に取り付けた後のギヤの凹凸に対応して変化する磁束密度を、磁気抵抗素子のプリッジにより検出し、正弦波として取り出し、回転角を高精度で検出する。)

（9）モジュールによって回転を検出する例である。回転する軸に取り付けられた歯車とバイアス磁石の間に生じる磁束密度変化を磁気抵抗素子のプリッジにより正弦波の電圧出力として取り出し、電車が取り付けられた車の回転角や角速度を高精度で検出する。この場合は、MR 素子による回転検出の構成例である。この回転検出の条件である。MR 素子による回転検出の範囲で設定されるが、もちろん、4 個の MR 素子でフルプリッジを組んで回転センサが構成される場合もある。最も簡単な例は、2 個の MR プリッジを組んである。この場合は、1 チップ上に 2 個の MR 素子があり、この 2 個の MR 素子が車の山と谷に対応したピッチを用いて回転センサ上で歯車の歯の山と谷に対応したピッチで配設されて回転センサを構成する方法などの選択がある。¹⁰⁾

（10）磁気抵抗素子は、このような回転検出用の磁気抵抗センサ子と同様磁気センサの写真である。小型のパッケージ素子は、検出用歯車の山と谷に対応して配置された 4 個の MR 素子がプリッジ接続されているチップを樹脂モールドしたものである。さらに、この 2 個の樹脂モールド MR を定めた間隔に、MR 素子がプリント基板上で歯車の歯の山と谷に対応する。当然であるが、個別チップとして製作された

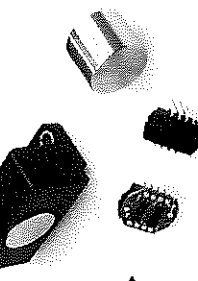


図 5.41 車の回転検出用の樹脂モールド磁気抵抗センサ子 (左下) の小型パッケージ素子とこの素子を 2 個組み合わせて製作された回転センサの写真

（11）磁気抵抗素子の応用による回転検出
磁気抵抗素子は、非接触ボテンシオ、非接触の位置検出、回転検出、紙幣検出、磁気抵抗センサ子と組み合って製作された回転センサの写真

図 5.41 車の回転検出用の樹脂モールド磁気抵抗センサ子 (左下) の小型パッケージ素子とこの素子を 2 個組み合わせて製作された回転センサの写真

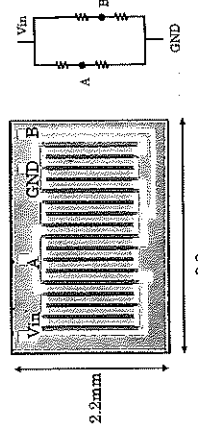


図 5.39 (a) 磁気抵抗効果の形狀 (L/W) の依存性: 磁気抵抗率の関係
図 5.39 (b) チップ中の MR プリッジ

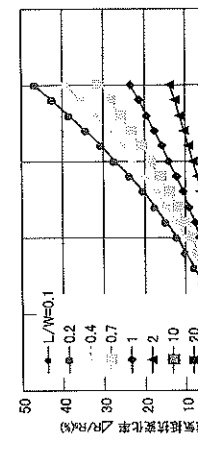


図 5.39 磁気抵抗効果の形狀 (L/W) の依存性: 磁気抵抗率の関係
図 5.39 (b) 磁気抵抗効果の形狀 (L/W) の依存性: 磁気抵抗率の関係

で配置したモールド前のモジュールは下例中央に示した。写真の上方のものは、このモジュールをステンレスの円筒ケースやプラスチックケースに内蔵し、回転センサとしたものである。さらに、右下方の大きな樹脂パッケージは、アルアリッジ接続の4個のMR素子チップが2個ペアで、パッケージされた回転検出センサモジュールである。このパッケージモジュールも金属円筒やプラスチックのケースに入れられ回転センサとなる。

(2) InSb 単結晶薄膜の磁気抵抗素子を使った回転センサの基本特性

Sn をドープした、厚さ 1.0 μm の InSb 単結晶薄膜の磁気抵抗素子を磁気センサ部として使った回転センサの特性を以下に示す。回転検出テストで用いた歯車車は、JIS 規格品である。歯の山-山(谷)の基本周期を $\lambda = m\pi$ で定義されるモジュール m で表示すると、 $m = 0.8$ の歯車である。図 5.42 は、磁気抵抗素子の回転センサからの出力電圧波形である。このテストで使用した回転センサにはフルアリッジ構成の図 5.39 のような磁気抵抗素子が使われており、90°位相のずれた、A 相および B 相の 2 出力が得られる構成になっている。歯車の先端と磁気抵抗素子の感磁面との距離(ギャップ/Gap)が 0.65 mm に設定されていときの波形が図 5.42 である。横軸は時間、縦軸は A 相、B 相の出力電圧である。出力電圧波形 1 周期に歯車 1 周期(隣接の山-山の距離)が対応しており、歯車の歯の回転に応じた波形が得られている。ここで、磁気抵抗素子の感磁面は、磁気抵抗素子のパッケージ面ではなく、InSb 単結晶薄膜面である。歯車の Gap は 0.65 mm で、500 mV 以上という大きな出力信号の振幅が得られている。さらに、B 相は、A 相に対して 90°位相差がある。

この実験で使用した回転センサでは、磁気抵抗素子の後ろに配線した磁石(磁気抵抗素子のパッケージ面と磁石表面との距離は 0.5 mm)で磁気抵抗素子に加わるバイアス磁界の磁束密度の変化は、Gap が 0.65 mm で 0.09 T である。この値は一般には素

子のバイアス磁石と歯車との間隔に依存する。また、このように、磁界がバイアスされた領域では、磁気抵抗素子の出力信号は正確に磁束密度変化に比例し、磁気抵抗素子の出力信号の波形は歪みの少ない正弦波が得られる。

回転センサの出力信号電圧は、歯車の先端と磁気抵抗素子の感磁面との距離(ギャップ)に大きく依存する。図 5.43 は、厚さ 1.0 μm、Sn ドープ InSb 単結晶薄膜磁気抵抗素子の回転センサ出力のギャップ依存性を示した。Gap = 0.65 mm で、500 mV 以上と大きな出力電圧振幅(ampplitude)は、正弦波形状の出力信号波形の最大と最小の差である。図 5.44 は Sn をドープした、厚さ 1.0 μm の InSb 単結晶薄膜磁気抵抗素子を磁気センサ部として使った回転センサの回転速度検出特性である。歯車の周波数は、回転する歯車の歯の山、谷に応じて得られる正弦波の周波数で、回転速度に比例した量である。縦軸は、回転センサから得られる出力電圧の振幅である。磁気抵抗素子の感磁面とは、磁気抵抗素子のパッケージ面ではなく、InSb 単結晶薄膜面である。このテスト歯車では、(周波数) [Hz] = $64 \times$ (回転数) [rpm]/60 である。結果は、4 Hz ~ 6.1 kHz と極めて高い。

これまで出力電圧振幅は一定である。歯車を駆動するモータの回転数の制限で、周波数 6.1 kHz(テストで使用したモータ回転の上限 6,000 rpm)に対応した周波数までしか測定されていないが、それ以上は回転速度によって回転の検出は可能である。この例から、InSb 単結晶薄膜の MR を使う回転センサでは、回転速度にまったく依存しない出力電圧の振幅が得られることがわかる。

図 5.45 は、この磁気抵抗素子の回転センサの出力電圧の振幅の温度依存性である。出力電圧の振幅の温度変化が広い範囲で小さい(ほとんど変化しない)特徴がみえる。また、図 5.46 には、動作時のオフセット電圧である出力電圧の DC 成分(オフセット)を示す。また、図 5.47 は、動作時のオフセット電圧の平均電圧である出力電圧の DC 成分(オフセット)を示す。-20 ~ 140°C の温度範囲において、出力信号振幅および DC 成分とともにほとんど変化しないことがわかる。温度変化は +0.02 mV/C である。ちなみに、地磁気は 30 μT の大きさである。Sn ドープの磁気抵抗素子は、従来の素子では予想できない安定した特性である。特に、温度ドリフトのきわめて少ないと出力信号の温度依存性がきわめて少なく、従来のアンドープの InSb 単結晶を用了した磁気抵抗素子では実現できなかつた特性である。これらの測定結果は、超薄膜度の角速度制御に使われる磁気エンコーダや回転センサ等の動力制御に限る応用にきわめて有効な

特性である。

5.4.3 磁気抵抗素子による微弱磁界検出応用

磁気抵抗素子は 1 μT レベルの磁束密度検出も可能である。種分型の磁気センサの特徴が最もよく現れる例として、磁気インクにより印刷したバーチャンの検出が可能である。これまでは、薄膜の InSb 磁気抵抗素子もまた安価で零点まで安定して回転の検出は可能である。この例から、InSb 単結晶薄膜の MR を使う回転センサでは、回転速度にまったく依存しない出力電圧の振幅が得られることがわかる。

図 5.48 は、この磁気抵抗素子の回転センサの出力電圧の振幅の温度依存性である。出力電圧の振幅の温度変化が広い範囲で大きい(ほとんど変化しない)特徴があり、磁気インクで印刷した 2 種のテストパターンをスキャンして計測した例である。センサ信号は 10,000 倍増幅して表示している。振幅は 1.5 mm、ピッチのバーチャンは 1.5 mm である。ちなみに、地磁気は 30 μT の大きさである。Sn ドープの磁気抵抗素子は予想できない安定した特性である。特に、温度ドリフトのきわめて少ないと出力信号の温度依存性がきわめて少なく、従来のアンドープの InSb 単結晶を用了した磁気抵抗素子では実現できなかつた特性である。これらの測定結果は、超薄膜度の角速度制御に使われる磁気エンコーダや回転センサ等の動力制御に限る応用にきわめて有効な特性である。

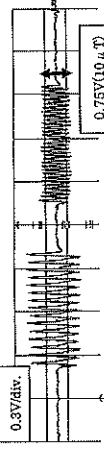


図 5.48 紙幣の磁気バーチャンを Sn ドープ InSb 単結晶薄膜磁気抵抗素子で検出した信号例

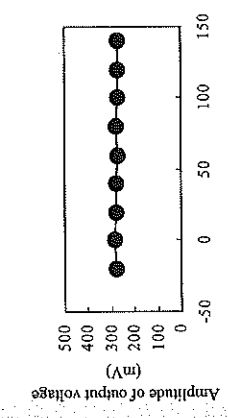


図 5.49 厚さ 1.0 μm、Sn ドープ InSb 単結晶薄膜の磁気抵抗素子回転センサの出力電圧の温度依存性(歯車(m = 0.8)の JIS 規格品、ギャップ 0.65 mm)

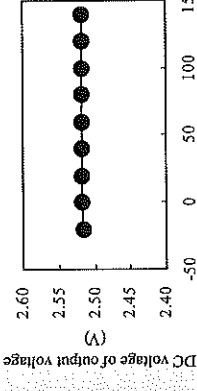


図 5.50 厚さ 1.0 μm、Sn ドープ InSb 単結晶薄膜の磁気抵抗素子回転センサの DC 成分(オフセット)の温度依存性(歯車(m = 0.8)の JIS 規格品)

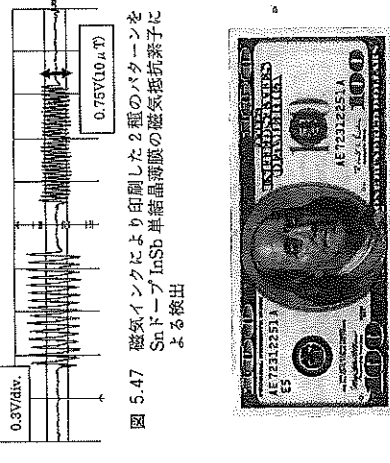


図 5.51 磁気インクにより印刷した 2 種のパターンを用いて検出した信号例

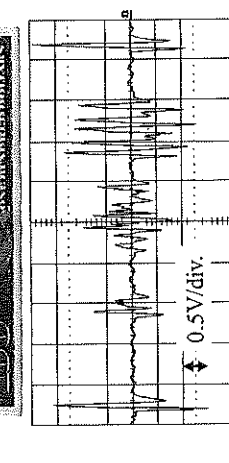


図 5.52 紙幣の磁気バーチャンを Sn ドープ InSb 単結晶薄膜磁気抵抗素子で検出した信号例

5.5 GMR(巨大磁気抵抗効果)磁気センサ

InSb 単結晶薄膜磁気抵抗素子は、このような微弱な磁束密度であっても安定して検出できる。また、図 5.48 は、紙幣の磁気バーンを検出した例で、磁気抵抗素子の微弱な磁束密度検出の大さきな可能性を示す例である。このように、薄膜の Sn ドープ InSb 烙膜磁気抵抗素子は微弱磁界の検出でも有効である。特に、Sn ドープによって抵抗の温度依存性が低減されたことで、温度変化の影響を受けない測定ができる。

5.4.4 まとめ

Sn ドープ InSb 単結晶薄膜は分子線エピタキシシー法で製作される。この薄膜の磁気抵抗効果を利用して、最近開発された磁気抵抗素子の基礎的な特性とこの磁気抵抗素子を応用する回転センサについて述べた。薄膜の磁気抵抗素子は、量産性、高精度度の境界検出が温度によらずにできる。この特徴は、回転検出の例について本書では紹介したが、微弱磁界の検出を必要とする磁気インクによる印刷バーンの非接触検出、非接触ボタンシオ、微小リニア位置の変化の検出への応用などこれまであまり普及してなかつた磁気センサ応用もこれからは可能である。高精度度で磁束密度を検出できる特性は、微弱な磁気抵抗素子の検出、高精度度の磁気エンコーダなど多くの新たな応用の開発も期待できる。

- 参考文献**
- 1) 桑崎一郎: InSb 単結晶薄膜の物理と磁気センサ応用、電気学会論文誌 E, Vol. 123, NO. 3, p. 69, 2003.
 - 2) A. Okamoto, A. Ashihara, and I. Shibusaki: Proceedings of 10th International Conference on Solid-State Sensors and Actuators, Sendai, p. 514, 1999.
 - 3) Atsushi Okamoto, Takeshi Yoshioka, Shogo Muramatsu, Ichiro Shibusaki: *Journal of crystal growth*, Vol. 201/201, p. 765, 1999.
 - 4) Atsushi Okamoto, Arata Ashihara, Takayuki Akaogi and Ichiro Shibusaki: *Journal of Crystal Growth*, Vol. 227/228, p. 619, 2001.
 - 5) A. Okamoto, A. Ashihara, K. Nishimura, H. Goto, K. Saotome, and I. Shibusaki: *Technical Digest of Sensor Symposium*, p. 239, 2001.
 - 6) 片岡照典: 磁気变换素子、日刊工業新聞社, 1972.
 - 7) H. Weiss: 検電変換素子の構造と応用、片岡照典著、コロナ社, 1974.
 - 8) 関本政次: 楽鶴一郎: 応用物理, 67, p. 193, 2000.
 - 9) K. Nishimura, H. Goto, H. Gekka, A. Okamoto, I. Shibusaki: *Proceedings of the 20th Sensors Symposium* 2003, pp. 161, *Proceedings of the 20th Sensor Symposium*, p. 161, 2003.
 - 10) 柴崎一郎、西村和治、後藤伝将、関本政次: 電気学会論文誌 E, vol. 126, No. 8, 2006.
 - 11) A. Okamoto, K. Nishimura, H. Goto, K. Yoshida and I. Shibusaki: *IEEJ Trans. SM*, Vol. 127, No. 8, p. 371, 2007.

5.5 GMR(巨大磁気抵抗効果)磁気センサ

5.5.1 GMR(巨大磁気抵抗効果)

(1) 強磁性人工格子多層膜内の磁化変化
強磁性とは格子間レベルで原子のスピニをそろえようとする交換力である。したがって、強磁性薄膜を格子レベルで近接させると磁性薄膜の交換力が作用する。

2つの強磁性体間に働く交換結合磁界 H_{ex} は、距離により強磁性的から反強磁性的にスパイラル回転しながら変化する(図 5.50)。GMR はこの強磁性的性質を利用して新しい特性をもつ多層膜を開発しようとする試みから生まれた^{13,14}。

磁性膜の磁化を交互に反平行になるように積層したものを一般的に多層膜 GMR と称する。一对の強磁性層のうち、一方の内部磁化を反強磁性膜で固定(ピン止め)した構造も提案されている。これをスピンバルブル GMR(SV-GMR)と呼んでいる(図 5.52)¹⁴。

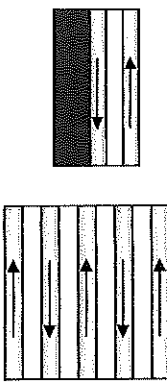
(4) その他の GMR
人工格子以外にも GMR となる材料がいくつかある。その代表的なものはグラニュラー GMR である¹²。グラニュラー膜は、非強磁性体(多くは Ag, Cu, Au などの貴金属およびその合金)の中に Co, CoFe などの強磁性体粒子が分散した構造をもつ(図 5.53)。

分散磁性粒子は、ゼロ磁界で磁化方向は、ランダムである。しかし、外部磁界の印加により磁化が平行にそろうので抵抗が減少すると考えられている^{13,14}。

(2) 磁性多層膜の磁化方向と抵抗変化
等電圧の高い非磁性中間層を磁性薄膜ではさんだ人工格子膜において、中間層を通過する伝導電子は磁性薄膜表面で磁化スビンによる散乱を受ける(図 5.51)。上下の磁性膜の磁化が平行(spin-up)のときは伝導電子の散乱は小さく、磁性膜の磁化が反平行(spin-down)のときは大きくなる。この散乱の差による伝導電子の易動度の違いは抵抗値の変化として表れる¹⁰。

(3) 人工格子 GMR
人工格子の強磁性層間に層間交換結合(IEC: Inter-layer Exchange Coupling)が働くとき、強磁性体の磁化には内部磁界 H_{in} が作用する¹¹。人工格子磁性膜の抵抗値は、 H_{in} と外部磁界 H_{ext} のなす角 θ に依存し、式で表される。

(1) 多層膜 GMR センサ
多層膜 GMR は強磁性層と非磁性中間層を交互に積層し、非磁性中間層をゼロ磁界で反平行になるよう設置したものである。強磁性膜には、Co, Fe, Ni およびその合金が、また、非磁性中間層には Cu, Al, Ag などの貴金属とその合金が用いられる。Ni



多層膜 GMR
スピンバルブル GMR
スピンベル GMR & SV-GMR

多層膜 GMR
スピンベル GMR & SV-GMR

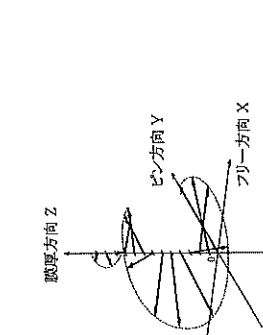


図 5.52 多層膜 GMR & SV-GMR

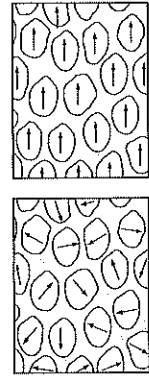


図 5.53 グラニューラー構造と外部磁界による磁化の変化
外部磁界 0
外部磁界印加

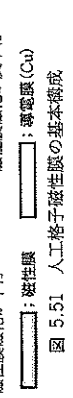


図 5.54 人口格子 GMR 磁気センサ

現在、GMR センサとして実用化が進められているのは、主に多層膜 GMR および、スピンバルブル GMR である。以下、この 2 つについて述べる。

(1) 多層膜 GMR センサ
多層膜 GMR は強磁性層と非磁性中間層を交互に積層し、非磁性中間層をゼロ磁界で反平行になるよう設置したものである。強磁性膜には、Co, Fe, Ni およびその合金が、また、非磁性中間層には Cu,

MR: MR 比(磁気抵抗変化率), θ : 中間層をはさむ磁化の MR 比(磁気抵抗変化率), ρ_0 : ゼロ磁界の抵抗, ρ :

図 5.49 GMR の薄膜ヘッドへの応用

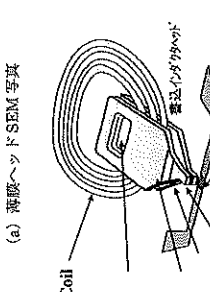


図 5.49 GMR の薄膜ヘッドへの応用

(2) 人口格子 GMR 磁気センサ

強磁性人工格子多層膜内の磁化変化

強磁性とは格子間レベルで原子のスピニをそろえようとする交換力である。したがって、強磁性薄膜を格子レベルで近接させると磁性薄膜の交換力が作用する。

2つの強磁性体間に働く交換結合磁界 H_{ex} は、距離により強磁性的から反強磁性的にスパイラル回転しながら変化する(図 5.50)。GMR はこの強磁性的性質を利用して新しい特性をもつ多層膜を開発しようとする試みから生まれた^{13,14}。

磁性膜の磁化を交互に反平行になるように積層したものを一般的に多層膜 GMR と称する。一对の強磁性層のうち、一方の内部磁化を反強磁性膜で固定(ピン止め)した構造も提案されている。これをスピンバルブル GMR(SV-GMR)と呼んでいる(図 5.52)¹⁴。

(4) その他の GMR
人工格子以外にも GMR となる材料がいくつかある。その代表的なものはグラニュラー GMR である¹²。グラニュラー膜は、非強磁性体(多くは Ag, Cu, Au などの貴金属およびその合金)の中に Co, CoFe など

の強磁性体粒子が分散した構造をもつ(図 5.53)。

分散磁性粒子は、ゼロ磁界で磁化方向は、ランダムである。しかし、外部磁界の印加により磁化が平行にそろうので抵抗が減少すると考えられている^{13,14}。

(2) 磁性多層膜の磁化方向と抵抗変化
等電圧の高い非磁性中間層を磁性薄膜ではさんだ人工格子膜において、中間層を通過する伝導電子は磁性薄膜表面で磁化スビンによる散乱を受ける(図 5.51)。上下の磁性膜の磁化が平行(spin-up)のときは伝導電子の散乱は小さく、磁性膜の磁化が反平行(spin-down)のときは大きくなる。この散乱の差による伝導電子の易動度の違いは抵抗値の変化として表れる¹⁰。

(3) 人口格子 GMR
人工格子の強磁性層間に層間交換結合(IEC: Inter-layer Exchange Coupling)が働くとき、強磁性体の磁化には内部磁界 H_{in} が作用する¹¹。人工格子磁性膜の抵抗値は、 H_{in} と外部磁界 H_{ext} のなす角 θ に依存し、式で表される。

(1) 多層膜 GMR センサ
多層膜 GMR は強磁性層と非磁性中間層を交互に積層し、非磁性中間層をゼロ磁界で反平行になるよう設置したものである。強磁性膜には、Co, Fe, Ni およびその合金が、また、非磁性中間層には Cu,

MR: MR 比(磁気抵抗変化率), θ : 中間層をはさむ磁化の MR 比(磁気抵抗変化率), ρ_0 : ゼロ磁界の抵抗, ρ :

図 5.51 人口格子 GMR 磁気センサ

強磁性人工格子多層膜内の磁化変化

強磁性とは格子間レベルで原子のスピニをそろえようとする交換力である。したがって、強磁性薄膜を格子レベルで近接させると磁性薄膜の交換力が作用する。

2つの強磁性体間に働く交換結合磁界 H_{ex} は、距離により強磁性的から反強磁性的にスパイラル回転しながら変化する(図 5.50)。GMR はこの強磁性的性質を利用して新しい特性をもつ多層膜を開発しようとする試みから生まれた^{13,14}。

磁性膜の磁化を交互に反平行になるように積層したものを一般的に多層膜 GMR と称する。一对の強磁性層のうち、一方の内部磁化を反強磁性膜で固定(ピン止め)した構造も提案されている。これをスピンバルブル GMR(SV-GMR)と呼んでいる(図 5.52)¹⁴。

(4) その他の GMR
人工格子以外にも GMR となる材料がいくつかある。その代表的なものはグラニュラー GMR である¹²。グラニュラー膜は、非強磁性体(多くは Ag, Cu, Au などの貴金属およびその合金)の中に Co, CoFe など

の強磁性体粒子が分散した構造をもつ(図 5.53)。

分散磁性粒子は、ゼロ磁界で磁化方向は、ランダムである。しかし、外部磁界の印加により磁化が平行にそろうので抵抗が減少すると考えられている^{13,14}。

(2) 磁性多層膜の磁化方向と抵抗変化
等電圧の高い非磁性中間層を磁性薄膜ではさんだ人工格子膜において、中間層を通過する伝導電子は磁性薄膜表面で磁化スビンによる散乱を受ける(図 5.51)。上下の磁性膜の磁化が平行(spin-up)のときは伝導電子の散乱は小さく、磁性膜の磁化が反平行(spin-down)のときは大きくなる。この散乱の差による伝導電子の易動度の違いは抵抗値の変化として表れる¹⁰。

(3) 人口格子 GMR
人工格子の強磁性層間に層間交換結合(IEC: Inter-layer Exchange Coupling)が働くとき、強磁性体の磁化には内部磁界 H_{in} が作用する¹¹。人工格子磁性膜の抵抗値は、 H_{in} と外部磁界 H_{ext} のなす角 θ に依存し、式で表される。

(1) 多層膜 GMR センサ
多層膜 GMR は強磁性層と非磁性中間層を交互に積層し、非磁性中間層をゼロ磁界で反平行になるよう設置したものである。強磁性膜には、Co, Fe, Ni およびその合金が、また、非磁性中間層には Cu,

MR: MR 比(磁気抵抗変化率), θ : 中間層をはさむ磁化の MR 比(磁気抵抗変化率), ρ_0 : ゼロ磁界の抵抗, ρ :

図 5.52 人口格子 GMR 磁気センサ

強磁性人工格子多層膜内の磁化変化

強磁性とは格子間レベルで原子のスピニをそろえようとする交換力である。したがって、強磁性薄膜を格子レベルで近接させると磁性薄膜の交換力が作用する。

2つの強磁性体間に働く交換結合磁界 H_{ex} は、距離により強磁性的から反強磁性的にスパイラル回転しながら変化する(図 5.50)。GMR はこの強磁性的性質を利用して新しい特性をもつ多層膜を開発しようとする試みから生まれた^{13,14}。

磁性膜の磁化を交互に反平行になるように積層したものを一般的に多層膜 GMR と称する。一对の強磁性層のうち、一方の内部磁化を反強磁性膜で固定(ピン止め)した構造も提案されている。これをスピンバルブル GMR(SV-GMR)と呼んでいる(図 5.52)¹⁴。

(4) その他の GMR
人工格子以外にも GMR となる材料がいくつかある。その代表的なものはグラニュラー GMR である¹²。グラニュラー膜は、非強磁性体(多くは Ag, Cu, Au などの貴金属およびその合金)の中に Co, CoFe など

の強磁性体粒子が分散した構造をもつ(図 5.53)。

分散磁性粒子は、ゼロ磁界で磁化方向は、ランダムである。しかし、外部磁界の印加により磁化が平行にそろうので抵抗が減少すると考えられている^{13,14}。

(2) 磁性多層膜の磁化方向と抵抗変化
等電圧の高い非磁性中間層を磁性薄膜ではさんだ人工格子膜において、中間層を通過する伝導電子は磁性薄膜表面で磁化スビンによる散乱を受ける(図 5.51)。上下の磁性膜の磁化が平行(spin-up)のときは伝導電子の散乱は小さく、磁性膜の磁化が反平行(spin-down)のときは大きくなる。この散乱の差による伝導電子の易動度の違いは抵抗値の変化として表れる¹⁰。

(3) 人口格子 GMR
人工格子の強磁性層間に層間交換結合(IEC: Inter-layer Exchange Coupling)が働くとき、強磁性体の磁化には内部磁界 H_{in} が作用する¹¹。人工格子磁性膜の抵抗値は、 H_{in} と外部磁界 H_{ext} のなす角 θ に依存し、式で表される。

(1) 多層膜 GMR センサ
多層膜 GMR は強磁性層と非磁性中間層を交互に積層し、非磁性中間層をゼロ磁界で反平行になるよう設置したものである。強磁性膜には、Co, Fe, Ni およびその合金が、また、非磁性中間層には Cu,

MR: MR 比(磁気抵抗変化率), θ : 中間層をはさむ磁化の MR 比(磁気抵抗変化率), ρ_0 : ゼロ磁界の抵抗, ρ :

図 5.53 グラニューラー構造と外部磁界による磁化の変化
外部磁界 0
外部磁界印加

外部磁界による磁化の変化

外部磁界による磁化の変化

外部磁界による磁化の変化

外部磁界による磁化の変化

外部磁界による磁化の変化

外部磁界による磁化の変化

外部磁界による磁化の変化

外部磁界による磁化の変化

外部磁界による磁化の変化

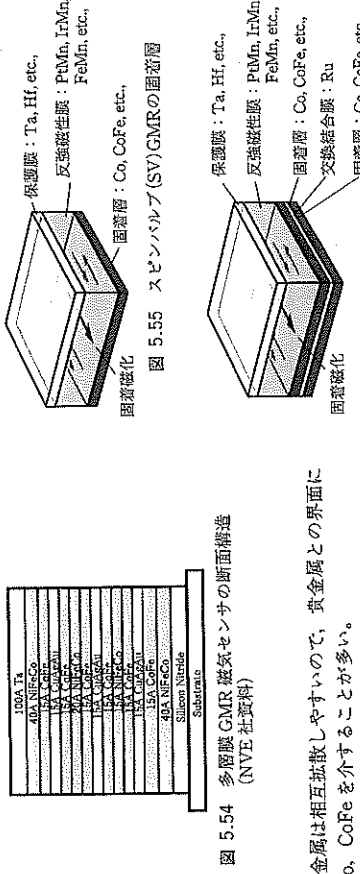


図 5.54 多層膜 GMR 磁気センサの断面構造 (NVE 社資料)

と貴金属は相互拡散しやすいので、貴金属との界面には Co, CoFe を介することが多い。

多層膜 GMR では、外部磁界 H_{ext} がゼロのとき $\theta = 180^\circ$ (反平行: $\cos \theta = -1$) であり、外部磁界 H_{ext} が印加されると $\cos \theta$ は次のようになる。

$$\cos \theta = \frac{H_{\text{ext}}^2 - H_{\text{in}}^2}{H_{\text{ext}}^2 + H_{\text{in}}^2} \quad (2)$$

$$\frac{d \cos \theta}{d H_{\text{ext}}} = \frac{4 H_{\text{ext}} H_{\text{in}}^2}{H_{\text{ext}}^2 + H_{\text{in}}^2} \quad (3)$$

強磁性膜の保磁力 H_{c} 、異方性磁界 H_{an} などの実効磁界が作用するときは、 $H_{\text{ext}} = H_{\text{c}} + H_{\text{ext}} + H_{\text{an}}$ で置き換える。式 (3) から $H_{\text{ext}} + H_{\text{in}}$ が大きくなると、外部磁界 ($H_{\text{ext}} = 0$ から $H_{\text{ext}} = \infty$) による $\cos \theta$ の変化幅が小さくなる (MR が小さくなる)。このとき、 H_{in} が大きいほうが MR も大きくなる。しかし、強磁性膜も大きく異なる。実際の磁気センサでは、強磁性膜の保磁力 H_{c} とともに低下するので軟磁気特性を改善する必要がある。磁界検知用に用いられている多層膜 GMR センサの感度の悪化の一例を図 5.54 に示す¹⁵⁾。感度子端では強磁性膜が重要であり、Si₃N₄ 等の下地配向膜を作成してから、多層膜 GMR を形成する。強磁性層は、NiFeCo を CoFe ではなくこじんだ構造になっている。

NiFeCo は NiFe に比べて一軸異方性磁界 H_{an} が小さく、MR 比の低下を防ぐ。

Ta 保護膜を含む、3 層多層 GMR では、350 Å 程度の層厚になっている。多層間 GMR は、層数が多い、反平行や高々数 A の膜厚で制御するため、実用上は製造上の課題が多い^{16,17)}。

(3) 直交変化スピンバルブ (TSV)

一般に、スピニバルブ GMR の自由層は、ピッカ方向と直角の長手方向へ一軸異方性を付与する。これを直交変化スピンバルブ (TSV: Transverse Spin Valve) と呼んでいる (図 5.58)¹⁸⁾。

(4) スピニバルブ GMR 磁気センサ

スピニバルブ GMR は片側の強磁性膜が反強磁性膜でピッカ止めされている。これを固着層 (PMI) と呼ぶ (図 5.55)。反強磁性とは、磁化が逆向きで対になっている磁性膜であり、反強磁性体の一方の磁化が強磁性体の磁化と結合してピッカ止めする。

反強磁性化アーチルでの印加磁界は大きい (1 T 以

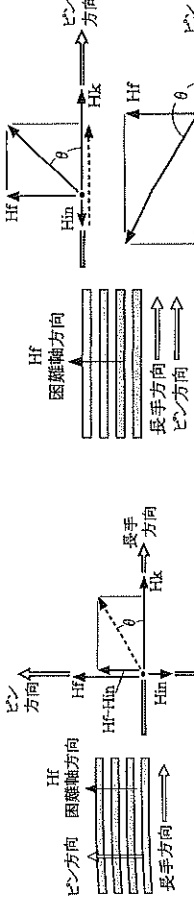


図 5.55 スピンバルブ (SV) GMR の固着層

図 5.56 シンセチック SV-GMR の固着層



図 5.56 シンセチック SV-GMR の固着層



図 5.57 GMR 磁気センサの自由層

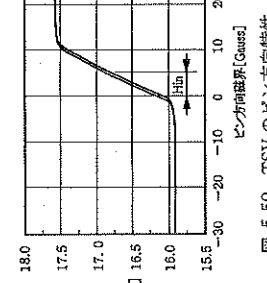


図 5.58 TSV の内部磁界特性

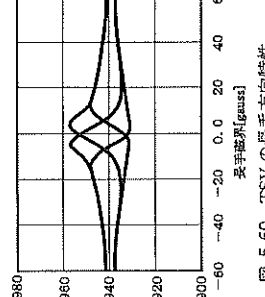


図 5.59 TSV のピッカ方向特性

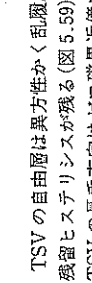


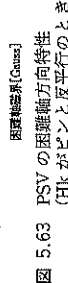
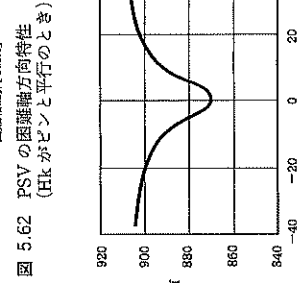
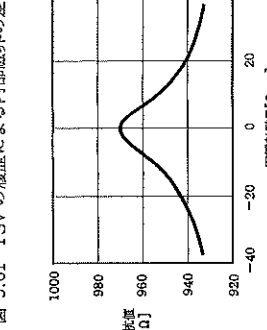
図 5.60 TSV の長手方向特性

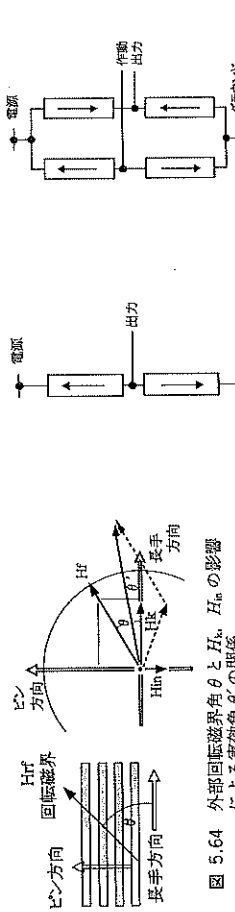
(5) スピニバルブ GMR の回転磁界特性
スピニバルブ GMR (TSV) に平行回転磁界を印加したとき、MR 回転特性は次のようになります。

(4) 平行スピニバルブ GMR のヒステリシスを改善する方法
スピニバルブ GMR のヒステリシス (Parallel Spin Valve) として平行スピニバルブ GMR のヒステリシスを改善する方法がある¹⁹⁾。平行スピニバルブでは、反強磁性、長手アーチルいずれも印加磁界は同一方向である (図 5.61)。PSV ではヒステリシスはほとんどなくなる。しかし、MR 比は TSV の半分になる。また、アーチルの方向がピッカ方向と直角となるとき、 $\theta = 90^\circ$ である。

(5) スピニバルブ GMR の回転磁界特性
スピニバルブ GMR (TSV) に平行回転磁界を印加したとき、MR 回転特性は次のようになります。

図 5.64 から $\sin \theta'$ は次式で示される。



図 5.64 外部回転磁界角 θ' と H_m, H_n の影響による実効角 θ' の関係

$$\sin \theta' = \frac{H_{rf} \sin \theta + H_m}{(H_{rf} \sin \theta + H_m)^2 + (H_r \sin \theta + H_n)^2}^{1/2} \quad (4)$$

$H_{rf} > H_m, H_n$ のときは、 $\sin \theta = \sin \theta'$ とみなせる。また、 $H_m, H_n > H_{rf}$ のときは、次式のようになる。

$$\sin \theta' = \frac{H_{rf} \sin \theta}{\sqrt{(H_{rf})^2 + (H_m)^2}} \quad (5)$$

これ以外のときは、実効回転磁界は(3)に示すようになり、波形歪を発生する。

図 5.65 に波形歪の例を示す。歪をさけるには、式(6), (7)を満足することが目安となる。

$$H < 20 H_n \quad (6)$$

$$H > 20 H_n \quad (7)$$

式(7)の場合、外部磁場で H_n が反転し、特性が変化することがある。このときは、長手方向へ定期的にパルス状の磁界をかける磁気リフレッシュが必要である。²⁰⁾ 通常、GMR センサ素子はプリッジ回路を組んで使用される(図 5.66)。

しかし、同一平面内の回転配置で反平行にしたアリッジ(図 5.67)では、素子の製造上の偏差の影響を受けやすい。とくに、 H_n が小さいとき、アリッジのオフセット偏差が問題となる。

(6) GMR 膜の抵抗と温度係数

近年の低抵抗型磁気センサは、低消費電力、小型化が求められている。多層膜 GMR、スピンドル GMR は $10 \sim 20 \Omega/\square$ のシート抵抗をもち、NiFe-AMR の $1 \sim 2 \Omega/\square$ より一桁大きい、磁気センサバーチンの小型化に有利である。

多層膜 GMR の抵抗温度係数(TCR)は、 ~ 1600 ppm である。²¹⁾ 一方、最近のヘドディスク用のスピンドル GMR の TCR は $900 \text{ ppm}/^\circ\text{C} \sim 1200 \text{ ppm}/^\circ\text{C}$ である。この差は TCR に影響のある自由層の膜厚が低下しているからである。

GMR センサでは磁気特性改良のため自由層を厚くすることが多く、TCR も若干大きくなる。

自由層の NiFe 強磁性層膜厚の増大とともに TCR も大きくなるが、 $1800 \text{ ppm}/^\circ\text{C}$ を上回る可能性はほとんどない。通常は AMR の半分と考えてよい。

GMR 膜の MR 变化率(L/R)は、 100°C の変化で $7 \sim 10\%$ 減少する。

能)は得られない。AMR の場合、飽和磁界 10 Oe で磁気分解能は 10^{-6} gauss レベルといわれている。²²⁾ GMR センサは、自由層の膜厚が小さいので磁気モーメント量($M \times V$: M は磁化モーメント、 V : 体積)が小さな磁気センサである。スピンドル GMR は、磁気モーメント、飽和磁界が小さく、磁気分解能を必要とする用途に最も適している。

5.5.3 GMR の磁気センサへの応用

(1) 磁界検出センサ

GMR を用いた一様磁界センサの測定範囲は、ホール素子、MI センサ等と重なる部分が多い。²³⁾

図 5.68 は、多層膜 GMR と磁界検出シールドを用いた、多層膜 GMR ブリッジセンサチップの一例である(NVE 社タログより)。

多層膜 GMR の耐熱性は非磁性中間膜(Cu)と強磁性膜の相互拡散による結合磁界の変化によるものであり、結晶配向およびその分散などによって変化すると考えられている。²⁴⁾ 実際、製膜前の基板状態(平滑度、製膜装置の初期真空度あるいは基板配向)、下地膜、GMR 素子が設けられている。これまでの AMR を用いた磁界検出素子は、 $15 \sim 20 \mu\text{m}$ の素子幅であったが、GMR では、バーン幅が $2 \mu\text{m}$ でもチップ中心に GMR 素子があり、素子面積が $1/100$ に縮小可能であると報告されている。²⁵⁾

GMR 素子は、小型で温度特性(TCR、耐熱性)がよいため、シリコン集積回路(IC)上に組み込むのに適している。²⁶⁾ すでに低磁界から高磁界までの各種センサユニットがつくられ、磁界検出用コイルやシールド吸束用磁気回路とともに集積化された例がある。²⁷⁾これまでにも、AMR 素子や Hall 素子をシリコン素子上に搭載する例はあるが、GMR 素子は感度と温床安定性に優位性をもっている。

磁界検出では、多層膜 GMR の応用が先行していたが、最近では、スピンドル GMR で小型アリッジ回路を形成した磁気検出チップも開発されている。²⁸⁾

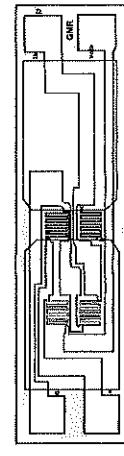


図 5.68 GMR ブリッジセンサチップ

(2) 位置検出センサ

スピンドル GMR は磁極軌跡和方向により 2 つの飽和と不安定な抵抗値をもつ。また、自由層の磁気モーメント量が小さいことで小さな磁化で飽和させることが容易である。図 5.69 にデジタル磁気エンコーダへのスピンドル GMR 素子の応用を示す。デジタル出力用バーチャルでは、素子幅が狭く、磁極反転部以外では素子は飽和しているので矩形波に近づく。スピンドル GMR を用いた磁気エンコーダでは、飽和デジタル出

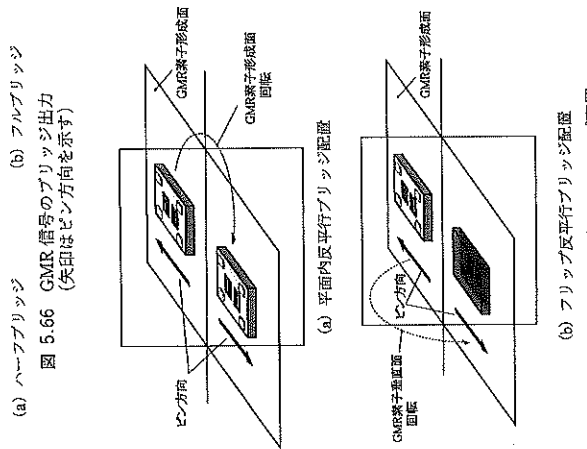


図 5.66 GMR 素子のブリッジ配置

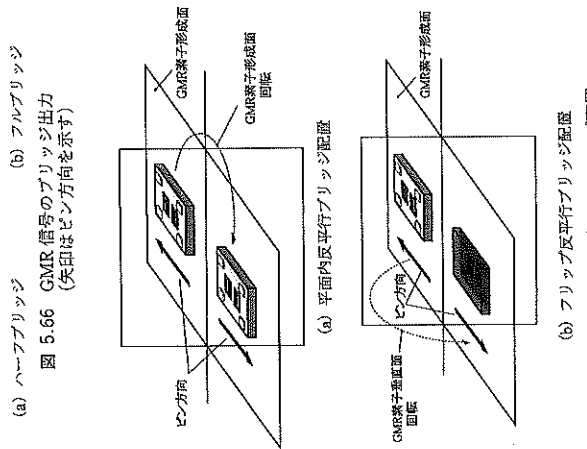


図 5.67 GMR 素子のアリッジ配置

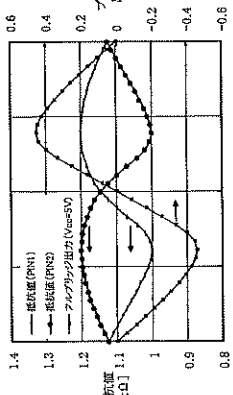
(3) GMR センサの磁界検出範囲

各種 GMR 素子の常温での磁界検出範囲を表 5.13 に示した。²⁹⁾ 多層膜 GMR、グラニュラー GMR の変化率は大きく、低温ではこれまで大きな GMR 比が報告されている。しかし、これらは飽和磁界も大きく、そのままでは磁界感度は高くない。

一様磁界中では素子を大きくするか、あるいは磁気取束手段を用いることにより磁界感度を上げることができる。しかし、測定対象の磁性体が小さくなると磁束も減少し、飽和磁界が大きい膜を用いた GMR センサの磁気感度は低下する。センサ自身の磁気モーメント、飽和磁界が小さくなければ、高い磁気感度(分解能)は得られない。

表 5.13 各種 GMR の磁気感度と特性比較

GMR 素子	GMR (%)	飽和磁界
多層膜 GMR	15 ~ 65	$80 \sim 5 \text{ kA/m}$
グラニュラー GMR	8 ~ 40	$150 \sim 10 \text{ kA/m}$
スピンドル GMR	8 ~ 16	$5 \sim 30 \text{ kA/m}$

図 5.65 スピンドル GMR 回転磁界角度特性
 $H_{rf}=30, H_n=10, H_m=10$; 単位 [Gauss]

- 8) D. H. Mosea, F. Perloff, A. Fert, P. A. Schroeder, W. P. Pratt Jr., and R. Laloez : *J. Magn. Magn. Mater.* **94**, L.1, 1991.
- 9) S. Partich, R. Bhadra and K. P. Rothe : *Phys. Rev. Lett.*, **66**, 2152, 1991.
- 10) A. Fert, Barthélémy, J. Childress, V. Cros, O. Durand, J. L. Duval, P. Etienne, J. M. George, R. Loloee, R. Morel, D. H. Mosea, L. G. Pereira, F. Petroff, A. Schuh, P. A. Schroeder and L. B. Steen : *J. Phys.* **46**, 1996.
- 11) 高堅鑑定、藤森啓安：『固体物理』Vol.28, 10, 637, 1996.
- 12) T. L. Hayward, K. R. Coffey, M. A. Parker, and J. K. Howard : *Science* **261**, 1021, 1993.
- 13) J. Mitchell and A. Berkowitz : *J. Appl. Phys.*, **75**, No. 12, 1994.
- 14) J. C. Mallinson : *Magneto-Resistive Heads—Fundamentals and Applications*, Academic Press, New York, 1996.
- 15) J. Daughton : *IEEE Trans. Magn.* **30**, No. 2, 1994.
- 16) W. Schwarzacher, K. Attenborough, A. Michel, G. Nabivony, and J.-P. Meier : *J. Mag. Mag. Materials* **165**, 23-29, 1993.
- 17) A. Tsankikatos, S. Gupta, and Y. K. Kim : *J. Appl. Phys.*, **79**, 8, 5446-5448, 1996.
- 18) D. E. Heim and S. Parkin : US Patent 5,465,186 (1995).
- 19) H. Fujisawa, Chun-Hong, and Koichi Nishioha : *IEEE Trans. Magn.* **32**, No. 5, 4603, 1996.
- 20) Philips Technical Publication 268 on Magnetoresistive Sensors.
- 21) J. Fraden : *Handbook of Modern Sensors*, Springer-Verlag, New York, 253, 1996.
- 22) J. Daughton and Y. Chen : *IEEE Trans. Magn.*, **29**, No. 6, 2705-2710, 1993.
- 23) J. Daughton : *IEEE Trans. Magn.* **30**, No. 2, 365-368, 1994.
- 24) J. Daughton, J. Brown, R. Beech, A. Polm and W. Kudie : *IEEE Trans. Mag.*, **30**, No. 6, 1994.
- 25) H. Zhang, R. Cochrane, Y. Hua, M. Mao, X. Bian and W. Muir : *J. Appl. Phys.* **75**, No. 10, 1994.
- 26) D. Donnet, K. Tsutsumi, P. de Haan, and J. C. Lodder : *J. Appl. Phys.* **75**, (8), 6243-6244, 1996.
- 27) K. Tsutsumi, P. de Haan, M. Eisenberg, D. Monsma, J. C. Lodder : *J. Magn. Magn. Materials*, **156**, 327-328, 1996.
- 28) L. Tang, D. E. Laughlin, S. Gangopadhyay : *J. Appl. Phys.*, **81**, (5), 4904-4907, 1997.
- 29) S. X. Wang, W. E. Bailey, and C. Stiglers : *IEEE Trans. Mag.*, **33**, No. 3, 2369-2374, 1997.
- 30) W. F. Egelhoff, P. J. Chen, R. D. K. Misra, T. Ha, Y. Kadmon, C. J. Powell, R. D. McMichael, C. L. Lin, M. Sivertsen and J. H. Judy : *J. Appl. Phys.*, **79**, (1), 282-210, 1996.
- 31) W. F. Egelhoff, P. J. Chen, C. J. Powell, M. D. Stiles, R. D. McMichael, J. H. Judy, K. Takano and A. E. Berkowitz : *J. Appl. Phys.*, **82**, 12, 6112-6151, 1997.
- 32) 電子材料ハンドブック；野村書店, 2006.
- 33) J. Lenz : *Proceeding of the IEEE*, Vol. 78, No. 6, 973-989 (1970) 2643 (2004).
- 34) J. Brown : *Sensors Magazine*, Sept., 1994.
- 35) D. Wang, M. Tondra, C. Nordman, J. M. Daughton, E. Lange, D. Brownell, L. Tran, and J. Schwartz : *J. Appl. Phys.*, **91**, 8405, 2002.
- 36) Z. Qian, D. Wang, J. M. Daughton, M. tondra, C. Nordman, A. Popple ; *IEEE Trans. Mag.*, **40**, 2643 (2004)
- 37) S. K. Burke, J. Non-Destruct. Test. Eval., vol. 7, 35-41 (1988).
- 38) T. Dogaru and T. Smith : *Non-Destruct. Test. Eval.*, vol. 16, 31-53, 2006.
- 39) C. H. Smith, R. W. Schneider, T. Dogaru, and S. T. Smith ;

れでいる。ラックスゲートセントセナサは伝統的な質問型高感度磁気センサであり、アボロ計画で月磁気の測定にも使用された。岩石残留磁気や地磁気などの科学計測に広く使用されている。しかし、原理的にヘッドの両端に強い反磁場が現れ、ヘッド両端部が「磁気的死んだ状態」にあるため、反磁界の影響の少ないヘッドから実用化されている。したがって、GMRはもとよりTMRヘッドも感度不足が懸念されている。さらに、携帯電話はパソコンと異なり、ユーザが手の中にそのままでも携帯し、電話だけでなくユーザの日常生活の判断支援デバイスとしての機能も付加されるようになり、GPSと組み合わせて、電子コンパスのように画面の地図内でのユーザの位置を示す機能も標準装備化されるようになつた。この意味で、MIセンサは、世界初の高感度マイクロ磁気センサである。本節では、MIセンサの原理とセンサ回路および携帯電話用電子コンバースを中心とする応用サンシング例を解説する。

5.6 MI センサの発見、原理

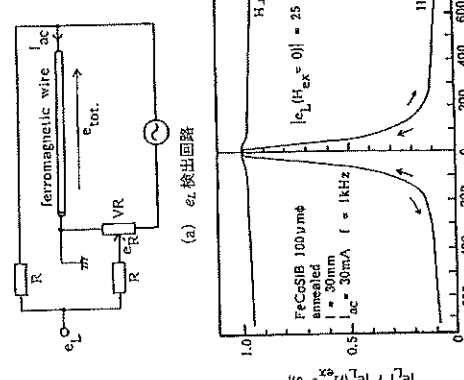
(1) 磁気インダクタンス効果型磁界センサ

1982年、名古屋大学の筆者の研究室では、高感度マイクロ磁気センサを創出すべく、その端緒を踏素するため零磁歪アルファスワードセナサが開発した。その結果、ワイヤの電気抵抗分による正弦波電圧波形の上に微小なバルス電圧波形を見出し、電気抵抗分電圧を相殺する抵抗アリッジ回路によってこのバルス電圧のみを検出する回路構成で、ワイヤの両端の電圧を測定して、ワイヤの電気抵抗分による正弦波電圧波形上の信号、ここでは地磁気の千分の1の磁界検出分解能が必要である。現在のノイバースシステムでは、この携帯電話とクルマ(高架道路交通システム、ITS)が両輪となつて進展している。このITSにおいてもクルマのユーザーである人間の感覚に整合する種々の高感度マイクロセンサが必要になっていく。ここでは、人間の体調を検出する各種のウェアラブルソナルセンサが必要となり、各感度マイクロセンサが必須となる。クルマ本体の知識能制御においても、高度ABS用車輪回転角センサが必要になり、高感度ロータリーエンコーダヘッドに高感度マイクロ磁気センサが必要である。このように、高感度社会のノベーションの急速な進展によって、現在MIセンサは矢張り製鋼業によつて量産化され、2005年にはボーダフォン(株)の携帯電話用に方位・モーションセンサチップとして量産(MIセンサ換算で2000万個生産)され、産学連携の成功例として脚光を浴びている(2006年5月ISTニュース)。

5.14は、磁気センサの性能比較表である。この表では非常に高い数値である。このワイヤを2 mmまで短くしても磁界検出感度(分解能約1 μe)が低下しないため、筆者はGMRセンサはマイクロ寸法であるため、磁気記録ヘッドやロータリーエンコーダー用磁気センサに使用されることは難しかった。この論文はISI社のScience Citation Index (SCI) に掲載され、引用回数調査の2007年9月調査で224回であり、工業系論文引用回数としては非常に高い数値である。高感度磁界センサ技術の面では、表5.14を参照すれば從来のラックスゲートセナサのヘッド長を10～20 mmから一拳に2 mm長まで短縮できることになり、この面では画期的であった。

しかし、ワイヤ長を1 mmに短くすると磁界検出感度で不感域が現れ、鐵管や油管での高感度マイクロ磁気センサにはならないことが判明した³⁰⁾。この原因は、アルファスワイヤを强力熱処理しても、ワイヤの中心部(core)の磁気異方性がワイヤ長さ方向とな

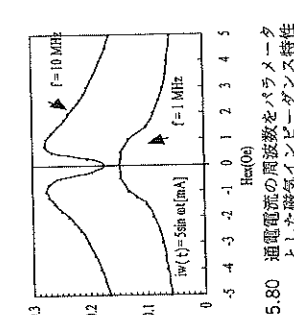
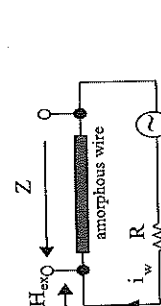
表 5.14 磁気センサの性能比較					
センサ	ヘッドの長さ	分解能	反応速度	消費電力	
ガールセンサ	10~100 μm	0.5 Ge±0.1 kOe	1 MHz	10 mW	
MRセンサ	10~100 μm	0.1 Ge±0.1 kOe	1 MHz	10 mW	
GMRセンサ	10~100 μm	0.01 Ge±0.1 kOe	1 MHz	10 mW	
ラックスゲート	10~20 mm	1.4 Ge±0.3 kOe	5 MHz	200 mW	
MIセンサ	0.5 mm	1.4 Ge±0.3 kOe	1 MHz	6 mW	
SIセンサ	1~2 mm	0.1 Ge±0.1 kOe	10 MHz	5 mW	



(2) 磁気インピーダンス効果高感度マイクロ磁界センサ
また、この Magneto-Inductive effect は磁気センサの技術的改良には挑戦したものではなく、かつ調整が必要なプリッジ回路が必要な面でも不十分である。

(2) 磁気インピーダンス効果を実現するためである。そこで磁気センサを実現する一段の飛躍が必要である。そこで通電流において、30 μm 径アモルファスワイヤの通電流の周波数を上げてみると図 5.79 に示すインピーダンス特性が出現した。すなわち、通電流の振幅を一定にして周波数を増加させると、100 kHz 以上でワイヤ両端電圧の振幅が上昇していく。しかしワイヤ長さ方向に直流磁界(10 G)を印加すると、1~10 MHz の領域で最大約 50% の驚くべき減少率を示した。そこで、筆者らはこの現象を「磁気インピーダンス効果」と命名することにした。¹¹⁾そこで通電流の周波数をパラメータとし、印加磁界 H_{ex} の大きさを測定して、インピーダンスの大きさの変化を測定したところ、図 5.80 に示す磁気インピーダンス特性を示した。

図 5.80 より、磁気インピーダンス特性は、比較的の 1 MHz ではインピーダンスの大きさが H_{ex} の増加に対して単調に減少し、比較的の高周波では H_{ex}



れた。これを機に世界的に拡かり、1995年から多数の論文が発表されることになった。筆者も著者である MI 効果磁気センサに関する 4 論文の SCI 論文引用回数調査では、2007 年までに計 900 回であり、国際的興心の高さを表している。

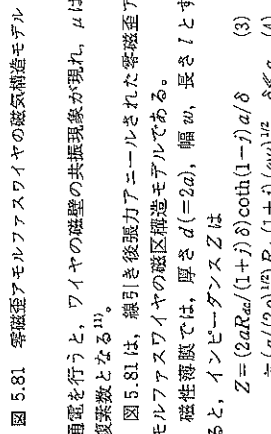
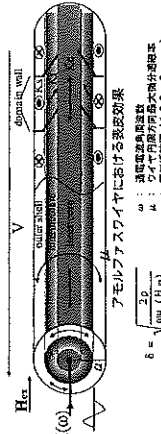
(3) MI効果の理論解析

この MI 効果磁気センサの研究の拡がりは、MI 効果の新規性と高感度マイクロ磁気センサの実現という技術的独創性のインパクトと同時に、MI 効果の理論式の美しさが貢献している。図 5.79 のインピーダンスの周波数特性から、50 kHz 以上においてアモルファスワイヤの表面効果が現れていることがわかる。したがって、磁気インピーダンス効果の技術的価値は、表面効果によって、ワイヤ長さ方向の反磁界が発生する。さらに、磁気インピーダンス効果で必要な抵抗アリッジ回路などが必要であり、基本的に励磁コイルや検出コイルなどが必要な MR 素子と同様、最も単純な回路で高感度の磁気センサを構成できるものである。

半径が a 、抵抗率が ρ の合金(導電性)ワイヤのインピーダンス Z の表現式は、Landau 電磁気学によつて既に与えられているが、 cgs 単位系であるための光速度 c と真空透磁率によるインダクタンス分を含む式である。そこで筆者は、電気・電子回路との整合のよい MKS 系のマクスウェル方程式とボアンティングベクトルによるエネルギー変換式から、式(1)のように 0 次および 1 次のペッセル関数を用いた美しい表現式で表した。

$Z = \frac{1}{2} R k a \frac{J_0(ka)}{J_1(ka)}, k = \frac{1}{\delta}, \delta = \left(\frac{2a}{\omega\rho}\right)^{\frac{1}{2}}$ (1)
ここに、 R はワイヤの抵抗。 δ は表皮深さ。 ω は通電电流の角周波数。 μ は円周方向の最大微分透磁率である。
表皮効果が顕著な場合は、 $\delta \ll a$ として式(1)から Z の近似式(2)が得られ、磁気インピーダンスの基礎式となる。¹²⁾

$Z \approx \frac{a}{2\sqrt{2}\rho} R (1+j) (\omega\rho)^{\frac{1}{2}}$ (2)
式(2)より、磁気インピーダンス効果は、外部印加磁界 H_{ex} で μ が変化し、その実部と虚部が同じに大きさで変化するので、ワイヤ両端の電圧が高感度に変化することがわかる。表皮効果がない低周波では、 $Z = R + j\omega L = R$ となるため($\mu = R$ に等しく、 H_{ex} に ω の変化はほとんどない(R をアリッジ回路で相殺すれば、Magneto-Inductive の場合になる)。表皮効果が顕著な周波数領域できらに数百 MHz 以上の高周波



表皮効果が顕著な場合は、ワイヤのインピーダンスの式(2)と薄膜のインピーダンスの式(4)はほぼ同一の式で表現されるが、薄膜では断面が円形でないため反磁界が現れ、周方向最大微分透磁率 μ が減少する。したがって、高感度マイクロ磁気センサを構成する場合はアモルファスワイヤを用いる。

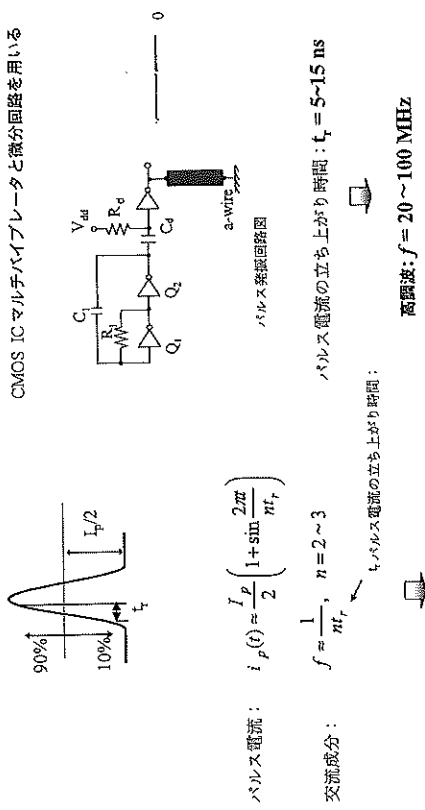
式(4)で、 μ を磁界で変化される場合は「磁気インピーダンス効果(Magneto-Impedance effect : MI効果)」であり、高感度マイクロ磁気センサ(MIセンサ)の実現に利用される。また、アモルファス磁歪ワイヤを用いて μ を応力磁気効果によって変化させる「応力インピーダンス効果(Stress - Impedance effect : SI効果)」¹³⁾となり、高感度マイクロ感度センサ(SIセンサ)の実現に利用される。したがって、MIセンサおよびSIセンサによって、高感度の電磁気量および力学量のセンシングが行われ、多種多様のセンシングが可能になる。

5.6.3 パルス MI効果とデジタル形 磁気センサ回路

高感度マイクロ磁気センサは、多数個使用されるこことを考慮すべきである。これは、生体の皮膚には体性マイクロ感覚器が膨大な数で何層にも高密度に分布し、温・熱覚、冷覚、圧・痛覚、触覚、気流覚などの第二、第三の脳といわれる超高感度の感覚情報処理を

と、IPとの整合性がよく、量産品に適している。さらに、生体の感覚器は神経細胞など、IPとの整合性がよく、量産品に適している。この観点から、高密度マイクロ磁気センサ(MIセンサ)の回路は、パルス電流で感度測定を行うおり、感覚される環境のアナログ信号を検出するが、デジタル回路で伝達・処理している。人工の感覚器であるセンサのアナログ信号は、デジタル信号处理器であるマイクロプロセッサのIPで信号処理される。このため、センサ電子回路はデジタル形回路で構成する

パソコンなどのタイミング回路として広く使われている
CMOS IC マルチバイブレータと微分回路を用いる



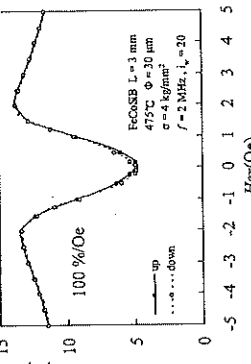
交流成分：
 $f = \frac{1}{T_r}$, $n = 2 \sim 3$
 $i_P(t) = \frac{I_p}{2} \left(1 + \sin\left(\frac{2\pi t}{T_r}\right) \right)$

パルス電流の立ち上がり時間：
 $t_f = 5 \sim 15 \text{ ns}$

高周波：
 $f = 20 \sim 100 \text{ MHz}$

(a) パルス電流磁気インピーダンス効果

パルス電流をアモルファスワイヤに通電しても、パルス電流をアモルファスワイヤに通電しても、パルス電流によってMI効果が生じる。この効果は、外部部端子によって変化している。



パルス電流を通電した時のワイヤ端端インピーダンスの変化(外部部端子によって変化している)
 パルス電流磁気インピーダンス効果

パルス電流をアモルファスワイヤに通電しても、パルス電流によってMI効果が生じる。この効果は、外部部端子によって変化している。

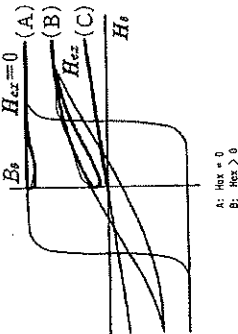


図 5.82 CMOS マルチバイブレータ回路によるパルス電流による MI 効果
 図 5.83 (a) パルス電流による MI 効果
 (b) パルス通電時の MI 効果

は、CMOSトランジスタデジタル電子回路でMIセンサが構成されることになる。MI効果がパルス電流で実現磁界を印加することは、パルス電流で感度効果が生じることである。いま、パルス電流を周波数fの正弦波電流の最小値(最小値)の1周期T_rの波形で近似すると、パルス電流の立ち上がり時間t_rise(f)は $t_rise = T_r/3 = 1/3f$ であり、そのパルス電流は $f=1/3t_rise$ の正弦波電流に振幅の大きさの直流電圧を印加する。したがって、f=10MHzの正弦波電流と同様な運転条件を行なうパルス電流は、約30ナ秒[ns]の立ち上がり時間とともにパルス電流となり、これが実現され

たがって、f=10MHzの正弦波電流と同様な運転条件を行なうパルス電流には、約30ナ秒[ns]の立ち上がり時間とともにパルス電流となる。パルス電流と形態電流回路に使用される感度的なCMOSインバータのスイッチング立ち上がり時間は10ns程度であるので、パルスMI効果は一般的で安価に量産されているCMOSインバータで容易に実現されることがわかる。¹⁴⁾

図5.82は、CMOSインバータマルチバイブルーティング回路によるMI効果の測定例である。

図5.82より、一般的なCMOSインバータマルチバイブルーティング回路を微细分回路に変換し、30μm径アモルファスワイヤに通電する方式で、1.1Oe当たり100%の高感度MI特性が得られることがわかり、デジタル形MIセンサ電子回路が実現できることがわかった。微小なH_Exに対しては、シビードアンスZがH_Exとともに増加しているが、これはワイヤ円周方向のBHヒステリシスループを測定すると、図5.82のようにパルス磁界に対しては回転磁化領域で動作するため、H_Ex=0でμが最も小さくZが最小であり(A)、H_Exの増加とともにμが増加しZが増加する(B)。さらにH_Exが異方性磁界H_iより大きくなるとμは減少しZは減少する(C)。

図5.83のアモルファスワイヤのパルスMI特性に元磁界ベクトルセンサと、その動作座標原点の地球重力方向からの傾斜角を決定する同上アモルファスワイヤと微小磁石を慣性質量とする弹性ビームとの組み合いで、3次元加速度センサのセット構成である。この加速度センサは、重力の加速度(静的加速度)を利用して携帯電話機(磁界ベクトルセンサ)の傾斜角を検出し、携帯電話機の振動などのモーションを助ける角度として検出する。

図5.84は、愛知製鋼(株)によって開発・商業化された携帯電話(ボーダフォン)用の地磁気利用方位・モーションセンサチップ(6次元MIセンサ)の内部写真およびその性能表である。
 この6次元MIセンサの意味は、0.6mm長、20μm幅アモルファスワイヤをX、Y、Z直交配置した3次元磁界ベクトルセンサと、その動作座標原点の地球重力方向からの傾斜角を決定する弹性ビームとの組み合いで、3次元加速度センサのセット構成である。この加速度センサは、重力の加速度(静的加速度)を利用して携帯電話機(磁界ベクトルセンサ)の傾斜角を検出し、携帯電話機の振動などのモーションを助ける角度として検出する。

図5.85は、図5.84のチップに内蔵したアモルファスワイヤセンサチップの写真である。

20μm径零差アモルファスワイヤの両端に電極を形成して固定し、導線薄膜バーンコイルを設置してお

り、素子全長0.9mm、素子幅0.5mm、電極間距離は0.6mmである。

図 5.84 チップによるパルス磁気インピーダンス効果

図 5.85 6次元 MI センサ

図 5.86 6次元 MI センサ

◆ Construction of AMI601

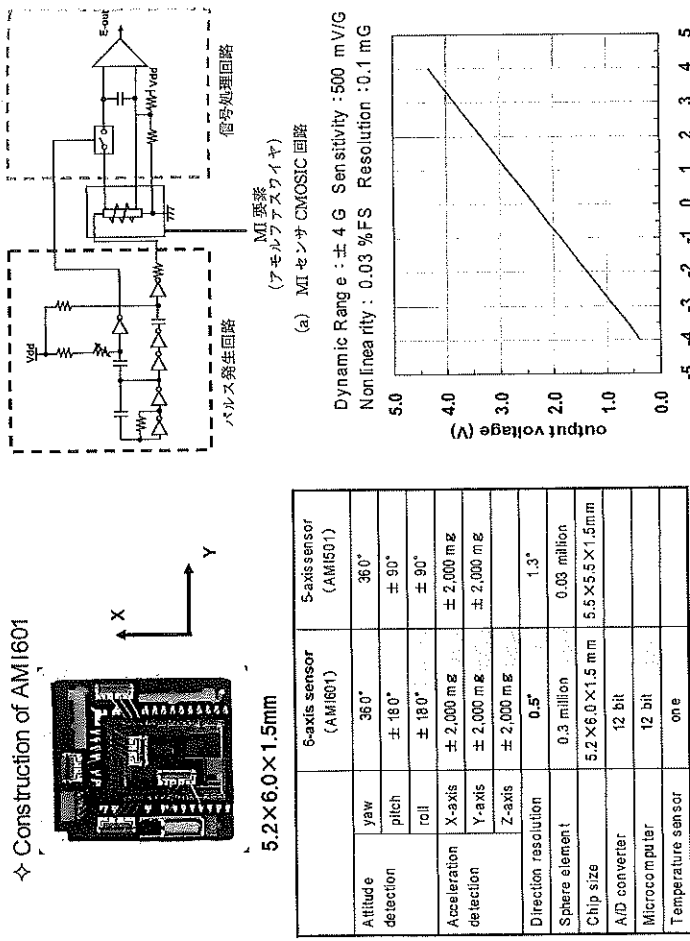


図 5.85 アモルファスワイヤセンサチップ(愛知製鋼(株)製)

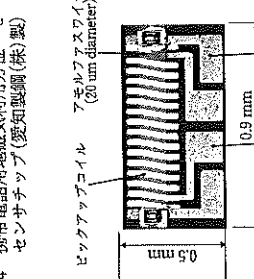


図 5.85 アモルファスワイヤセンサチップ(愛知製鋼(株)製)

を 3 軸に配置した CMOSIC 形磁界ベクトルセンサの磁界検出特性である。MI センサ回路は、図 5.83 のセンサ回路の片側回路である。磁界検出特性は、地磁気($\pm 0.5 \text{ G}$)利用電子コンバース用の磁界センサとして外乱磁界最大土 4 G 程度を想定し、フルスケールを土 4 G としている。磁界検出特性の直線性は非直線性が 0.03% /FS であり、ヒステリシスは認められない。直流磁界検出分解能は約 0.1 mG 、温度安定性は、 $-40^\circ\text{C} \sim 80^\circ\text{C}$ の範囲で変動率は 0.2% 以内である。

図 5.87 は、加速度センサのヘッド構成図および重力の加速度の検出特性である。加速度検出特性は、厚

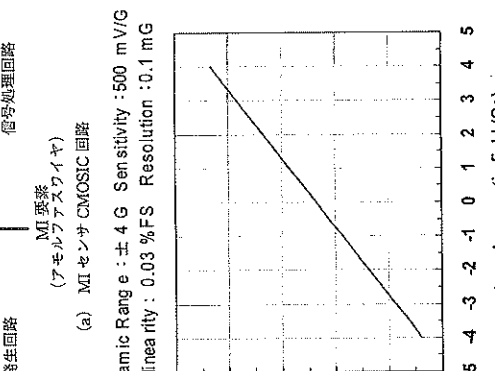
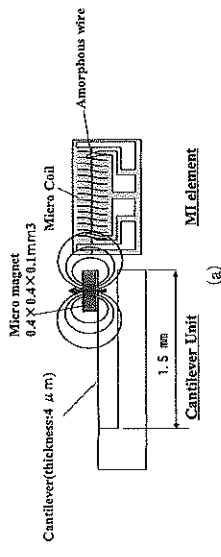


図 5.86 アモルファスワイヤ CMOSIC 形マイクロ磁界センサ

さ $4 \mu\text{m}$ 、長さ 1.5 mm の非磁性インバーカンチレバーの一の先端に $0.4 \times 0.4 \times 0.1 \text{ mm}^3$ の微小磁石を慣性質量として固定した柔軟なと、その磁石に向かって MI センサを設置したものである。携帯電話機が傾斜するとカンチレバーのたわみ角度が変化して慣性質量磁石の MI センサに対する相対位置が生じ、携帯電話機の傾斜角が MI センサ出力電圧として得られる。 X, Y 平面からの傾斜角の検出特性は土 90° (重力の加速度土 1 G に対応)フルスケールで直線特性が得られる。

携帯電話機を手で動かすと、加速度センサは動的加速度センサとして動作する。

ユーザが携帯電話機を水平面から任意に角度で保持して画面を見ると、傾斜角センサが携帯電話機の傾斜角を検知して 3 軸磁界センサの動作原理通り、磁界ベクトルセンサが地磁気を感知してユーザの水平面内での方位を検出する。この方位検出により、ユーザの向いた方向に画面の地図が回転して(heading)、歩行者ナビゲーション機能を発揮する。

また、ユーザが携帯電話機を振ると、ボタンを押さ

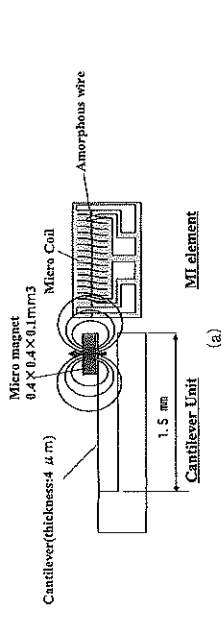


図 5.87 微小磁石慣性質量カンチレバーと MI センサの組み合わせによる加速度センサ

Magneto-Impedance と呼ぶべき新現象の発生が期待され、携帯電話機のハードディスク用の高感度磁気ヘッドへの応用が進むと思われる。

また、MI センサの回路方式として、センサ出力電圧をマイクロプロセッサーで信号処理する場合の A/D コンバータを省略できるヘルス周波数変調回路¹⁷⁾や、アナログセンサ回路¹⁸⁾も既に考案されており、アナログセンサ出力パターンからデジタル記録磁気パターンを推定する PRML 信号処理技術¹⁹⁾などとの組み合わせで、MI センサの応用範囲が拡大していくものと思われる。

紙面の制約で、SI センサの説明を割愛したが、20 μm 巻 CoSiB 負磁歪アモルファスワイヤの SI 効果による歪ゲージは、従来の高感度半導体歪ゲージのゲージ率 140 に対してゲージ率が 4,000 以上という超高感度センサである。この SI センサの応用では、従来困難であった微風の検出²⁰⁾や指先毛細血管の脈波形による血管年齢の評価²¹⁾などが簡単にできようになり、また人の記憶回路の喜怒哀楽を眉間に檢出する²²⁾などの新規な生体情報の計測ができるようになる。今後、これらの MI センサや SI センサによる知能化センシング技術の発展が期待される。

謝辞

高感度磁気センサが、マイクロ磁気センサとしてはじめて情報機器に搭載されるという画期的技術が出現したことは、愛知製鋼(株)の本筋義信常務取締役を貢任者とする技術陣の活躍があつたためである。本節で

はその成果の携帯電話用方位・モーションセンサの技術公開として、多數の写真および図面を候わせていた。ここに厚く感謝申し上げます。また、(独)科学技術振興機構(IST)に種々の強力な支援をいただき、産学官連携で感力を發揮して、大学発のMIセンターが事業化に至ったことを改めて深謝致します。

参考文献

- K. Mohri, Y. Honkura: *SENSOR LETTERS*, Vol.5, pp. 267-270, 2007.
- 毛利生年進, 本報発表: 平成19年電気学会A部門全国大会シンポジウムS4-1, 2007.
- 毛利生年進: 日本応用磁気会誌Vol.29, No.7, pp.702-707, 2005.
- K. Mohri, T. Uchiyama, L. P. Shen, C. M. Cai, L. V. Panina, Y. Honkura, M. Yamamoto: *IEEE Trans. Magn.*, Vol.38, No.5, pp.3063-3068, 2002.
- K. Mohri, T. Uchiyama, L. P. Shen, C. M. Cai, L. V. Panina: *J. Mag. Magn. Mat.*, Vol.249, pp.351-356, 2002.
- K. Mohri, T. Uchiyama, L. P. Shen, C. M. Cai, L. V. Panina: *Sensors and Actuators A*, 91, pp.85-90, 2001.
- D. I. Gordon, R. E. Brown: *IEEE Trans. Magn.*, MAG-8, No.1, pp.76-82, 1972.
- K. Mohri, T. Kohzawa, K. Kawashima, T. Uchiyama, *IEEE Trans. Magn.*, Vol.28, No.5, pp.3150-3152, 1992.
- K. Mohri, K. Kawashima, T. Kohzawa, T. Uchiyama: *IEEE Trans. Magn.*, Vol.29, No.2, pp.1245-1246, 1993.
- K. Mohri: *Materials Science and Engineering A - Structural Materials Properties Microstructure and Processing* Vol.195, No.1-2, pp.141-146, 1994.
- L. V. Panina, K. Mohri: *Applied Physics Letters*, Vol.65, No.9, pp.1189-1191, 1994.
- 毛利生年進著「磁気センサ理工学」コロナ社 p.37
- L. P. Shen, T. Uchiyama, K. Mohri: *IEEE Trans. Magn.*, Vol.33, No.5, pp.3255-3257, 1997.
- T. Kamio, K. Mohri, T. Yagi, T. Uchiyama, L. P. Shen: *IEEE Trans. Magn.*, Vol.33, No.5, pp.3353-3360, 1997.
- N. Kawairi, M. Nakabayashi, C. M. Cai, K. Mohri, T. Uchiyama: *IEEE Trans. Magn.*, Vol.35, No.5, pp.3657-3668, 1999.
- T. Uchiyama, K. Mohri, M. Shinkai, A. Ohshima, H. Honda, T. Kobayashi, T. Wakabayashi, J. Yoshiida: *IEEE Trans. Magn.*, Vol.33, No.5, pp.4266-4268 (1997).
- C. M. Cai, K. Usami, M. Hayashi, K. Mohri: *IEEE Trans. Magn.*, Vol.40, No.1, pp.161-163, 2004.
- 森辰平, 中村好宏, 毛利生年進, 本報発表: 日本国際応用磁気学会誌, Vol.26, No.4, pp.551-554, 2002.
- 三田誠一, 日本応用磁気学会誌, Vol.23, No.3, pp.816-825, 1999.
- アリッシュ・アドカリム, 宮園平, 毛利生年進: 日本国際応用磁気学会誌, Vol.26, No.4-2, pp.979-982, 2001.
- D. Kusumoto, L. P. Shen, Y. Naruse, K. Mohri, T. Uchiyama: *IEEE Trans. Magn.*, Vol.35, No.5, pp.4115-4117, 1999.
- 森辰平, アリッシュ・アドカリム, 毛利生年進: 日本国際応用磁気学会誌, Vol.26, No.4-2, pp.1139-1142, 2001.

5.7 SQUID 磁気センサ

5.7.1 はじめに

本節で述べる超伝導磁気センサ(SQUID)は超伝導体金属として代表的な鉛(Nb)などにおける超伝導現象を利用して製作されたセンサで電子系子(電子デバイス)の一つである。すなわち、Nbなどの超伝導体物質と絶縁体(膜)や常伝導体物質とからなる弱接合部を有するように構成された超伝導リングに生じるジョセフソン効果をその動作原理を利用したものである。この超伝導現象は、1911年、オランダのOnnesによって、水銀の電気抵抗が超低温(4.2 K以下)で消失することを見出し、さらに、常伝導から超伝導に転移する臨界温度や超伝導から常伝導に転移する臨界磁場があり、これらは超伝導体物質によって決まる定数であることを実験から見出した。ここで、この超伝導体は、各種超伝導体による合金や金属間化合物を含むこと1000種以上にもなるといわれている。

また、SQUIDとは、超伝導量子干涉デバイス(Superconducting Quantum Interference Device)のことである。今日では安定したジョセフソン電流、I₀は2つである。ここで、I₀はジョセフソン電流、I₀は電圧がゼロで流れうる臨界電流である。

このように、SQUIDの動作は、式(1)～(4)に示されるジョセフソン効果が基礎となって、SQUID磁気センサとしての特徴を生じさせている。

図5.88に高密度磁気センサと測定対象磁界との関係を示す。図に示されるように磁気センサの中でも

SQUIDは、ft(10⁻¹⁵T)オーダーの微弱磁界が測定できる唯一のデバイスであり、他のセンサに比べて超高感度であることがわかる。

本節では、この超伝導エレクトロニクス応用分野の一つであるSQUID磁気センサの動作原理を示し、SQUID磁束計および生体磁気計測への応用例を示すことにする。

究められたが、特性のそろった2個のジョセフソン接合で製造が困難なため、1個のジョセフソン接合およびSQUID(radio frequency SQUID)が実用化、製品化されるに至った。現在では、ジョセフソン接合およびIC製造技術の高度化が進んでおり、生体磁気計測用の多入力SQUID磁束計にはdc SQUIDが主流となる。

また、超伝導リングとジョセフソン接合の組み合わせを広くSQUIDと呼んでいる。さらに、SQUIDに対しても、超伝導現象が生起する温度環境の相違により、液体ヘリウム温度(4.2 K)で動作する低温超伝導SQUIDあるいは液体窒素温度(77 K)で動作する高温超伝導SQUIDがある。

一方、SQUIDは、ジョセフソン効果の応用の基本要素としても重要で、高感度、低雑音、さらには、超高速応答、超低消費電力などの特長がある。

そこで、SQUIDが磁気センサとしての磁界検出計測用の他に、電導性、磁気センサとしての磁界検出計測用の他に、電導率、電磁波検出、電子計算機の論理素子への応用があり、超伝導エレクトロニクスの基本素子としての役割には大きいものがある。

SQUID磁気センサは、近年、医学分野や脳磁図野において盛んに利用されてきている。特に、

シャル、Jは電流密度、n_eとeは、電子の質量と電荷、φ₀は超伝導電子対の巻度、nは量子数である。の₀は、磁束量子で2.07×10⁻¹⁵ wbである。

超伝導体内ではマイスナー効果により電流密度J=0であるので、超伝導体内部の磁束は、式(1)より、

$$\phi = \int A \cdot dI = n\phi_0 \left(= \frac{n\hbar}{2e} \right) \quad (2)$$

式(2)に示されるように、超伝導リング内の磁束のは、磁束量子のnを単位としてのみ存在することなる。nはランクの定数である。これが磁束の量子化である。

次に、SQUIDの動作において重要なものはジョセフソン効果である。これは、2個の超伝導体(Nb, Pbなど)を薄い酸化膜などの絶縁層を介して接合させると、この接合層を電子対のトンネル電流が流れる現象であり、接合部の電圧がゼロであっても接合部の電流位相差に基づいて流れるdcジョセフソン効果、

$$I_J = I_0 \sin \theta_J \quad (3)$$

と接合部に直流電圧Vが加わって交流が発生するacジョセフソン効果、

$$\frac{d\theta}{dt} = \frac{2\pi V}{\phi_0} \quad (4)$$

図5.89のように2個のジョセフソン接合J₁, J₂がある場合を想定する。ここで、I₁はジョセフソン電流、I₀は電圧がゼロで流れうる臨界電流である。

このように、SQUIDの動作は、式(1)～(4)に示されるジョセフソン効果が基礎となって、SQUID磁気センサとしての特徴を生じさせている。

5.7.3 dc SQUID

図5.89のように2個のジョセフソン接合J₁, J₂からなる超伝導リングを想定する。この超伝導リングにおいて、外部から磁束φ₀を加えだとすると、磁束量子化条件は、リンク内に入る磁束の2倍のジョセフソン接合J₁, J₂との電流位相差から式(1)より、

$$\phi_0 + \frac{\theta_1 - \theta_2}{2\pi} \phi_0 = n\phi_0 \quad (5)$$

と表せる。また、dcジョセフソン効果より全電流I=I₁+I₂は、

$$I = 2I_0 \cos \frac{\pi \theta}{\phi_0} \sin \frac{\theta_1 + \theta_2}{2} \quad (6)$$

SQUIDは、超伝導リングとジョセフソン接合の組み合わせからならない。そこで、SQUIDが磁気センサとして動作することを理解するためには、超伝導やジョセフソン効果についての基本事項が関わっていく。

超伝導の性質には、(1)直流抵抗がなくなる(完全導電性), (2)永久電流の存在, (3)磁束の量子化がある。特に、SQUIDにおいては、磁束量子化の性質が重要である。超伝導リングにおける量子化的関係は、

$$I_{max} = 2I_0 \left| \cos \frac{\pi \theta}{\phi_0} \right| \quad (7)$$

となり、図5.90の実線のように示される。この様子は光の干渉効果と似ており、「干渉計(interference device)」の名称の由来となっている。しかしながら、外部磁束φ₀を加えた場合、超伝導リングには自己イ

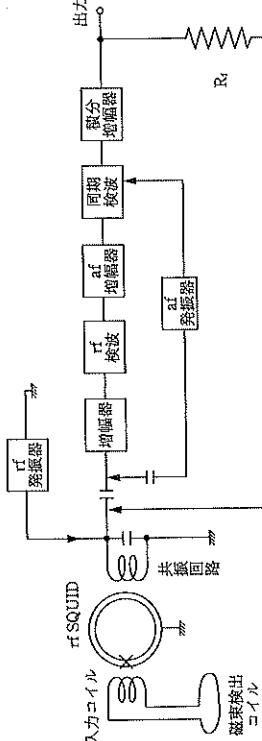


図 5.96 rf SQUID 磁束計の基本構成

図において、外部磁束 ϕ_0 が増加し、A 点に達するとリング内の磁束 ϕ_0 は、不連続的に B 点にジャンプし、 ϕ_0 は減少する。これは量子数 n が 1 つ大きい状態に移ったことを意味する。さらに n が増加する C 点から D 点にジャンプし、この場合、 n を 2 個取り込んだことに対応する。反対に n が減少すると E 点から F 点、G 点から H 点へと不連続的に変化し、 ϕ_0 が一つずつ小さい状態へと移っていく。

このように、リング内では、 ϕ_0 の大きさに応じて ϕ_0 を単位としての出し入れが行なえることになる。また、 ϕ_0 の不連続なジャンプにはある時間 $t(10^{-10} - 10^{-12} \text{ s})$ がかかり、SQUID には電圧 $V = 2\phi_0/t$ が発生してエネルギー損失が起きる。

そこで図 5.93 のように rf SQUID を高周波共振回路に相互インダクタンス M で結合させるとエネルギー損失を補うよう共振回路からエネルギーが補給されるので回路の交流出力電圧 V_{ac} は変化する。このとき、適当なバイアス電流を設定し、 ϕ_0 の変化に対する V_{ac} の挙動をみると、図 5.95 のように ϕ_0 を周期とする三角波状の電圧変化 ΔV が得られる。この変化は、

$$\Delta V = \frac{\omega_0 L}{2M} \phi_0 = \frac{\pi f_0 L}{M} \phi_0 \quad (13)$$

で与えられ、 ϕ_0 の変化した値となる。この ΔV を測定すれば ϕ_0 の変化が測定できる。このように交換バイアス電流によって動作させる SQUID を rf SQUID

である。図 5.96 に rf SQUID 磁束計^{4,5,6)}の基本構成⁴⁾を示す。

5.7.5 SQUID と磁束トランジスタ回路

前節において、dc および SQUID の動作原理について基本式を示しながら概説した。要約すると、SQUID とは、ジョセフソン接合を含む超伝導リソルブに外部磁界を加えると、この外部磁界を打ち消すようになに超伝導リソルブ内には逆へい電流が流れ、この接合が超伝導から常伝導へのゲートになり、磁束量子 ϕ_0 を単位として外部磁界の強さに応じた磁束を出し入れする磁束計として働くデバイスであるといえる。

図 5.97 に各種 SQUID の基本構造⁶⁾を示す。SQUID はジョセフソン接合の形式によって、

- (1) 点接触形(図 5.97(a))：針状の超伝導体を導いた絶縁膜を通して押しこんだもの、
- (2) アッジ形(図 5.97(b))：超伝導薄膜の一部分に狭い通路を設けたもの、
- (3) 薄膜トンネル形(図 5.97(c))：基板の上に超伝導体を蒸着して表面に薄い酸化膜を成長させた後に超伝導体を挟んだもの、準平面型⁶⁾とも呼んでいる。いずれも 2 個の超伝導体が第三の物質との間で電気的に弱結合した構造となっている。

特徴としては、点接触形は、感度が高く接觸の調整は容易であるが、振動等に対する機械的安定性に欠け

る。アッジ形は、全体が一つの超伝導体でつくられる。また、薄膜トンネル形は接合の際は高度な技術を要するが、機械的に安定で長時間使用でき、特性をそろえて製作ができる利点がある。特に、近年、生体磁気計測の分野においては、心臓や脳の電気的活動に伴って発生する超微弱磁界を体表面や頭表面上で多地点にわたって同時に測定するための多入力 SQUID 磁束計の開発が進められている。このためには、同一特徴を有する SQUID 素子が必要となるので、この点、薄膜形 SQUID 素子是有用となっている。最近では、弱結合形成用導体に酸化銀などの絶縁体を用いた SIS 超伝導体(絶縁体/超伝導体)ジョセフソン接合や常伝導金属などを用いて弱結合(weak-link)を実現した SNS(超伝導体/常伝導金属/超伝導体)構造からなる準平面型 SQUID 素子¹⁰⁾が開発され、高温超伝導体磁気シールド体と一体化した全頭型 64 チャンネル SQUID 磁束計装置¹¹⁾も開発されている。図 5.98 は準平面型 SQUID の弱結合部を示すもので、図中の白い部分は、Nb 弱結合部層(幅: 0.17 μm、高さ: 0.4 μm、厚さ: 0.03 μm)である。

SQUID を磁気センサとしてそのまま使用することは可能であるが、雜音対策や目的に応じた入力磁界信号を SQUID に伝達するために、磁束検出コイルや磁束トランジスタ回路が用いられる。図 5.99 に磁束トランジスタ回路例を示す。同図において外部磁界 ϕ_0 を磁束検出コイル C_p で拾うとこの磁束を打ち消すようになに通路に流れ、相互インダクタンス M で SQUID に結合している磁束トランジスタから SQUID に磁束 $\phi_0 = M\phi_0$ が伝達され、SQUID は動作する。このような磁束検出コイル C_p の例を図 5.100 に示す。これらのコイルは主に生体磁気計測分野で用いられている例である。図(a)は、マグネットメータと呼ばれるもので單一コイルからなり、シールドルーム内で導入されてきた¹³⁾。図(b)は、2 次勾配形(arrow map)¹²⁾メータで、中断のコイルが上下段のものと巻き方向が互いに逆になっている。この 2 次勾配形は同軸上の均一磁界や 1 次勾配形を有する磁界を打ち消すのでシールドルームのない通常環境での磁界計測に活用されている。ここに示した磁束検出コイルは、人間の脳や心臓からの磁界、すなわち、MEG や MCG の計測と解析を対象としているが、対象とする磁界の解析目的に応じて形状や配置が変わり得るもので、この他に、三軸方向の同時検出可能なベクトル計測用¹⁴⁻²⁰⁾のものもある。これら

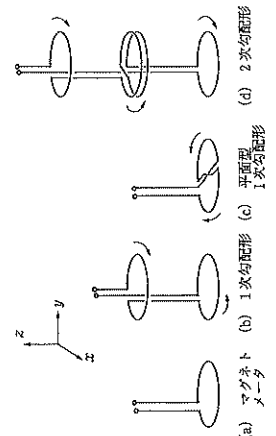
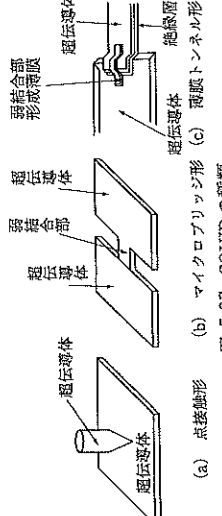


図 5.99 磁束トランジスタ回路

図 5.100 各種磁束検出コイル

たもので差動形を形成し、1 次勾配形でグラジオメータ(gradiometer)と呼ばれるもので均一な磁界は打ち消し合う。図(b)は、法線磁界成分の同軸での 1 次勾配であるが、図(c)は、法線磁界成分に対する水平方向の 1 次勾配を求めるコイル構造である。これを平面型グラジオメーター(planar gradiometer)と呼び、このコイルを直交するよう組み合わせると近似的に 2 次平面での磁界勾配($dH_z/dx, dH_x/dy$ -ベクトル)が得られるので合成するとアローマップ(arro map)¹²⁾を描くのに有用であり、主に MEG 用 SQUID 磁束計に導入されてきた¹³⁾。図(d)は、2 次勾配形(arrow map)メータで、中断のコイルが上下段のものと巻き方向が互いに逆になっている。この 2 次勾配形は同軸上の均一磁界や 1 次勾配形を有する磁界を打ち消すのでシールドルームのない通常環境での磁界計測に活用されている。ここに示した磁束検出コイルは、人間の脳や心臓からの磁界、すなわち、MEG や MCG の計測と解析を対象としているが、対象とする磁界の解析目的に応じて形状や配置が変わり得るもので、この他に、三軸方向の同時検出可能なベクトル計測用¹⁴⁻²⁰⁾のものもある。これら

図 5.98 準平面型ジョセフソン接合 SQUID⁶⁾
(NICT 太田浩氏提供)図 5.97 SQUID の種類
(a) 点接触形 (b) マイクロアッジ形 (c) 薄膜トンネル形

など測定対象の形状および解析目的によってこれらのコイルの形状やコイル径および配置には任意性があり各機関において検討²⁹⁾されているので、国際的な標準化には至っていないのが現状である。

5.7.6 高分解能 SQUID と高温超伝導 SQUID

SQUID磁気センサの応用³⁰⁾は、生体磁気計測、金属材料の劣化等を磁気的に調べる非破壊検査(NDT: nondestructive testing)、あるいは、超微小な入力コイルからなるSQUID磁束計により測定される高分解能な磁界分布の磁気的変化から測定対象を見るSQUID顕微鏡の開発への応用など広範囲に及んでいる。磁気センサによって測定される部分の空間分解能は基本的に前述した磁気検出コイルのサイズが小さいほど向上するがコイルを貫く磁束の本数が少ないので磁界強度は弱くなり磁気雜音の中に埋もれSQUIDリングへの信号伝達が困難となる。

通常、人間の脳や心臓を対象としたSQUID磁束計の磁気検出コイルは、その径が数十mmオーダーであるが、小動物用やNDT、顕微鏡などへの応用には数mm~μmの範囲にある。小動物や生体組織切片などの生体磁界用としては、磁気検出コイル径3~5mmの高分解能・高温超伝導SQUID磁束計^{31,32)}やY-Ba-Cu-O(YBCO)系の高温超伝導SQUID磁束計³³⁾により神経や筋組織の活動磁界およびリットの心磁図や脳磁図が測定されている。

生体磁気計測用を目的とした検出コイル径が1mm以下のマイクロSQUID磁束計の開発例として、検出コイル(200 μm径)が基板上で弱接合部と連結した高分解能高温超伝導SQUID磁束計によりカエルの心磁図測定³⁴⁾を行ったものもある。

図5.101に本SQUIDと連絡した磁気検出コイル(円形リング: 200 μm径、4分割並列で約25 pH, $9.1 \mu\text{V}/\text{A}^2/\text{Hz}$)³⁴⁾を示す。例えば、NDTやSQUID顕微鏡は、測定対象物(材料)の磁気的微細性質・拳銃を可視化する目的があるので必然的に検出コイルサイズが小さく、μオーダーとなる。また、汎用性や経済性を考慮するとSQUIDは油圧的な液体ヘリウムよりも安価な液体窒素で動作する高温超伝導SQUIDが利用され製作されている³⁵⁾。

現在、高温超伝導SQUID材料には、いくつかの高温酸化物超伝導体³⁶⁾があるがYBCO系が使用されており。これは、Y(イットリウム)系の材料では超伝導への転移温度が約90 Kであり、良質の薄膜形成が可能なところといわれている。しかしながら、低温超伝導SQUIDのように100チャンネルを越えるSQUID磁束計の実現には、多量に均一な特性が得られる安定化集積化技術の開発が望まれている。これらの高温超

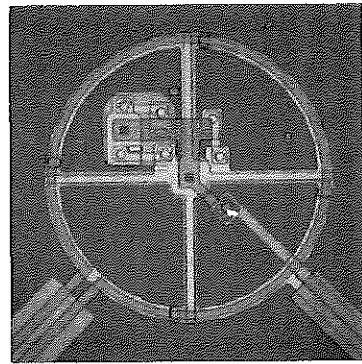


図 5.101 高分解能 SQUID 用磁気検出コイル例³⁴⁾
(円形リング径: 200 μm)

たのが最初である⁴⁰⁾。今日では、特性がそろえられたる薄膜SQUID製造技術の進展もあり前述した100チャンネルを超える全頭型SQUID磁束計を製作するに至っている。

生体から発生する磁界は、電流によるものと磁性体内によるものとの2つに大別できる。電流によるものと生体磁気信号は、空気中に浮遊している磁性物質や食器中に含まれている磁性物質や肝臓などの臓器や消化器管などに蓄積し、地殻磁界やその他の外部磁界により磁化されて小さな磁石となり体外に磁界を発生させるものである。表5.15にSQUID磁束計にて測定された主な生体磁気信号を示した。なお、生体磁気計測の基本については文献^{41,42)}を参照されたい。以下に、筆者らが生体磁気計測用に開発した3次元39 ch SQUID磁束計システム³³⁾の例を示す。

図5.102は、本システムの構成である。SQUID磁束計、信号処理回路、記録装置、磁気シールドルーム、磁束計と被験者との位置関係を計測する3次元位置読み取り装置などから構成される。本例のSQUID磁束計は、Nb薄膜直接帰還方式差動型dc SQUID⁴³⁾を用いている。

SQUID磁束計の回路構成を図5.103に示す。

において、信号界面検出用コイル、出力からの帰還電流を磁束として磁界検出用コイルに戻すための帰還コイル、SQUIDに磁束を伝達するための入力コイル、dc SQUID、バイアス用直流電源、増幅器、積分増幅器から構成される直接帰還方式差動型dc SQUID回路である。回路の主な特徴は、図5.91の磁束差調方式とは異なり、変調部がないのでロックイン増幅器や変調用発振回路がなく簡易になっている。特に、出力からの帰還電流を帰還コイルに通して磁束検出コイルに直接フィードバックさせる構成なので信号磁界によつて誘起された逆へい電流が打ち消され、チャンネル間の干渉が除去できるので多チャンネルSQUID磁束計に有用である。また、SQUIDリング、帰還コイルを差動構成にしているので、超伝導シールドが不要なセントラルルーツ室

表 5.15 主な生体磁気信号

生体磁気信号	大きさ [pT]	周波数 [Hz]
脳磁図(MFG)	5000	DC
心磁図(MCG)	0.2	0.03~200
高分解能心磁図(HRMCG)	1	0.5~30
筋肉磁図(MEG)	0.1	DC~80
説光磁図(SEF, VEF, AEF)	10	DC~2000
筋肉磁図(MMG)	10	DC
眼磁図(MOG)	0.1	0.1~30
網膜磁図(ARG)		

る。表5.15にSQUID磁束計にて測定される主な生体磁気信号を示した。今日では、これらのが生体磁界を測定し、病気の診断および脳や心臓の機能解析に応用しようという研究が各国で盛んに行われている。生体磁気計測の始まりは、1963年、BaileとMcFeeによって200万回も巻いたコイルを用いて世界で最初に心磁図(MCG)の測定³⁹⁾からである。また、SQUID磁束計を用いた生体磁気計測の始まりは、1970年、MITのCohenが本格的な磁気シールドルームを建設し、Zimmermanらによって開発された1チャンネル点接触形SQUID磁束計を用いてMCGの測定を行なった⁴⁰⁾。

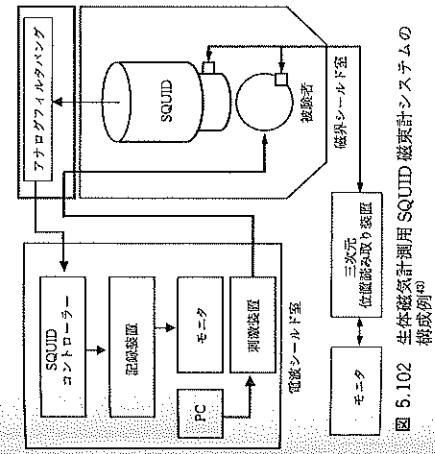


図 5.102 生体磁気計測用 SQUID 磁束計システムの構成例⁴⁴⁾

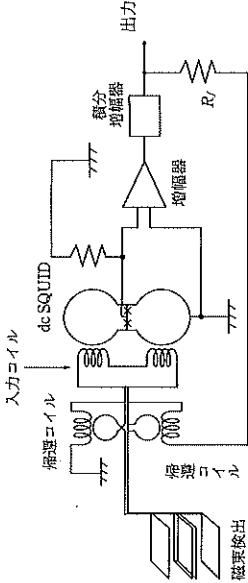


図 5.103 直接帰還方式差動型 dc SQUID の回路構成

磁束強度の例として低温超伝導dcSQUIDでは、1/ f 以上では数 fT/Hz 程度あるいはそれ以下の例¹¹⁾もあるが、高温超伝導dc SQUIDでは、數十 $\text{fT}/\sqrt{\text{Hz}}$ 程度⁴⁵⁾であり、SQUID接合部やコイルの形式にも依存するのでこれらのパラメータを考慮した雑音特性⁴⁶⁾が検討されている。NDT³³⁾などでは、磁界強度も μT オーダーと大きく高温超伝導SQUIDが使用されている。また、YBCO系のほかに水銀系高温超伝導SQUIDの開発³⁷⁾も行われ今後の進展が期待されている。

5.7.7 SQUID 磁束計システムの実際と生体磁気計測への応用

人間の心臓、脳などから、低温超伝導SQUID磁束計の実現には、多量に均一な特性が得られる安定化集積化技術の開発が望まれている。これらの高温超

サの実験が可能である。素子パラメータは、SQUID フィーバーを介した電流調節、増幅器やフィルタの調整を行う構成とした。フィルタ回路は、シールドルームに接続した電磁波シールドボックス内に設置し、直通バッテリー駆動により音用開波ノイズの混入を防いでいる。図 5.106 にヘキサゴナル型コイルとノイズ計測用 1 点のコイルの形態を示す。この 2 種類を製作して活動する場合、法線成分コイルの信号源が近接して活動する場合、法線成分分布のボンビン(3×3×6 cm)に超伝導線 NbTi-Cu が 2 次勾配型を構成するように巻いている。ベースラインは、法線成分が 2.9 cm、接線成分が 1.4 cm である。

SQUID 磁気計は、図 5.92 に示す 2 次勾配 3 次元磁界検出コイルを用いた 39 チャンネルの構成となる。本磁界検出コイルは、熱可塑ポリミド製のボンビン(3×3×6 cm)に超伝導線 NbTi-Cu が 2 次勾配型を構成するように巻かれている。ベースラインは、法線成分が 2.9 cm、接線成分が 1.4 cm である。本コイルは、MEG 計測用として曲率 R=16 cm の球面配置型と MCG 計測用の平面型配置の SQUID とコイルを 1 つのモジュールとして、取り外し可能な冷却保持部(プローブ)とした。

図 5.105 に検出コイルモジュールを示す。このモジュールは、生体磁気計測用 12 点の 3 次元磁界検出コイルとノイズ計測用 1 点のコイルから構成されている。デュワーは、この 2 つのモジュールの形状に合わせ、球面型と平面型の 2 種類を製作した。

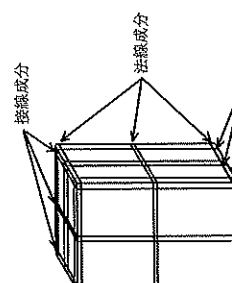


図 5.104 2 次勾配型 3 次元磁界検出コイル

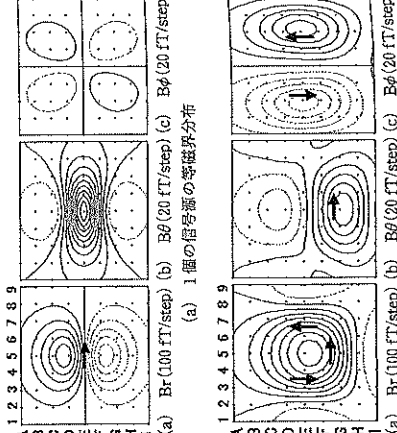


図 5.105 MEG 用 3 次元磁界検出コイルアレイ

dc SQUID 駆動は、ベースナルコンピュータより光ファイバーを介した電流調節、増幅器やフィルタの調整を行う構成とした。フィルタ回路は、シールドルームに接続した電磁波シールドボックス内に設置し、直通バッテリー駆動により音用開波ノイズの混入を防いでいる。図 5.106 にヘキサゴナル型コイルとノイズ計測用 1 点のコイルの形態を示す。この 2 種類を製作して活動する場合、法線成分コイルの信号源が近接して活動する場合、法線成分分布のボンビン(3×3×6 cm)に超伝導線 NbTi-Cu が 2 次勾配型を構成するように巻いている。ベースラインは、法線成分が 2.9 cm、接線成分が 1.4 cm である。

SQUID 磁気計は、図 5.92 に示す 2 次勾配 3 次元磁界検出コイルを用いた 39 チャンネルの構成となる。本磁界検出コイルは、熱可塑ポリミド製のボンビン(3×3×6 cm)に超伝導線 NbTi-Cu が 2 次勾配型を構成するように巻かれている。ベースラインは、法線成分が 2.9 cm、接線成分が 1.4 cm である。本コイルは、MEG 計測用として曲率 R=16 cm の球面配置型と MCG 計測用の平面型配置の SQUID とコイルを 1 つのモジュールとして、取り外し可能な冷却保持部(プローブ)とした。

図 5.105 に検出コイルモジュールを示す。このモジュールは、生体磁気計測用 12 点の 3 次元磁界検出コイルとノイズ計測用 1 点のコイルから構成されている。デュワーは、この 2 つのモジュールの形状に合わせ、球面型と平面型の 2 種類を製作した。

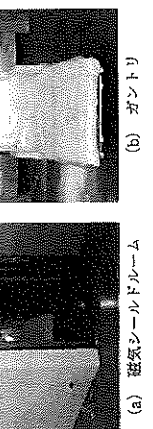


図 5.105 3 次元磁界検出コイルの検出特性

矢印は既定信号源を示す。図(a)より法線成分では、信号源を挟んで双極子分布、接線成分(B_{ϕ})では、信号源直上で極性を示す。一方、信号源の向きと検出信号面が直交する接線成分(B_{ϕ})に、2 個の極値が現れ、2 個の逆向き信号源の存在を測定される。このように、旧来の法線界面成分に加え、接線界面成分(B_{θ}, B_{ϕ})を含む 3 次元磁界分布を用いることによつて複数信号源の推定に有用な情報が実測分布から提供することが可能であることがわかる。これらは、計測信号の時空間解析法との組み合わせによって MEG⁽⁴⁸⁻⁴⁹⁾ や MCG⁽⁵⁰⁾ の信号源解析に応用されている。

図 5.108 に右耳に右耳に音刺激(1 kHz トーンバースト、刺激時間 20 ms)とこれより 80 ms 遅れて右手正中神経への電気刺激(約 5 mA, 矩形ペルス、刺激時間 0.2 ms)により生成された聽覚・正中神経混在誘発 MEG の 3 次元計測⁽⁵¹⁾ より求められた信号源推定結果例(計算平均 300 回)を頭部 MRI 画像に重ねたものを示す。これは、脳内に特徴的な 2 つの信号源(聽覚刺激による N 100、正中神経刺激による N 20)が同時に活動する潜時であり、聽覚刺激後 105 ms の反応と正中神経刺激後 25 ms の反応が重畠している。四角印(□)が聽覚刺激に起因する等価信号源で、シリビウス溝上に推定され、また、丸印(○)が正中神経刺激に起因する等価信号源であり、中心溝上に推定されている。

図 5.109 に健常者の胸部上で測定された 3 次元 MEG 波形例を示す。さらに今日では、母体内の胎児の状態を診断するために胎児 MCG⁽⁵²⁾ や胎児 MEG^(48,53) の計測が検討されており専用の SQUID 磁束計の開発が進んできている。

5.7.8 おわりに

本節では、SQUID および SQUID 磁束計の動作原理とその応用について述べた。SQUID 磁気センサとしての応用は広範囲にあるが、本稿では主として生体磁気計測への応用について紹介した。この理由の一つとして、現在、脳機能の解明を目指す腦科学や医学分野においては、SQUID 磁気センサの役割は大きく、臨床現場には高感度多チャンネル低温超伝導 SQUID 磁束計が導入され脳や心臓の病気の診断に利用されており、現場の要求に答えるためには工学技術の改良開発は継続的なものとなっている。特に、経済性の面からも安価な液体窒素温度で動作する高温超伝導 SQUID による磁束計の開発が望まれている。前述してきたように SQUID デバイス技術に関する材料・微細加工技術、電子回路技術、冷却機や冷却用デュワーの製作に伴う低温工学技術、さらには生体計測や画像処理を含む信号処理技術など複合領域の研究の分野であり、21世紀にさしかかる発展をするには理学・工学および医学との協調とともに産業界との共同作業が望

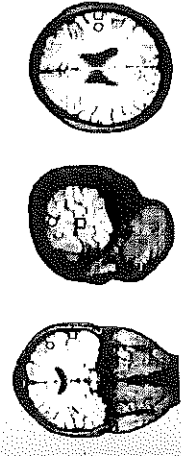


図 5.106 磁気シールドルームとガントリの例

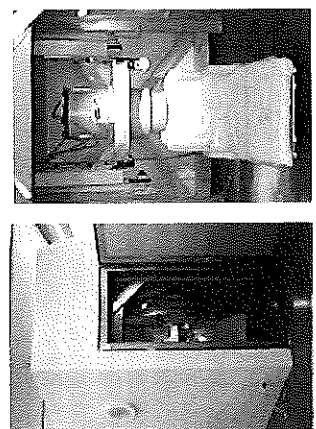


図 5.107 三次元磁界検出コイルの検出特性

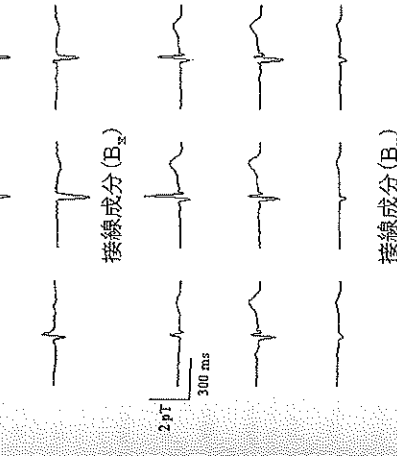


図 5.108 信号源推定結果例(○: 体性感覚, □: 聽覚)

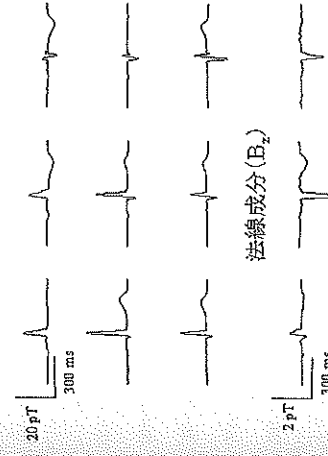


図 5.109 三次元磁界検出コイルの検出特性

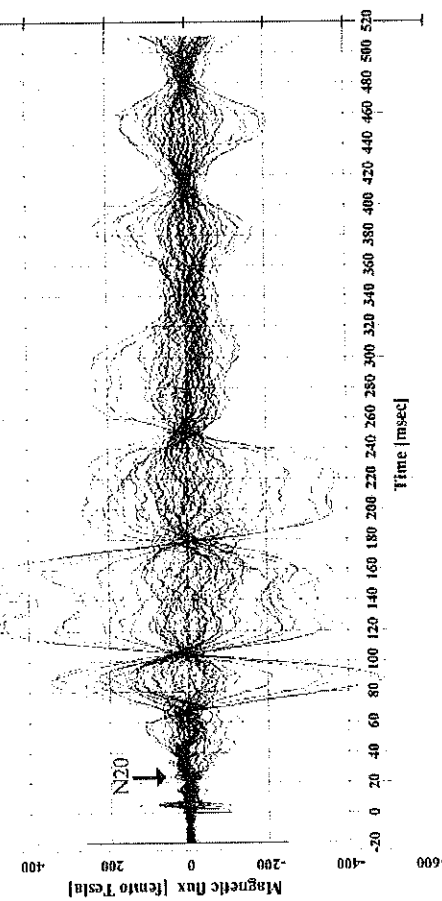


図 5.110 高温超伝導体内で測定された体性感覚誘発 MEG 游形例 (右手首正中神経刺激)

まれるところである。

本節の終りにあたり、図 5.110 に微弱磁気信号空間(1 Hz 以下)が実現された高温超伝導体磁気シールド体と一体化した全頭型 64 チャンネル SQUID 磁束計装置によって測定された体性感覚誘発 MEG 波形例を示す。ベースラインの揺らぎが見られない安定した波形が得られ、今後、脳の高次機能の高精度で緻密な高時間分解能を有する MEG 解析装置としての期待があり、低温および高温超伝導技術が融合した代表的な応用例でもある。

- 電気学会通信教育会、超電導工学、電気学会、p. 3-44, 1988.
- 川路真吾、小林五一郎、内川義則、吉原正男、小谷誠、藤平誠一、尾崎久直：電気学会論文誌 C, 122, pp. 66-70, 2002.
- T. Takeda : in Biomag 2002, H. Nowak et al. (Eds.), Vde Verlag GmbH, Berlin Offenbach, pp. 953-960, 2002.
- 電気学会グライオエレクトロニクス委員会編：「ショセーフソン効果（基礎と応用）」、pp. 52-81, 電気学会、1978.
- 底塗：電子電磁気計測、pp. 59-60、電気情報通信学会、1978.
- M. Hamalainen, R. Hari, R. Ilmoniemi, J. Knuutila, O. Lounasmaa : *Rev. Mod. Phys.*, 65, pp. 413-497, 1993.
- 例えは、D. Okada, Y. Uchikawa, M. Yoshiizawa, Y. Uchikawa : *IEEE Trans. Magn.*, 42, pp. 3530-3541, 2006.
- H. Ochiai, et al. : *IEEE Trans. Magnetics*, 25, pp. 1018-1021, 1989.
- K. Shirae, H. Furukawa, M. Katayama : in 5, pp. 399-403, 1998.

- H. Kado, M. Higuchi, M. Shimogawara, Y. Hamuta, Y. Adachi, J. Kawai, H. Ogata, G. Uehara : *IEEE Trans. Appl. Supercond.*, 9, pp. 4057-4062, 1999.
- A. A. File, J. Verba, S. E. Robinson et al. : in Biomag 2002, H. Nowak et al. (Eds.), Vde Verlag GmbH, Berlin Offenbach, pp. 912-915, 2002.
- A. Pasquarelli, R. Rossi, M. De Melis, L. Marzetti, A. Trebeschi, S. N. Erne : in BIOMAG 2004, E. Halgren et al. (Eds.), Biomag 2004 Ltd., Boston, Massachusetts, USA, pp. 34-35, 2004.
- 例えは、A. Fife, J. Verba, S. Robinson, et al. : *IEEE Trans. Appl. Supercond.*, 9, pp. 4063-4068, 1999.
- J. P. Wikswol : *IEEE Trans. Appl. Supercond.*, 6, pp. 74-120, 1995.
- D. Buchanan, D. Crum, D. Cox, J. P. Wikswol : in Advance in Biomagnetism, S. J. Williamson et al. (Eds.), Plenum Press, New York, pp. 677-679, 1989.
- J. P. Wikswol, R. Friedman, A. Kiroy, J. Eggeratt, D. Buchanan, D. Buchanan : in Advance in Biomagnetism, S. J. Williamson et al. (Eds.), Plenum Press, New York, pp. 681-684, 1999.
- D. Buchanan, D. Crum, D. Cox, J. P. Wikswol : in Advance in Biomagnetism, S. J. Williamson et al. (Eds.), Plenum Press, New York, pp. 677-679, 1989.
- Y. Okada, S. Kyruhe, A. Lahteenmaki, C. Xu : in Biomagnetism : Clinical aspects, M. Hoke et al. (Eds.), Elsevier Science Publishers B. V., Amsterdam, pp. 375-383, 1992.
- K. Iramina, B. Hong, S. Uchida, K. Goto, S. Ueno : *J. Appl. Phys.*, 83, pp. 6465-6467.
- 藤田洋、小山洋、栗原真也、内貴宏、河原剛一：電気学会論文誌 A, 121, pp. 1104-1109, 2001.
- K. Kobayashi, Y. Uchikawa : *IEEE Trans. Magn.*, 39, pp. 3378-3380, 2003.
- 菅野卓雄監修、太田浩、山下喜夫訳：「ショセーフソン効果の物理と応用」、近代科学社, pp. 385-396, 1988.
- F. Ludwig, E. Danielsker, D. Kelle, R. Kleinert, A. Midich, D. Nemeth, J. Clarke, D. Drung, S. Knappe, H. Koch : *IEEE Trans. Appl. Supercond.*, pp. 2919-2922, 1999.
- T. Shaw, K. Echenga, R. McDermott, J. Clarke, S. Kang, J. Morris : *IEEE Trans. Appl. Supercond.*, pp. 4107-4110, 1999.
- A. Fife et al. : *IEEE Trans. Appl. Supercond.*, 5, pp. 3112-3118, 1995.
- 高木一正、榎本昇：日本応用磁気学会誌, 28, pp. 893-897.
- G. M. Beale, R. McFee : *Am. Heart J.*, 55, pp. 95-96, 1963.
- D. Cohen, E. A. Edelsack, J. E. Zimmerman : *Appl. Phys. Letters*, 16, pp. 278-280, 1970.
- 小谷誠、内川義則、中屋豊、森博愛、栗原亘也：生体磁気計測、コロナ社、1995。
- 阪井、栗原真也、共編：臨床医科学—SQUID 計測と医学応用、オーム社、1997。
- 小林豊一郎、内川義則、山崎要太、山田謙斯：電気学会論文誌 E, 113-E, pp. 524-531, 1998.
- K. Shinada, T. Munaka, M. Ueda, Y. Fujiyama, S. Nagamachi, Y. Yamada : ISE'95, pp. 364-365, 1995.
- K. Kobayashi, Y. Uchikawa : *IEEE Trans. Magn.*, 37, pp. 2915-2917, 2001.
- B. S. Kim, Y. Uchikawa : *IEEE Trans. Magn.*, 42, pp. 3344-3346, 2003.
- B. S. Kim, Y. Uchikawa : *Trans. Magn. Soc. Japan*, 5, pp. 131-135, 2005.
- B. S. Kim, Y. Uchikawa : *IEEE Trans. Magnetics*, 42, pp. 3587-3589, 2006.

参考文献

- 電気学会通信教育会、超電導工学、電気学会、p. 3-44, 1988.
- 川路真吾、小林五一郎、内川義則、吉原正男、小谷誠、藤平誠一、尾崎久直：電気学会論文誌 C, 122, pp. 66-70, 2002.
- T. Takeda : in Biomag 2002, H. Nowak et al. (Eds.), Vde Verlag GmbH, Berlin Offenbach, pp. 922-924, 2002.
- M. Burgdorff, D. Drung, L. Trahms, H. Koch : *IEEE Trans. Appl. Supercond.*, 9, pp. 4059-4071, 1999.
- Y. Adachi, G. Uehara, J. Kawai, S. Kawabata, H. Okubo, H. Komori, H. Kudo : in Biomag 2002, H. Nowak et al. (Eds.), Vde Verlag GmbH, Berlin Offenbach, pp. 922-924, 2002.
- H. H. Hoeing et al. : *IEEE Trans. Magn.*, 27, pp. 2777-2785, 1991.
- M. Kotani, Y. Uchikawa, M. Kawakatsu, K. Tsukada, A. Kandori, H. Sasaki, H. Suzuki, S. Kondo, M. Matsuda, K. Shimada, and Y. Yamada : *Applied Superconductivity*, 5, pp. 399-403, 1998.

ある。すなわち、より薄くて、電子移動度の大きさを導膜材料の開発が期待されている。本節では、薄くより高い電子移動度を実現する InSb 系の格子整合技術の最近の進展を述べる¹⁾⁻⁴⁾。

5.8.1 次世代 InSb 系ホール素子材料とその特性

InSb 系の薄膜の古くからの大きな問題は、温度依存性が大きかったことと単結晶の薄膜を量産することである。これらの歴史的な課題については、MBE 法による GaAs 基板上へのエビダッシャル成長により単結晶薄膜の製作とドナー不純物のドーピングにより解決した。しかし、この過程で、大きな問題が浮上した。MBE 法で、GaAs 基板上に直接エビダッシャル成長した InSb 単結晶薄膜の厚さが 1.0 μm 以下では、厚さを薄くしていくと、膜厚の減少に伴い急激に電子移動度が低下する。このため、InSb の単結晶薄膜で実用的な高感度のホール素子や磁気抵抗素子を作成するには、0.7 μm 程度の厚さが実用的には下限であった。このような大きな電子移動度の低下は、InSb と GaAs 基板との間のおよそ 14% の格子ミスマッチが原因である。このよう大きな格子ミスマッチを解消するため、InSb の厚さが 1 μm 以下でも大きな電子移動度が得られる。InSb に格子定数の近い絶縁層を基板の GaAs と InSb の間にバッファ層として挿入することで、この格子ミスマッチを小さくすることができる。

Al_xIn_ySb 三元混晶薄膜は、InSb との格子ミスマッチが 0.5% である。また、絶縁性もある。InSb と GaAs との間の格子ミスマッチを少なくてできるバッファ層として使うことができる。

一方、InSb の膜厚が薄くなると、空気とのヘテロ界面にある表面の影響も無視できなくなる。また、実際に磁気センサをつくるうとすると膜厚が厚いときには無理な製作プロセス上の問題も生じる。例えば、磁気センサ部の InSb の薄膜を保護するバッファーションの目的で、ホール素子を製作するプロセスでは、アラスマ CVD やスパッタリングなどの方法で SiO₂ や Si₃N₄ などの絶縁層が InSb の表面上に形成される。このような工程は、常に動作層である InSb 薄膜の表面にダメージを与える。すなわち、動作層の InSb の膜厚が薄い場合は、プロセス中に動作層を保護するための保護層が必要である。このような保護層として、上述の Al_xIn_ySb 三元混晶を使うことができる。薄い動作層を使う場合は、Al_xIn_ySb 動作層/Al_xIn_ySb/GaAs (Substrate) のような、動作層を絶縁層の Al_xIn_ySb でサンドイッチする構造が必要となる。

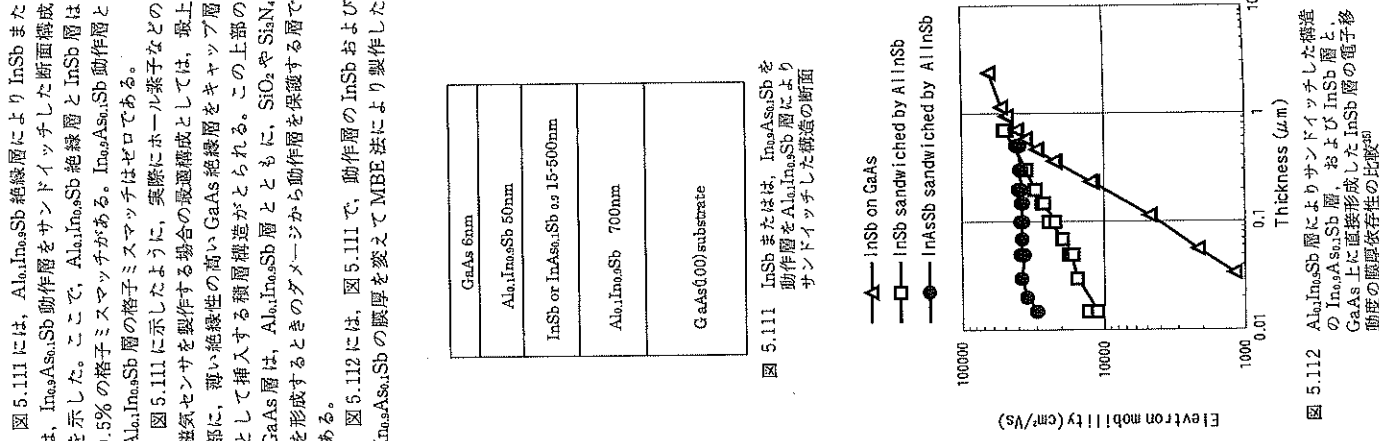


図 5.111 InSb 基板によく挿入された各種絶縁層の厚さと電子移動度および抵抗率の関係

図 5.111 には、Al_xIn_ySb 絶縁層により InSb または、In_xAs_{1-x}Sb 動作層をサンドイッチした断面構成を示した。動作層と上下の絶縁層を整合させることで高い電子移動度が得られることがわかる。図 5.112 では InSb の動作層の場合は、膜厚依存性がまだ残る。しかし、絶縁層と格子整合した動作層の層の In_xAs_{1-x}Sb 層では、格子整合した動作層まで、30,000 cm^2/Vs 以上の大きな電子移動度を得られている。駆写依存性もほとんどない。

図 5.113 には、Al_xIn_ySb 層によりサンドイッチした各種膜厚のアンドープ In_xAs_{1-x}Sb の電子移動度の温度依存性を示した。GaAs 基板上に直接成長した場合と同じく、室温付近の温度にピークのあるアンドープ InSb の特徴的な温度依存性を示している。ところで、図 5.111 に示した Al_xIn_ySb 層によりサンドイッチする断面構成の動作層の InSb や In_xAs_{1-x}Sb 層に Sn や Si 等のドナー不純物をドープすると電子移動度やシート抵抗率の温度依存性を低減できる。図 5.114 に示したのは、In_xAs_{1-x}Sb の動作層に、ドナー不純物として Sn をドープした場合の電子移動度の温度依存性である。Sn ドープにより室温付近のピーケーが消失し、温度依存性が少なくなっている。また、図 5.115 にはシート抵抗率のホール効果をホール素子に使うこと、高感度の磁界検出、高い信頼性、動作温度範囲も低温から 100°C を超える高温まで使うことのできる次世代高感度ホール素子の製作が可能である。ここでは、詳細は述べないが、図 5.111 の隣接構成は、動作層の厚さが薄い場合は、InSb または、In_xAs_{1-x}Sb の量子井戸となる。ホール素子を作成した場合は、量子井戸動作層のホール素子となる。

5.8.2 次世代 InSb 系ホール素子材料の可能性

InSb 単結晶薄膜のホール素子は、磁気センサ部が半導体の観測であり、入力抵抗やホール電圧の温度依存性が少ないので耐環境性能など実用上強く要請される信頼性も高く、既に、一部は地磁気検出などで実用化されている。また、この Si や Sn をドープした高感度の InSb 単結晶薄膜ホール素子は、抵抗値や磁界感度の温度依存性が小さく、使用温度範囲も広くこれらまでの InSb 薄膜では難しく、または、不可能であった自動車用途や、産業機械のセンサ等への応用やハイブリッドホール IC の高感度センサとしても期待できるホール素子である。

次世代ホール素子材料として取り上げた AlInSb の絶縁層によつて InSb、または、In_xAs_{1-x}Sb の動作層を上下からサンドイッチした構造量子井戸構造は、次世代ホール素子材料として高いボテンシャルがある。製作できるホール素子や量子井戸型ホール素子は、高感度、温度依存性と Sn ドープ効果

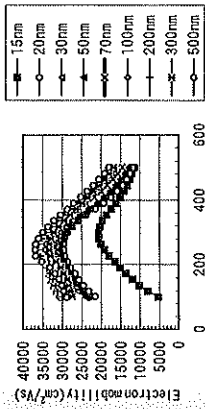


図 5.112 Al_xIn_ySb 層によりサンドイッチする構造の膜厚依存性の比較

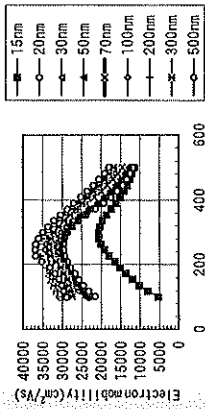


図 5.113 Al_xIn_ySb 層によりサンドイッチした各種膜厚の InSb 層の電子移動度の温度依存性

図 5.111 には、Al_xAs_{1-x}Sb 絶縁層によりサンドイッチした断面構成を示した。動作層と上下の絶縁層を整合させることで高い電子移動度が得られることがわかる。図 5.112 では InSb の動作層の場合は、膜厚依存性がまだ残る。しかし、絶縁層と格子整合した動作層の層の In_xAs_{1-x}Sb 層では、格子整合した動作層まで、30,000 cm^2/Vs 以上の大きな電子移動度を得られている。駆写依存性もほとんどない。

図 5.113 には、Al_xAs_{1-x}Sb 層によりサンドイッチした断面構成の動作層の InSb や In_xAs_{1-x}Sb 層においては、In_xAs_{1-x}Sb 層は、SiO₂ や Si₃N₄ などの絶縁層が InSb の表面に形成される。このような工程は、常に動作層である InSb 薄膜の表面にダメージを与える。すなわち、動作層の InSb の膜厚が薄い場合は、プロセス中に動作層を保護するための保護層が必要である。このような保護層として、上述の Al_xAs_{1-x}Sb 三元混晶を用いる。薄い動作層を使う場合は、Al_xAs_{1-x}Sb 動作層/Al_xAs_{1-x}Sb/GaAs (Substrate) のような、動作層を絶縁層の Al_xAs_{1-x}Sb でサンドイッチする構造が必要となる。

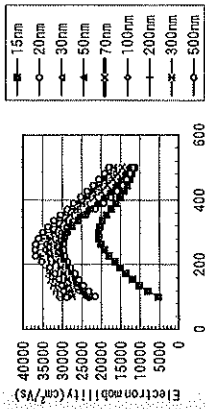


図 5.114 Al_xIn_ySb 層によりサンドイッチした構造の膜厚依存性の比較

次世代の高感度磁気センサとして広い応用の可能性があり、実用化が期待される。

参考文献

- 1) H. Gaka, A. Okamoto, Satoshi Yamada, Hiromasa Goto, Kazuo Yoshida, and Ichiro Shibasaki, *J. of Crystal Growth*, 301-302, 2007.
- 2) Ichiro Shibasaki, Hirotaka Geka, Satoshi Yamada, Atsusi Okamoto and Hiromasa Goto, 6th International conference on Sensors, IEEE, Sensors p. 467, 2007.

- Top Gap Semiconductors, Springer Proceedings in Physics 199, p. 89-92, 2007.
 3) 外賀寛哉, 柴崎一郎: 電気学会E部門総合研究会資料, PHS-07-18, 2007.
 4) Ichiro Shibasaki, Hirotaka Geka, Satoshi Yamada, Atsusi Okamoto and Hiromasa Goto, 6th International conference on Sensors, IEEE, Sensors p. 467, 2007.

温度・湿度センサ

6.1 はじめに¹⁾

温度計測は近代社会の発展とともに益々その重要性を増している。防災、医療、公害、農業、コールドチェーン流通網、宇宙・海洋開発、交通機関、民生電子機器応用など、その応用分野は広がるいっぽうである。特に、近年のマイクロコンピュータの著しい進歩は、高性能で安い温度センサのニーズを拡大している。

温度センサには、温度を測ろうとする物体、環境に温度センサを直接接触させて測温する接触型温度センサと温度を測ろうとする物体、環境に温度センサを直接接触せず、離れた位置から被測定物体から放射される輻射を利用して測温する非接触型温度センサがある。図6.1に温度センサの種類と分類を示す。この図に示されていない温度センサが多い。

本章では、まず温度センサについて述べる。温度センサには、

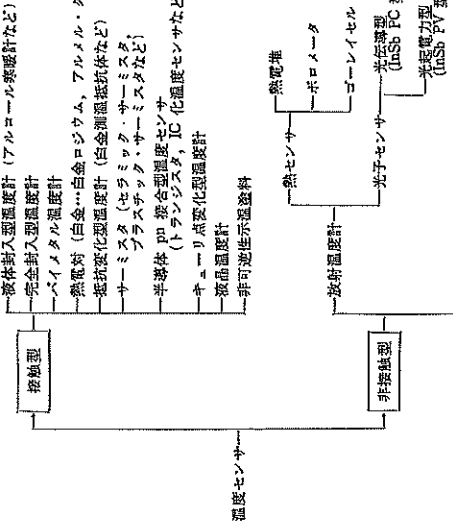


図 6.1 温度センサの種類と分類